

Quantenmechanik I

M. Vojta , Universität Karlsruhe

Vorlesung SS 2004

Literatur

- R. Shankar, Principles of Quantum Mechanics, Plenum 1994
- L.D. Landau & E.M. Lifschitz, Lehrbuch der Theoretischen Physik III, Quantenmechanik, Akademie-Verlag 1975
- A. Messiah, Quantum Mechanics I & II, Dover 2000
- C. Cohen-Tannoudji, Quantum Mechanics I & II, Wiley 1977
- F. Schwabl, Quantenmechanik, Springer 1993
- G. Baym, Lectures on Quantum Mechanics, Addison-Wesley 1990
- J.J. Sakurai, Modern Quantum Mechanics, Addison-Wesley 1985

Einleitung

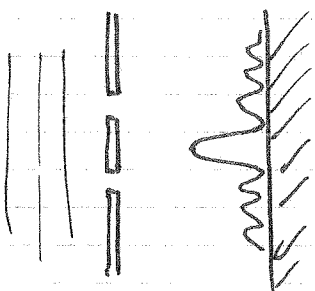
Newton, Euler, Lagrange, Hamilton, Jacobi, ...

In der klassischen Physik (vor ca. 1900) existieren Wellen (z.B. Schall) und Teilchen (in einfachsten Fällen punktförmig) als getrennte und verschiedene Phänomene.

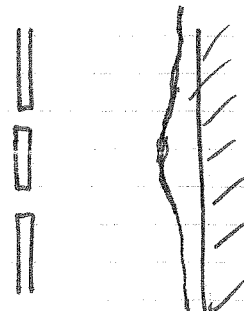
Experimente auf kleinen (atomaren) Skalen haben jedoch Hinweise auf Mängel / Probleme der klassischen Physik geliefert. Als Resultat wurde 1900 - 1930 die Quantenmechanik entwickelt, die einen radikalen Umbruch im physikalischen (und philosophischen) Denken darstellt. Beispiele hierfür in der klassischen Physik jede Observable einer (im Prinzip unendlich scharfen) Welt; in der QM dagegen werden ausschließlich Wahrscheinlichkeiten für Ergebnisse berechnet.

Wichtige Experimente waren:

a) Doppelspalt



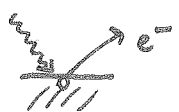
(klass.) Wellen



klass. Teilchen

Licht und Elektronen liefern Interferenz!

b) Photoelektrischer Effekt



Für El. Emission eine minimale Licht frequenz?

ist nötig, unabhängig von der Intensität.

Erklärung → Photonen (Einstein 1905)

Weiter: Stabilität der Atome, Spektroskopie, ...

Inhalt

1. Wellen und Teilchen
- 1.v. 2. Schrödinger-Gleichung
- 2.v. 3. Prinzipien der Quantenmechanik
- 4.v. 4. Eindimensionale Probleme
(2-Niveau-System?)
5. Korrespondenzprinzip und quasiklassische Näherung
6. Zentralkraftproblem und Drehimpuls
7. Wasserstoffatom
8. Formalismus: Quantentheorie im Hilbert-Raum
9. Symmetrien in der Quantenmechanik
10. Spin und Addition von Drehimpulsen
11. Zeitunabhängige Störungstheorie
Berry-Phase
- (12. Zeitabhängige Störungstheorie)
13. Potentialstreuung
14. Identische Teilchen
15. Molekülfeld-Näherung und Atomsäure

1. Wellen und Teilchen

In der klassischen Physik existieren zwei unterschiedliche Phänomene:
Wellen (z.B. Schall) und Teilchen (z.B. Holzklingen).

1.1. Klassisches Wellenfeld

räumlich ausgedehnt, charakterisiert durch

Wellenfunktion $\Psi(\vec{r}, t)$ (Schall: $\Psi = \text{Schwingungsamplitude}$)

$$\text{Wellengleichung } \frac{1}{c^2} \frac{\partial^2 \Psi}{\partial t^2} - \vec{\nabla}^2 \Psi = 0$$

$$\text{Ebene Welle } \Psi(\vec{r}, t) = A e^{i(\vec{k} \cdot \vec{r} - \omega_k t)}$$

$$\text{Phasengeschwindigkeit } v_p := \frac{\omega_k}{k}$$

$$\text{Gruppengeschwindigkeit } v_g := \frac{\partial \omega_k}{\partial k}$$

$$\text{Wellenpaket } \Psi(x, t) = \int_{-\infty}^{\infty} \frac{dk}{2\pi} A(k) e^{i(kx - \omega_k t)} \quad (1-dim.)$$

$$\text{Impuls } |\vec{p}| \rightarrow \text{Wellenlänge } \lambda = \frac{2\pi}{|\vec{p}|}$$

1.2. Klassisches Teilchen

punkt f鰍rig, charakterisiert durch Ort \vec{r} und Geschwindigkeit $\vec{v} = \dot{\vec{r}}$
 (bzw. Impuls $\vec{p} = m\vec{v}$),
 Trajektorie $\vec{r}(t)$ folgt aus Bewegungsgleichung (+ Anfangsbedingung)
 freie Energie E , au遝res Potential $U(\vec{r})$:

$$v = \sqrt{\frac{2}{m}(E - U(\vec{r}))} \quad \text{aus } E = \frac{m}{2}v^2 + U$$

Q Externalprinzip (Wirkung \rightarrow min.) liefert Bewegungsgleichung

$$m\ddot{\vec{r}} = -\vec{\nabla}U$$

1.3. Interpolation zwischen Bahn (Teilchen) und Stahl (Welle) [FERMI]

Ziel: Zuordnung $E \leftrightarrow \omega$, d.h. $E(\omega) \rightarrow$ de-Broglie-Relation

Ausah: $\sqrt{E(\omega) - U(\vec{r})} = \frac{f(\omega)}{\lambda(\omega, \vec{r})} \quad \left(\begin{array}{l} f(\omega) \text{ unbekannt;} \\ \lambda = 2\pi/k \end{array} \right)$

Geschwindigkeit: $v(\vec{r}) = v_{gr}(\vec{r}) = \frac{\partial \omega}{\partial k}$ identit鋞

$$\sim \sqrt{\frac{2}{m}(E-U)} = \frac{\partial \omega}{\partial k} = \left(\frac{2}{\partial \omega} \frac{\partial k}{\lambda} \right)^{-1}$$

$$\sim \frac{1}{\sqrt{\frac{2}{m}(E-U)}} = \frac{1}{\partial \omega} \frac{1}{2\pi} \frac{\sqrt{E-U}}{f(\omega)} = -2\pi \sqrt{E-U} \frac{f'}{f^2} + \frac{2\pi}{2f} \frac{E'}{\sqrt{E-U}}$$

muss gelten f黵 alle \vec{r} , f黵 alle $U(\vec{r})$.

$$\sim f' = 0, \quad \sqrt{\frac{m}{2}} = \frac{\pi}{f} E', \quad E' = \text{const} \equiv \hbar \quad (!)$$

$$p = \sqrt{m(E-U)} = \sqrt{2\pi} \hbar / \lambda = 2\pi \hbar / \lambda$$

Also: $E = \hbar\omega; \quad p = \hbar k$ de-Broglie

2. Schrödinger - Gleichung

Remark ...

2.1. Allgemeines Wellenfeld und Schrödinger - Gleichung

Monochromatische ebene Welle:

$$\begin{aligned} \psi_{\text{E},\vec{p}}(\vec{r},t) &= \tilde{\psi}(e,\vec{p}) e^{i\vec{k}\cdot\vec{r} - i\omega t} \\ &= \tilde{\psi}(e,\vec{p}) e^{i\frac{\epsilon}{\hbar t} (\vec{p}\cdot\vec{r} - Et)} = \psi_{E,\vec{p}}(\vec{r},t) \end{aligned}$$

Offenbar:

$$\left. \begin{aligned} E\psi(\vec{r},t) &= -\frac{\hbar^2}{2m} \frac{\partial^2}{\partial r^2} \psi(\vec{r},t) \\ \vec{p}\cdot\psi(\vec{r},t) &= +\frac{\hbar}{i} \left(\frac{\partial}{\partial \vec{r}} \cdot \psi(\vec{r},t) \right) \end{aligned} \right\} (*)$$

$$E\psi = \left(\frac{\vec{p}^2}{2m} + U(r) \right) \psi$$

Allgemeines Wellenfeld: Superposition

$$\begin{aligned} \psi(\vec{r},t) &= \frac{1}{(2\pi\hbar)^3} \int dE \int d^3p \psi_{E,\vec{p}}(\vec{r},t) \\ &= \frac{1}{(2\pi\hbar)^3} \int dE \int d^3p \tilde{\psi}(e,\vec{p}) e^{i\frac{\epsilon}{\hbar t} (\vec{p}\cdot\vec{r} - Et)} \end{aligned}$$

Fehlt (*) berücksichtigen:

$$\boxed{-\frac{\hbar^2}{2m} \frac{\partial^2}{\partial r^2} \psi(\vec{r},t) = \left(-\frac{\hbar^2}{2m} \frac{\partial^2}{\partial \vec{r}^2} + U(r) \right) \psi(\vec{r},t)}$$

Zeitabhängige Schrödingergleichung (SGL)

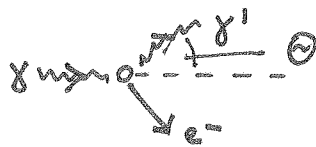
Energie $E = H(\vec{p},\vec{r})$ ist klassische Hamilton - Funktion.

Ausgedrückt in $\vec{p} = \frac{\hbar}{i} \frac{\partial}{\partial \vec{r}}$, t erhält man den Hamilton - Operator.

$$-\frac{\hbar^2}{2m} \frac{\partial^2}{\partial \vec{r}^2} \psi = \hat{H} \psi \quad (\text{SGL})$$

1.4. Compton - Streuung

Streuung eines Photons an einem (ruhenden) Elektron



$$\text{Relativistischer Vierimpuls} \quad p^{\mu} = \left(\frac{E/c}{\tilde{p}} \right) = t \left(\frac{w/c}{\tilde{k}} \right)$$

$$\text{Impulsbilanz:} \quad t \left(\frac{k}{\tilde{k}} \right) + \left(\frac{m_e c}{0} \right) = t \left(\frac{k'}{\tilde{k}'} \right) + \left(\frac{\sqrt{p^2 + m_e^2 c^2}}{p} \right)$$

$$\text{Skalarprodukt:} \quad p^{\mu} p_{\mu} = p'^{\mu} p'_{\mu} = (E/c)^2 - \vec{p}^2 = m^2 c^2 \quad (\text{Elektron})$$

$$k^{\mu} k_{\mu} = k'^{\mu} k'_{\mu} = 0 \quad (\text{Photon})$$

$$\text{Ober Gleichung:} \quad t (k^{\mu} - k'^{\mu}) + p^{\mu} = p'^{\mu} \quad | \times^{\mu} x_{\mu}$$

$$-2t^2 k^{\mu} k'_{\mu} + 2t (k - k') m c + m^2 c^2 = m^2 c^2$$

$$-2t^2 (k k' - \tilde{k} \cdot \tilde{k}') + 2t (k - k') m c = 0$$

$$k - k' = \frac{t}{m c} k k' (1 - \cos \Theta)$$

$$\frac{1}{k'} - \frac{1}{k} = \frac{t}{m c} 2 \sin^2 \frac{\Theta}{2}$$

$$\lambda = \frac{2\pi}{k} : \quad \lambda' - \lambda = 4\pi \frac{t}{m c} \sin^2 \frac{\Theta}{2}$$

$$\text{Compton - Wellenlänge:} \quad \lambda_c = \frac{t}{m c} \quad (= 3.86 \cdot 10^{-13} \text{ m})$$

$$(t = 1.0546 \cdot 10^{-34} \text{ Js})$$

Für monochromatisches Wellenfeld

$$\begin{aligned}\psi_E(\vec{r}, t) &= e^{-i/Et} \left(\frac{1}{2\pi\epsilon_0}\right)^4 \int d^3 p \tilde{\psi}_E(\vec{p}) e^{i/\hbar \vec{p} \cdot \vec{r}} \\ &= e^{-i/Et} \psi_E(\vec{r})\end{aligned}$$

faktorielle Zeit- und Ortsabhängigkeit. Einsehen in SGL:

$$E \psi_E(\vec{r}) = \left(-\frac{\hbar^2}{2m} \frac{\partial^2}{\partial r^2} + U(\vec{r})\right) \psi_E(\vec{r})$$

Stationäre Schrödinger Gleichung

$$E \psi_E = H \psi_E$$

2.2. Kontinuitätsgleichung

Aus SGL folgt mit *:

$$+ \frac{i}{\hbar} \frac{\partial}{\partial t} \psi^* = \left(-\frac{\hbar^2}{2m} \frac{\partial^2}{\partial r^2} + U(\vec{r})\right) \psi^*$$

Betrachte

$$\begin{aligned}\frac{\partial}{\partial t} (\psi^* \psi) &= \psi^* \frac{\partial}{\partial t} \psi + \psi \frac{\partial}{\partial t} \psi^* \\ &= \psi^* \frac{i\hbar}{2m} \frac{\partial^2}{\partial r^2} \psi - \psi \frac{i\hbar}{2m} \frac{\partial^2}{\partial r^2} \psi^*\end{aligned}$$

$$\sim \frac{\partial}{\partial t} (\psi^* \psi) + \frac{\partial}{\partial r} \left[\frac{i\hbar}{2m} \left(\psi^* \frac{\partial \psi}{\partial r} - \psi \frac{\partial \psi^*}{\partial r} \right) \right] = 0$$

Definiere

$$\rho(\vec{r}, t) = \psi^* \psi \quad (\text{Wahrscheinlichkeitsdichte})$$

$$\jmath(\vec{r}, t) = \frac{i\hbar}{2m} \left(\psi^* \frac{\partial \psi}{\partial r} - \psi \frac{\partial \psi^*}{\partial r} \right) \quad (\text{W. Stromdichte})$$

$$\frac{\partial \rho}{\partial t} + \operatorname{div} \vec{j} = 0$$

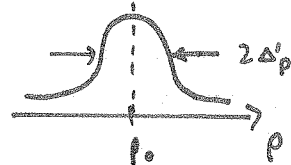
Kontinuitätsgleichung

Neue Amplitude $\tilde{\psi}(\vec{p}', t) = \tilde{\psi}(\vec{p}) e^{-i\vec{p}'^2 t / 2\hbar m}$

Spezialfall freie Elektronen $V(t) = 0$.

$$H = \frac{p^2}{2m}, \quad v_{ph} = \frac{p_0}{2m}, \quad v_{gr} = \frac{p_0}{m}$$

Ausah: $\tilde{\psi}(\vec{p}') = e^{-\frac{1}{2} \left(\frac{\vec{p}'}{\Delta p} \right)^2}$ (Gaußsches Wellenpaket)

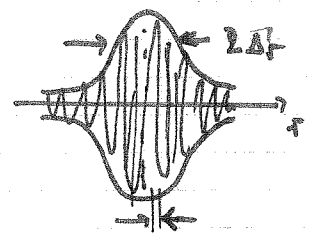


$t=0$: $\psi(\vec{r}, t=0) = e^{i/\hbar \vec{p}_0 \cdot \vec{r}} \frac{1}{(2\pi\hbar)^3} \int d^3 p' e^{i/\hbar \vec{p}' \cdot \vec{r}} e^{-\frac{1}{2} \left(\frac{\vec{p}'}{\Delta p} \right)^2}$

$$= e^{i/\hbar \vec{p}_0 \cdot \vec{r}} \frac{1}{(2\pi\hbar)^3} \underbrace{\int d^3 p' e^{-\frac{1}{2} \left(\frac{\vec{p}'}{\Delta p} - \frac{i\vec{p}_0 \cdot \vec{r}}{\hbar} \right)^2}} e^{-\frac{1}{2} \frac{\Delta p^2 \vec{r}^2}{\hbar^2}}$$

\vec{r} -unabh. const
(\vec{p}' - Verschiebung)

$$\psi(\vec{r}, t=0) \propto e^{i/\hbar \vec{p}_0 \cdot \vec{r}} e^{-\frac{1}{2} \left(\frac{\vec{p}'}{\Delta p} \right)^2}, \quad \Delta r = \frac{\hbar}{\Delta p}$$



$$\lambda_0 = \frac{2\pi\hbar}{|\vec{p}_0|}$$

$t \neq 0$

$$\begin{aligned} \tilde{\psi}(\vec{p}', t) &= e^{-\frac{1}{2} \left(\frac{\vec{p}'}{\Delta p} \right)^2 - \frac{i\vec{p}'^2 t}{2\hbar m}} \\ &= e^{-\frac{1}{2} \vec{p}'^2 \left(\frac{1}{\Delta p^2} + \frac{it}{\hbar m} \right)} \end{aligned}$$

$$\left| \frac{1}{\Delta p^2} + \frac{it}{\hbar m} \right| = \sqrt{\frac{1}{\Delta p^4} + \frac{t^2}{\hbar^2 m^2}} \stackrel{t \ll 1}{\approx} \frac{1}{\Delta p^2} \left(1 + \frac{1}{2} \frac{t^2 \Delta p^4}{\hbar^2 m^2} \right) = \frac{1}{(\Delta p(t))^2}$$

$$\Delta \tilde{\psi}(t) = \frac{t}{\Delta \tilde{\psi}(0)} = \Delta r \sqrt{1 + \frac{1}{2} \frac{t^2 \Delta p^4}{\hbar^2 m^2}} \quad \begin{array}{l} \text{Wellenpaket } D \\ \text{zerfließt.} \end{array}$$

t quadratisch \approx min Unschärfe bei $t=0$ [zerfließt und bei $t < 0$] (dabei $N = \langle \hat{a}^\dagger \hat{a} \rangle = \text{const}$ erhalten)

$\Delta' t \Delta' p \gtrsim \hbar$ Heisenbergsche Unschärferelation

Integrieren über Volumen:

$$\frac{d}{dt} \underbrace{\int d^3r \rho(\vec{r}, t)}_{N(t)} + \int d^3r \frac{\partial \tilde{j}(\vec{r}, t)}{\partial \vec{r}} = 0$$

Gauß:

$$\frac{d}{dt} N(t) + \iint_V d^2\vec{r} \tilde{j}(\vec{r}, t) = 0$$

$\hat{=}$ Teilchenzahl erhalten (denn N ist Teilchenzahl im Volumen V)

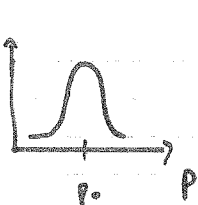
2.3. Wellenpaket

$$\psi(\vec{r}, t) = \tilde{\psi}(\vec{p}) e^{i/\hbar (\vec{p} \cdot \vec{r} - H(\vec{p}, t)t)} \quad , \text{ Superpos.}$$

$$\psi(\vec{r}, t) = \frac{1}{(2\pi\hbar)^3} \int d^3p' \tilde{\psi}(\vec{p}') e^{i/\hbar (\vec{p}' \cdot \vec{r} - H(\vec{p}', t)t)}$$

Bei hierher allgemein. Feht Wellenpaket $\hat{=}$ Welle führt mit \vec{p}'

Verteilung von Impulsen um \vec{p}_0 . ($\vec{p} = \vec{p}_0 + \vec{p}'$)



Exponent:

$$\begin{aligned} \vec{p} \cdot \vec{r} - H(\vec{p}, t) &= \vec{p}_0 \cdot \vec{r} - H(\vec{p}_0, t) + \vec{p}' \cdot (\vec{r} - \frac{\partial H}{\partial \vec{p}}|_{\vec{p}_0} t) \\ &= \frac{1}{2} (\vec{p}' \frac{\partial}{\partial \vec{p}})^2 H|_{\vec{p}_0} t \end{aligned}$$

$$\frac{H(\vec{p}_0)}{|\vec{p}_0|} = \frac{\omega}{k_0} = v_{ph}$$

$$\left| \frac{\partial H}{\partial \vec{p}_0} \right| = \frac{\partial \omega}{\partial k_0} = v_{gr} \quad , \quad \text{sonst } \frac{\partial}{\partial \vec{p}_0} \frac{\partial}{\partial \vec{p}} H = \frac{1}{m}$$

$$\psi(\vec{r}, t) = e^{i/\hbar \vec{p}_0 \cdot (\vec{r} - v_{ph} t)} \frac{1}{(2\pi\hbar)^3} \int d^3p' \tilde{\psi}(\vec{p}') e^{i/\hbar \vec{p}' \cdot (\vec{r} - v_{gr} t)}$$

Modulation mit
Wellenlänge $\lambda_0 = \frac{2\pi\hbar}{|\vec{p}_0|}$

Krümmung des
W.pakets mit v_{gr}

Deformation

2.4. Wahrscheinlichkeitsinterpretation und Quantisierung

Idee: Teilchen (z.B. Elektron) ist (bei hinreichender Vergrößerung) Welle

$$|\psi(\vec{r}, t)| =: \rho(\vec{r}, t) \quad \begin{array}{l} \text{Wahrscheinlichkeitsdichte für Auftreffrate} \\ \text{bei } \vec{r} \text{ zur Zeit } t \end{array}$$

$$\frac{t}{2\pi\hbar} \left(\psi^* \frac{\partial \psi}{\partial t} - \psi \frac{\partial \psi^*}{\partial t} \right) =: \hat{j}(\vec{r}, t) \quad \text{Wahrscheinlichkeitsstromdichte}$$

$$\int d^3r |\psi(\vec{r}, t)|^2 = 1 \quad \begin{array}{l} \text{Normierung für alle } t \\ (\text{aus Sch. folgt Erhaltung}) \end{array}$$

Unterschied zu klassischer Welle!

Daraus folgt Quantisierung (siehe später, es sind nicht alle Amplituden erlaubt)

3. Prinzipien der Quantenmechanik

3.1. Meßwerte als Erwartungswerte

Zustand beschrieben durch Wahrscheinlichkeitsdichte $\psi(\vec{r}, t)$.

$$\text{Fourierentwicklung } \psi(\vec{r}, t) = \frac{1}{(2\pi\hbar)^3} \int d^3 p \tilde{\psi}(p, t) e^{i/\hbar \vec{p} \cdot \vec{r}}$$

Mittlerer Ort des Teilchens (d.h. Erwartungswert einer Messung des Teilchenorts)

$$\langle \vec{r} \rangle(t) = \int d^3 r \vec{r} \psi(\vec{r}, t) = \int d^3 r \psi^* \vec{r} \psi$$

Mittlerer Impuls (d.h. Erwartungswert einer Impulsmessung)

$$\langle \vec{p} \rangle(t) = \int d^3 p \vec{p} \frac{|\tilde{\psi}(p, t)|^2}{(2\pi\hbar)^3} = \frac{1}{(2\pi\hbar)^3} \int d^3 p \tilde{\psi}^*(p) \vec{p} \tilde{\psi}(p)$$

(Impuls wahrscheinlichkeitsdichte, denn

$$\begin{aligned} \int d^3 r \psi^*(r) \psi(r) &= \int d^3 r \frac{1}{(2\pi\hbar)^6} \int d^3 p d^3 p' \tilde{\psi}^*(p') e^{-i/\hbar \vec{p}' \cdot \vec{r}} \tilde{\psi}(p) e^{i/\hbar \vec{p} \cdot \vec{r}} \\ &= \frac{1}{(2\pi\hbar)^3} \int d^3 p d^3 p' \tilde{\psi}^*(p') \tilde{\psi}(p) \underbrace{\frac{1}{(2\pi\hbar)^3} \int d^3 r e^{i/\hbar (\vec{p}-\vec{p}') \cdot \vec{r}}}_{\delta(\vec{p}-\vec{p}')} \\ &= \int d^3 p \frac{|\tilde{\psi}(p)|^2}{(2\pi\hbar)^3} \stackrel{!}{=} 1 \end{aligned}$$

$\tilde{\psi}(p)$ rücktransformieren:

$$\langle \vec{p} \rangle(t) = \frac{1}{(2\pi\hbar)^3} \int d^3 p \int d^3 r' \psi^*(r') e^{i/\hbar \vec{p} \cdot \vec{r}'} \stackrel{!}{=} \int d^3 r \psi(r) e^{-i/\hbar \vec{p} \cdot \vec{r}}$$

$\stackrel{-i/\hbar \vec{p} \cdot \vec{r}}{\longrightarrow}$ nur dort angewendet!

partiell integrieren!

$$= \frac{1}{(2\pi\hbar)^3} \int d^3 p \int d^3 r' \psi^*(r') e^{i/\hbar \vec{p} \cdot \vec{r}'} \int d^3 r e^{-i/\hbar \vec{p} \cdot \vec{r}} \stackrel{i/\hbar \vec{p} \cdot \vec{r}}{\int} \psi(r)$$

Oberfläche kann 0,
da $\int d^3 r \psi < \infty$

$$\langle \rho \rangle_+ = \int d^3r' \psi^*(r') \int d^3r \delta(r-r') \frac{t}{i} \frac{\partial}{\partial r} \psi(r)$$

$$\langle \vec{p} \rangle_+ = \int d^3r \psi^*(r,t) \frac{t}{i} \frac{\partial}{\partial r} \psi(r,t)$$

Betrachte Repgröße $A(\vec{r}, \vec{p})$:

$$\boxed{\langle A \rangle (+) = \int d^3r \psi^*(r,t) A(r, \frac{t}{i} \frac{\partial}{\partial r}) \psi(r,t)}$$

\hat{A} = Operator der Repgröße A

z.B. Energie $\langle E \rangle (+) = \int d^3r \psi^* \hat{H} \psi$

Quarkfluktuationen einer Repgröße A :

$$\boxed{\Delta A = \langle (A - \langle A \rangle)^2 \rangle^{1/2} = (\langle A^2 \rangle - \langle A \rangle^2)^{1/2}}$$

Zeitabhängigkeit eines Erwartungswerts

$$\frac{d}{dt} \langle A \rangle (+) = \int d^3r \left(\frac{\partial \psi^*}{\partial t} \hat{A} \psi + \psi^* \hat{A} \frac{\partial \psi}{\partial t} \right)$$

A nicht expandierbar!

$$-\frac{t}{i} \frac{\partial \psi}{\partial t} = \hat{H} \psi \Rightarrow \int d^3r \frac{i}{t} [(\hat{H} \psi) \hat{A} \psi - \psi^* \hat{A} (\hat{H} \psi)]$$

2x part. Integration

$$\Rightarrow \frac{i}{t} \int d^3r \psi^* (\hat{H} \hat{A} - \hat{A} \hat{H}) \psi$$

$$\boxed{\frac{d}{dt} \langle A \rangle (+) = \frac{i}{t} \langle [\hat{H}, \hat{A}] \rangle, \quad [\hat{H}, \hat{A}] = \hat{H}\hat{A} - \hat{A}\hat{H}}$$

Kommutator

Operatoren von Erhaltungsgrößen verändern mit Hamilton-Op!

Falls \hat{A} expandiert zeitlich, dann $\frac{d}{dt} \langle A \rangle = \frac{i}{t} \langle [\hat{H}, \hat{A}] \rangle + \langle \frac{\partial A}{\partial t} \rangle$.

3.2. Unscharferelation

Eindimensionales Wellenpaket ; Ziel: berechnen der Quantenfluktuationen von Ort und Impuls, zu Zeit $t=0$ (minimale Unscharfe).

$$\text{Kap. 2.3: } \Psi(x) \propto e^{\frac{i}{\hbar t} p_0 x} e^{-\frac{1}{2} \left(\frac{x}{\delta x} \right)^2}$$

$$\Psi(p') \propto e^{-\frac{1}{2} \left(\frac{p'}{\delta p} \right)^2} \quad (\rho = p_0 + p')$$

$$\text{Erwartung} \quad \Delta x = \langle (x - \langle x \rangle)^2 \rangle \propto \delta x$$

$$\Delta p = \langle (p - \langle p \rangle)^2 \rangle \propto \delta p$$

Einsatz: Gaußsche Integrale

$$\left(\int_{-\infty}^{\infty} dp e^{-p^2/q^2} \right)^n = \int_{-\infty}^{\infty} d^n p e^{-\vec{p}^2/q^2} = \underbrace{d^n \int_0^{\infty} dp p^{n-1} e^{-p^2/q^2}}_{\substack{\text{Oberfl. n-dim.} \\ \text{Einheitskugel}}} = d_n I_{n-1}(q)$$

$$\left(2 I_0(q) \right)^n = d_n I_{n-1}(q)$$

$$-\frac{d}{dq} I_n(q) = I_{n+2}(q) \quad (\text{Rekurrenz})$$

$$I_0(q) = \int_0^{\infty} dp p e^{-p^2/q^2} = \frac{q^2}{2} \int_0^{\infty} dp \frac{2p}{q^2} e^{-p^2/q^2} = \frac{q^2}{2} \int_0^{\infty} du e^{-u} = \frac{q^2}{2}$$

$$(2 I_0)^2 = 2\pi I_0(q) = \pi q^2$$

$$\sim I_0(q) = \sqrt{\pi} q^2/2$$

$$I_1(q) = q^2/2$$

$$I_2(q) = \sqrt{\pi} q^3/4 \quad \left(= -\frac{d}{dq} I_1 \right)$$

$$I_3(q) = q^4/2 \quad \left(= -\frac{d}{dq} I_2 \right)$$

$$\text{Weiter: } (\Delta p)^2 = \langle p'^2 \rangle = \int_{-\infty}^{\infty} dp' \Psi^*(p') p'^2 \Psi(p') \cancel{\int_{-\infty}^{\infty} dp' \Psi^*(p') \Psi(p')}$$

$$= 2 I_2(\delta p) / 2 I_0(\delta p) = (\Delta p)^2/2$$

$$\langle x \rangle = 0$$

Analog: $(\Delta x)^2 = \langle (x - \langle x \rangle)^2 \rangle \stackrel{!}{=} \langle x^2 \rangle = 2 I_1 (\delta x) / 2 I_0 (\delta x)$

$$= (\delta x)^2 / 2$$

\sim

$\Delta x \quad \Delta p \geq \frac{\hbar}{2}$
--

gilt für alle Paar
kanonisch konjugierte Variable (s. später)

3.3. Operatoren für Observable

Operator \hat{A} ; hermitisch konjugierter Operator \hat{A}^*

Q $\int d^3r \psi^*(r) \hat{A} \psi(r) =: \int d^3r (\hat{A}^* \psi)^* \psi(r) \quad (\text{Def von } \hat{A}^*)$

$$\langle \hat{A} \rangle = \int d^3r \psi^* \hat{A} \psi = \int d^3r (\hat{A}^* \psi)^* \psi = [\int d^3r \psi^* \hat{A}^* \psi]^*$$

Physikalische Größe soll reellen Erwartungswert besitzen:

$$\langle A \rangle \stackrel{!}{=} \langle A \rangle^* = [\int d^3r \psi^* \hat{A} \psi]^* = \int d^3r (\hat{A} \psi)^* \psi$$

$\sim \hat{A} \stackrel{!}{=} \hat{A}^*$ hermitischer Operator

Physikalische Observable werden durch hermitische Operatoren dargestellt.

Impulsoperator:

$$\int d^3r \psi^* \left(\frac{\hbar}{i} \frac{\partial}{\partial r} \right) \psi \stackrel{P.E.}{=} - \int d^3r \left(\frac{\hbar}{i} \frac{\partial}{\partial r} \psi^* \right) \psi = \int d^3r \left(\frac{\hbar}{i} \frac{\partial}{\partial r} \psi \right)^* \psi$$

$$\sim \left(\frac{\hbar}{i} \frac{\partial}{\partial r} \right)^* = \frac{\hbar}{i} \frac{\partial}{\partial r} \quad (\text{o.k.})$$

$$\text{Kommutator: } [\hat{A}, \hat{B}] = \hat{A}\hat{B} - \hat{B}\hat{A}$$

Bsp:

$$[\hat{x}_i, \hat{x}_j] \psi(r) = (x_i x_j - x_j x_i) \psi(r) = 0 \quad \hat{x} = x$$

$$[\hat{p}_i, \hat{p}_j] \psi(r) = \left(\frac{\hbar}{i}\right)^2 \left(\frac{\partial^2}{\partial x_i \partial x_j} - \frac{\partial^2}{\partial x_j \partial x_i}\right) \psi(r) = 0$$

$$[\hat{x}_i, \hat{p}_j] \psi(r) = \frac{\hbar}{i} \left(x_i \frac{\partial}{\partial x_j} - \frac{\partial}{\partial x_j} x_i \right) \psi(r)$$

$$= \begin{cases} 0 & [i=j] \\ \frac{\hbar}{i} \left(x_i \frac{\partial}{\partial x_i} - x_i \frac{\partial}{\partial x_i} - \frac{\hbar}{i} \right) \psi(r) & [i \neq j] \end{cases}$$

$\therefore [\hat{x}_i, \hat{x}_j] = 0 ; \quad [\hat{p}_i, \hat{p}_j] = 0 ; \quad [\hat{x}_i, \hat{p}_j] = i\hbar \delta_{ij}$

Kanonische Vertauschungsrelationen (gelten für jeden Satz kanonisch konjugierter Variable)

$$[\hat{A}, \hat{B}] \neq 0 \quad \leadsto \quad \Delta A \cdot \Delta B > 0 \quad (\text{Beweis später})$$

Gleichzeitige (scharfe) Bestimmung nicht verhältnissässiger Größen (z.B. Ort & Impuls) ist nicht möglich.

34. Stationäre Zustände (Eigenzustände des Hamilton-Op mit definiertem Energien)

Falls Hamilton-Op zeitunabhängig ist, dann existieren Lösungen der

SGL mit

$$\psi_E(r, t) = e^{-i/\hbar E t} \phi_E(r)$$

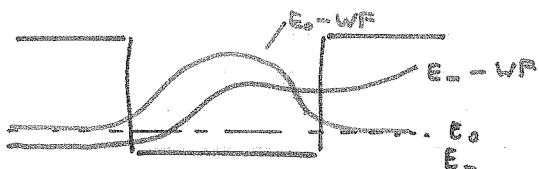
$$H \phi_E = \left(-\frac{\hbar^2}{2m} \frac{\partial^2}{\partial r^2} + U(r)\right) \phi_E(r) = E \phi_E$$

Stationäre
SGL

Speziell 1d:

$$-\frac{\hbar^2}{2m} \underbrace{\frac{d^2\psi_E(x)}{dx^2}}_{\sim \text{ Krümmung von } \psi_E(x)} = (E - U(x)) \psi_E(x), \quad \int dx |\psi_E|^2 = 1$$

Potentialtopf:



$E < E_0$: knotfrei, nicht normierbar

$E = E_0$: knotfrei, normierbar
→ Grundzustand

$E_0 < E < E_-$: 1 Knot, nicht normierbar

⋮

Folgen der Normierungs- (\Leftrightarrow Quantisierungs-) Bedingung:

- 1) Es existiert eine untere Grenze für E_0 oberhalb des Potentialmimums. Wichtig z.B. für Stabilität von Atomen (klassisch: beliebig große Energie genügt bei Annäherung $e^- \rightarrow \text{Kern}$)
- 2) Nur diskrete Energieniveaus sind möglich (E_0, E_1, \dots)
 \sim Quantisierung, Spektrallinien, ...
- 3) Wellenfunktionen zu E_n hat n Knoten. (Knotenzahl)
- 4) Teilchen kann sich im klassisch verbotenen Gebiet aufhalten
- 5) Falls $E > U(x)$ im unendl. großen Volumen: keine stationären (normierbaren) Zustände.
Bemerkung: i.a. benutzt man dann endliches Volumen und nimmt formal $V \rightarrow \infty$ (an Ende).

3.5. Eigenwerte als Messwerte

Energie: $\hat{H} \psi_{E_n} = E_n \psi_{E_n}$, $\int d^3r \psi_n^* \psi_n = 1$, $n=0,1,2,\dots$

$\begin{matrix} \nearrow & \searrow \\ \text{Eigenwert} & \text{Eigenfunktion} \end{matrix}$

Allgemein für Observable A:

$$\hat{A} \psi_{A_n} = A_n \psi_{A_n}, \quad \int d^3r \psi_{A_n}^* \psi_{A_n} = 1$$

Quantenmechanischer Messprozess (Postulat hkr):

Bei einer Einzelmessung des Observablen A wird ein Eigenwert A_n des Operators \hat{A} gemessen. Der Zustand des Systems geht dabei in ψ_{A_n} über.

Bei mehreren Messungen kann nur unterschiedliche A_n erhalten.

Hilfsl.: $\langle \hat{A} \rangle = \int d^3r \psi^* \hat{A} \psi$

Bem.: Der q.m. Messprozess lässt sich mikroskopisch beschreiben.

Dazu muss sowohl System als auch Meßgerät q.m. betrachtet werden.

Eigenschaften:

a) Eigenwerte hermitischer Operatoren sind reell

$$\int d^3r \psi_{A_n}^* \hat{A} \psi_{A_n} = A_n \int d^3r \psi_{A_n}^* \psi_{A_n} = A_n$$

$$A_n^* = (\int d^3r \psi_{A_n} (\hat{A} \psi_{A_n})^*)^* = \int d^3r \psi_{A_n} (\hat{A}^* \psi_{A_n})^* = \int d^3r \psi_{A_n}^* \hat{A} \psi_{A_n} = A_n$$

b) Eigenwerte hermitischer Operatoren zu verschiedenen Eigenwerten sind orthogonal

$$\int d^3r \psi_{A_n}^* \hat{A} \psi_{A_m} = \int d^3r \psi_{A_n}^* \psi_{A_m} = \int d^3r (\hat{A} \psi_{A_n})^* \psi_{A_m} = A_n \int d^3r \psi_{A_n}^* \psi_{A_m}$$

$$\sim \int d^3r \psi_{A_n}^* \psi_{A_m} = 0 \quad \text{für } A_n \neq A_m //$$

c) Entartung: ex. mehrere linear. Abh. Eigenfkt. zu einem Eigenwert

$$\hat{A} \Psi_{A_{\alpha}} = A_n \Psi_{A_{\alpha}}, \quad \alpha = 1, \dots, N_n \quad (\text{Entartungsgrad})$$

Dann ist jede Linearabh. auch Eigenfkt mit den selben Eigenw.; die Fkt können orthogonal gewählt werden.

$$\Psi_{A_n} = \sum_{\alpha=1}^{N_n} c_{A_n \alpha} \Psi_{A_{\alpha}}, \quad \hat{A} \Psi_{A_n} = A_n \Psi_{A_n}$$

d) Vertauschbare Operatoren teilen gemeinsames Eigenwertesystem

$$[\hat{A}, \hat{B}] = 0. \quad \text{EF von } \hat{B}: \Psi_{B_n}$$

$$\hat{A} \hat{B} \Psi_{B_n} = B_n \hat{A} \Psi_{B_n} = \hat{B} \hat{A} + a_n \quad \hat{A} \Psi_{B_n} \text{ ist EF von } \hat{B} \text{ mit EW } b_n!$$

\hat{B} nicht entartet $\Rightarrow \tilde{\Psi}_{B_n} \times \Psi_{B_n} \sim \hat{A} \Psi_{B_n} = A_n \Psi_{B_n}$

$$\hat{B}_n \text{ entartet } \sim \hat{A} \Psi_{B_n} = \sum_j A_{jj} \Psi_{B_n}$$

$$\text{Hier } A_{jj} \text{ kann diagonalisiert werden } \sim A \tilde{\Psi}_{B_n} = A_n \tilde{\Psi}_{B_n}$$

In beiden Fällen gilt: Zu vertauschbaren Operatoren, $[\hat{A}, \hat{B}] = 0$,

kommt immer ein gemeinsames Eigenwertesystem gewählt werden:

$$\hat{A} \Psi_{A_n B_n} = A_n \Psi_{A_n B_n}$$

$$\hat{B} \Psi_{A_n B_n} = B_n \Psi_{A_n B_n}$$

$\Psi_{A_n B_n}$ ist ein qm. Zustand, in dem die Messung

von A, B die Werte A_n, B_n liefert, mit $\Delta A = \Delta B = 0$.

(I.e. ist $\Delta A = 0$, wenn Erwartungswert mit Eigenfkt von \hat{A} gebildet wird.)

3.6. Superpositionsprinzip

Sind ψ_1 und ψ_2 zwei normierbare Zustände, so ist $a_1\psi_1 + a_2\psi_2$ mit beliebigen $a_{1,2} \in \mathbb{C}$ ebenfalls ein normierbarer Zustand.

Entwicklung nach Eigenfunktionen:

Sei $\{\psi_{A_n}\}$ die Menge aller orthogonale Eigenfunktionen eines Operators \hat{A} : $\int d^3r \psi_{A_m}^* \psi_{A_n} = \delta_{m,n}$

$$\text{Bilde: } \psi(r) = \sum_n c_{A_n} \psi_{A_n}(r)$$

$$\Rightarrow \int d^3r \psi_{A_m}^* \psi(r) = \sum_n \int d^3r \psi_{A_m}^* \psi_{A_n} c_{A_n} = c_{A_m}$$

$$\sim \boxed{\psi(r) = \sum_n \psi_{A_n}(r) \int d^3r \psi_{A_n}^* \psi} \quad \begin{array}{l} \text{Entwicklung von } \psi \\ \text{nach Eigenfkt von } \hat{A}. \end{array}$$

$$\text{Nun: } \langle \hat{A} \rangle = \langle d^3r \psi^* \hat{A} \psi \rangle = \int d^3r \psi^* \hat{A} \sum_n c_{A_n} \psi_{A_n}$$

$$= \sum_n A_n \underbrace{\int d^3r \psi^* \psi_{A_n} c_{A_n}}_{c_{A_n}^*}$$

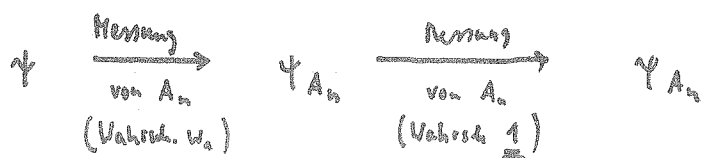
$$\boxed{\langle \hat{A} \rangle = \sum_n A_n |c_{A_n}|^2} \quad \begin{array}{l} \text{Wahrscheinlichkeiten,} \\ \downarrow \end{array}$$

$$|c_{A_n}|^2 = |\int d^3r \psi_{A_n}^* \psi|^2 \quad \sum_n v_n = 1$$

mit

Falls System in einen Eigenzustand von \hat{A} befindet \rightsquigarrow alle v_n Null außer einer, \rightsquigarrow Schwankung der Rcp. wkt. ist 0.

$|c_{A_n}|^2$ ist Wahrscheinlichkeit, im Zustand ψ den Zustand A_n zu messen, und damit „Übergangswahrscheinlichkeit“ von ψ in Zustand ψ_{A_n} bei einer Messung.



3.7. Energiedeckschärfe und Meßzeit

$$\Delta x \cdot \Delta p \geq \frac{\hbar}{2} \quad \text{für Wellenpaket}$$

simples Argument: Auf Strecke Δx N Schwingungen

$$\approx k \propto \frac{N}{\Delta x} \quad \approx \Delta k \propto \frac{1}{\Delta x} \quad ; \quad p = tk \quad //$$

Analog auf Zeitachse: teilt Welle in Δt

$$\approx w \propto \frac{N}{\Delta t} \quad \approx \Delta w \propto \frac{1}{\Delta t} \quad ; \quad E = \hbar w$$

\approx

$$\boxed{\Delta E \cdot \Delta t \geq \frac{\hbar}{2}}$$

4. Eindimensionale Probleme

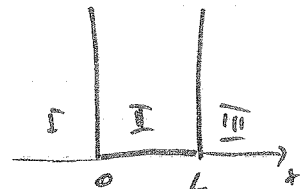
4.1. Sehr tiefer Potentialtopf

Stationäre SG

$$\left(-\frac{\hbar^2}{2m} \frac{d^2}{dx^2} + U(x) \right) \psi_E(x) = E \psi_E(x)$$

Pot. topf:

$$U(x) = \begin{cases} 0 & 0 < x < L \\ V & x < 0, x > L, V \rightarrow \infty \end{cases}$$



Stückweise konstantes $U(x)$:

$$\psi_E'' = -w \psi_E, \quad w = \frac{2m}{\hbar^2} (E - U)$$

$$\begin{aligned} \psi_E &\sim A e^{i\sqrt{w}x} + B e^{-i\sqrt{w}x} & (w > 0) \\ &= A e^{i\sqrt{w}x} + B e^{-i\sqrt{w}x} & (w < 0) \end{aligned}$$

Region I: Normierbarkeit erfordert $B=0$. (exp. Anwachs für $x \rightarrow -\infty$)

$V \rightarrow \infty$ gibt nun $w \rightarrow -\infty$ und damit

$$\underline{\psi_I = 0}, \quad \text{analog} \quad \underline{\psi_{\text{III}} = 0}$$

Region II:

$$\begin{aligned} \psi_I &= A e^{ikx} + B e^{-ikx}, \quad k = \left(\frac{2m}{\hbar^2} E \right)^{1/2} \\ &= a \sin kx + b \cos kx \end{aligned}$$

WF muß stetig sein bei $x=0, x=L$ (zur Integrieren der SG)

$$\sim b=0, \quad \sin kL = 0 \quad \sim kL = n \cdot \pi$$

$n=0$ entfällt (sonst $\psi_{\text{II}} = 0$ by Normierung)

Normierung: $\int_0^L dx \sin^2 \frac{n\pi x}{L} = \frac{L}{2}$

$$\begin{aligned} \sim \quad \psi_n(x) &= \sqrt{\frac{2}{L}} \sin \frac{n\pi x}{L}, \quad k_n = \frac{n\pi}{L}, \quad n=1,2,\dots \\ E_n &= \frac{\hbar^2 k_n^2}{2m} = \frac{\hbar^2 \pi^2}{2m L^2} \frac{n^2}{L^2} \end{aligned}$$

Wir haben hier gebundene Zustände mit $\psi(x) \xrightarrow{x \rightarrow \infty} 0$.

In solchen Fällen ist die Energie quantisiert!

(folgt aus Normierbarkeitforderung für die WF)

Die niedrigste mögliche Energie ist nicht Null,

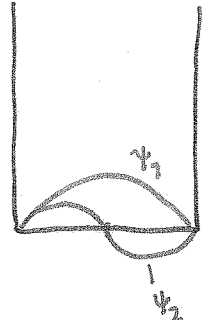
sondern $E_1 = \frac{\hbar^2 \pi^2}{2mL^2}$. Folgt auch aus

Unschärferelation: Wir haben nur $\langle \hat{x} \rangle = \langle \hat{p} \rangle = 0$,

aber $\Delta x \sim L \approx \Delta p \sim \frac{\hbar}{L}$ und

$$\langle \hat{H} \rangle = E = \frac{\langle \hat{p}^2 \rangle}{2m} = \frac{\Delta p^2}{2m} \approx \frac{\hbar^2}{2mL^2}$$

$$\langle \hat{p} \rangle = 0$$



Zustandsdichten:

Quantisierung der Zustände \rightsquigarrow Quantisierung des Impulses

Impulszustandsdichte $D(k)$: $D(k) \Delta k \equiv$ Zahl der Quantenzustände in Intervall Δk ($\Delta k \gg \hbar/L$)

$$\rightarrow \text{Potenziallopf: } D(k) = \frac{L}{\pi} \times \frac{1}{2} \int_{k=0}^{k=\infty} \sin kx = \frac{1}{2} (\underbrace{e^{ikx} - e^{-ikx}}_{\uparrow P})$$

$$\text{oder } D(k) = \frac{L}{\pi} \quad \text{"halber } k\text{-Zustand"}$$

Energiezustandsdichte $D(E)$: $D(E) \Delta E \equiv$ Zahl der Zustände in Intervall ΔE

$$D(E) \Delta E = D(k) \Delta k$$

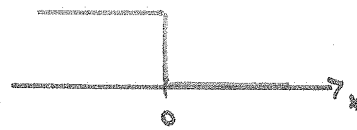
$$\left(E = \frac{\hbar^2 k^2}{2m} \right) \quad D(E) = D(k) \left(\frac{\partial E}{\partial k} \right)^{-1} = \frac{L}{\pi} \left(\frac{\hbar^2 k}{m} \right)^{-1}$$

$$D(E) = \frac{L}{\pi} \sqrt{\frac{m}{2}} E^{-\frac{1}{2}} \quad (\text{charakteristisch für 1d})$$

(Kontinuumzugang
gültig für $E \gg E_1$)

4.2. Potentialstufe: Reflexion & Transmission

$$U(x) = U_0 \Theta(-x)$$



(A) $0 < E < U_0$

$$\psi(x) = \begin{cases} A_1 \sin(kx + \delta) & x > 0 \\ A_2 e^{kx} & x < 0 \end{cases}$$

$$k = \sqrt{2mE}/\hbar$$

$$x = \sqrt{2m(U-E)}/\hbar$$

Auschließbedingungen:

ψ stetig: $A_1 \sin \delta = A_2$ $\sim \sin \delta = A_2/A_1$

ψ' stetig: $k A_1 \cos \delta = k A_2$ $\sim \cos \delta = 1 - \sin^2 \delta = \left(\frac{x A_2}{k A_1}\right)^2$

$$\sim 1 - \frac{A_2^2}{A_1^2} = \frac{x^2 A_2^2}{k^2 A_1^2} \quad \sim 1 = \frac{k^2 + x^2}{x^2} \frac{A_2^2}{A_1^2}$$

$$\sim \sin \delta = \frac{A_2}{A_1} = \frac{\hbar}{\sqrt{k^2 + x^2}} = \sqrt{\frac{E}{U}} \quad (U \rightarrow \infty : \delta \rightarrow 0)$$

$\delta = \text{Streuphase}$

Bem.: \exists keine normierbare Lsg.; Normierung nur mit Wellenpaket möglich

Wellenpaket:

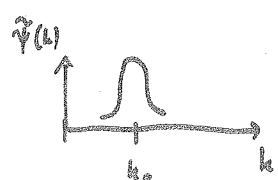
Lösung kann geschrieben werden als

$$\psi_k(x) = \frac{iA}{2} e^{-ikx} \begin{cases} e^{-ikx} - e^{i(kx+2\delta)} & x > 0 \\ -2i \sin \delta e^{ikx} & x < 0 \end{cases}$$

d.h. für $x > 0$ entlaufende Welle e^{-ikx} und anlaufende Welle $e^{i(kx+2\delta)}$. Nun überlagern.

$t \rightarrow \pm\infty$:

$$\psi_i(x,t) = \int \frac{dk}{2\pi} \tilde{\psi}(k) e^{-ikx} e^{-iEt/\hbar}$$



$$= e^{-ik_0(x + V_{ph}t)} \int \frac{dk'}{2\pi} \tilde{\psi}(k_0 + k') e^{-ik'(x + V_{ph}t)} e^{-iEk'^2 t / 2m}$$

$$E = E(k_0) + k_0^2 \frac{\partial E}{\partial k} + \frac{k_0^2}{2} \frac{\partial^2 E}{\partial k^2}$$

$$V_{ph} = \frac{\partial E}{\partial k}$$

$$V_{ph} = \frac{\partial E}{\partial k}$$

B) $E > U_0$

$$\psi(x) = \begin{cases} e^{-ikx} + Re^{ikx} & x > 0 \\ Se^{-ixx} & x < 0 \end{cases}$$

$$k = \sqrt{2m(E-U_0)/\hbar^2}$$

$$x = \sqrt{2m(E-U_0)/\hbar^2}$$

Ausdrücke für:

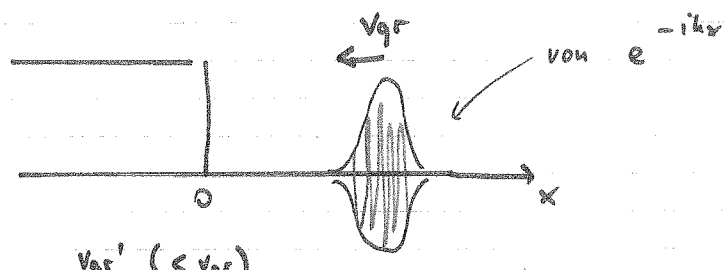
$$\left. \begin{array}{l} \psi: S = 1+R \\ \psi': -ixS = -ik(1-R) \end{array} \right\} \quad \begin{array}{l} S = 1+R = \frac{k}{x}(1-k) \\ R = \frac{1-x}{1+k}; \quad S = \frac{2k}{1+k} \end{array}$$

Noten ψ ist und ψ^* Lsg (Welle \leftarrow und \rightarrow)

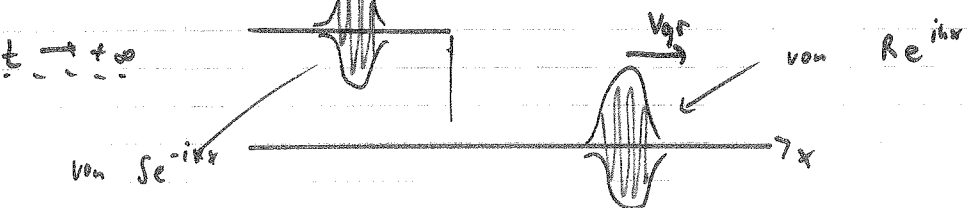
= 2-fache Entartung (2 Lsg zu einem Energieniveau)

Wellenzahl:

$t \rightarrow -\infty$



$t \rightarrow +\infty$



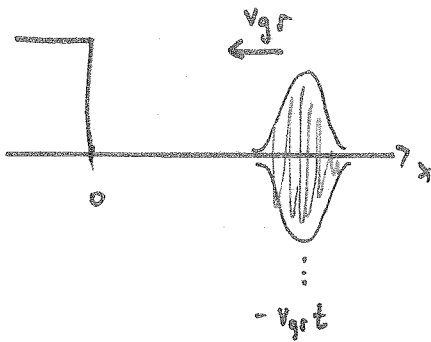
Reflexionswahrscheinlichkeit: $|R|^2$

$$|R|^2 + \frac{\kappa}{\hbar} |S|^2 = 1$$

Transmissionswahrscheinlichkeit: $\frac{\kappa}{\hbar} |S|^2 (\nabla)$

Verdoppelte Geschwindigkeit !!

Einfahrendes Wellenpaket.



$$t \rightarrow t_0$$

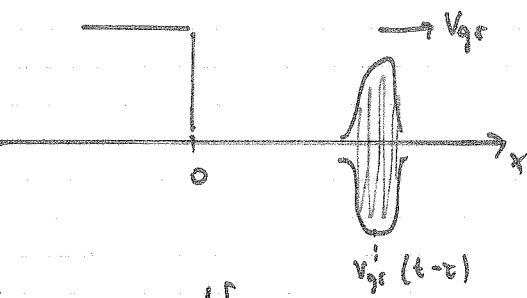
$$\psi_r(x,t) = \int \frac{dk}{2\pi} \tilde{\psi}(k) e^{i(kx+2\delta)} e^{-iEt/k}$$

$$= e^{ik_0(x-v_{gr}t)} \int \frac{dk'}{2\pi} \tilde{\psi}(k_0+k') e^{i(k'(x-v_{gr}(t-\tau))} \equiv 1$$

$$e^{-ik'^2 t / 2m} e^{i\delta}$$

Auslaufendes Wellenpaket

ist verzögert um τ !



$$\text{Phasenverschiebung } \delta(k) = \delta(k_0) + k' \frac{d\delta}{dk}$$

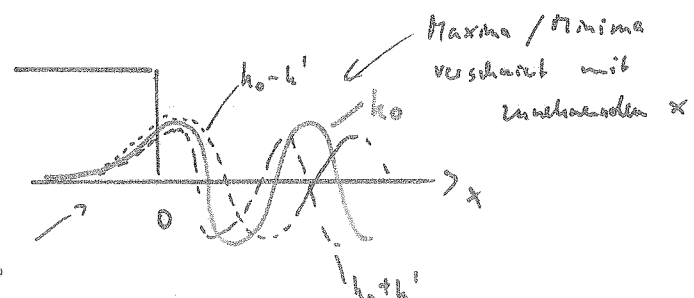
$$\Delta \tau = \frac{2}{v_{gr}} \left. \frac{d\delta}{dk} \right|_{k_0} = 2 \frac{dp}{dE} \frac{d\delta}{dk} = 2k_0 \frac{d\delta}{dE}$$

Wellenpaket wird bei Reflexion verzögert!

Es wird aufgeworfen und deformiert, genaue Rechnung schwierig.

$$t \approx 0, x \ll k^{-1}$$

$$\psi(x,t) \approx e^{-iEt/k} \left\{ \begin{array}{l} \sin(k_0 x + \delta) \\ \sin(k_0 x + \delta) e^{k_0 x} \end{array} \right\} \underbrace{\left[\frac{dk'}{2\pi} \tilde{\psi}(k_0 + k') \right]}_{\text{const}} \times \begin{array}{l} \text{rest} \\ \approx 1 \\ \text{wg kreal} \end{array}$$

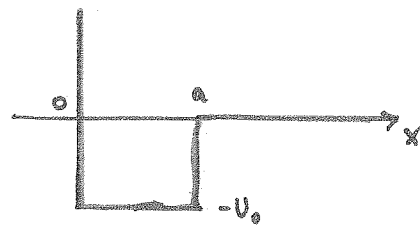


$$\text{Eindringtiefe } \sim \frac{1}{k_0}$$

4.3. Endlich tiefer Potenzialtopf: Resonanzen

4-6

$$U(x) = \begin{cases} 0 & x < 0 \\ -U_0 & 0 < x < a \\ 0 & x > a \end{cases}$$



A $-U_0 < E < 0$

In diesem Bereich können gebundene Zustände existieren

(falls Topp hinreichend hoch).

B $E > 0$

$$\psi(x) = \begin{cases} 0 & x < 0 \\ 2A \sin kx & 0 < x < a \\ e^{-ikx} - e^{i(kx+2\delta)} & x > a \end{cases}$$

$$k = \sqrt{2m(E+U_0)/\hbar^2} \quad (76)$$

$$\delta = \sqrt{2mE/\hbar^2} \quad (77)$$

Auslängbed. $k \cdot x = a$:

$$\psi \text{ stetig: } 2A \sin ka = e^{-ika} - e^{i(ka+2\delta)} \quad (78)$$

$$\psi' \text{ stetig: } 2Ak \cos ka = -ik(e^{-ika} + e^{i(ka+2\delta)})$$

$$(78) \curvearrowright \frac{2ik}{k} A \cos ka = e^{-ika} + e^{i(ka+2\delta)} \quad (79)$$

$$2A \left(\sin ka + \frac{ik}{k} \cos ka \right) = 2e^{-ika}$$

$$A \left(\sin^2 ka + \frac{k^2}{k^2} \cos^2 ka \right)^{1/2} e^{ik} = e^{-ika} ; \tan \gamma = \frac{k}{k} \cot ka$$

$$A = \frac{e^{-ika-i\gamma}}{\left(\sin^2 ka + \frac{k^2}{k^2} \cos^2 ka \right)^{1/2}}$$

$$|A|^2 = \left(\sin^2 ka + \frac{k^2}{k^2} \cos^2 ka \right)^{-1} = \left(1 + \left(\frac{k^2}{k^2} - 1 \right) \cos^2 ka \right)^{-1}$$

$$(78) - (79) \approx A \left(\sin^2 ka + \frac{k^2}{k^2} \cos^2 ka \right)^{1/2} e^{-i\gamma} \approx -e^{i(ka+2\delta)}$$

$e^{-ika} \quad e^{-i\gamma}$

$$\int e^{ikx} \left(e^{ka} (x-ik)^2 - e^{-ka} (x+ik)^2 \right) = -4ik$$

$$|S|^2 = \frac{(4xk)^2}{[(e^{ka}-e^{-ka})(x^2-k^2)]^2 + [(e^{ka}+e^{-ka})2xk]^2}$$

$$= \frac{4k^2 k^2}{4x^2 k^2 + (x^2+k^2)^2 \sinh^2 ka}$$

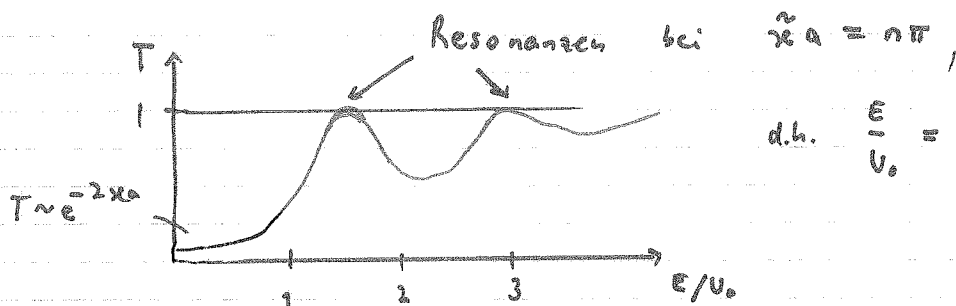
$$\cosh^2 = 1 + \sinh^2$$

Transmission:

$$T = |S|^2 = \frac{4E(U_0 - E)}{4E(U_0 - E) + U_0^2 \sinh^2 ka} \quad (E < U_0)$$

$$= \frac{4E(E - U_0)}{4E(E - U_0) + U_0^2 \sinh^2 ka} \quad (E > U_0)$$

$$\tilde{k} = \sqrt{2m(E-U_0)/\hbar}$$



$$\text{d.h. } \frac{E}{U_0} = 1 + n^2 \frac{\pi^2}{a^2 2m U_0}$$

Bemerkungen:

- 1) Teilchen tunneln für $E < U_0$ (Tunneldiode, α -Zerfall, ...)
- 2) Teilchen wird auf und bei $E > U_0$ reflektiert
- 3) Rechnung geht auch für $U_0 < 0$ $\hat{=}$ unendlich tiefer Topf; dort treten genauso Resonanzen in Transmission auf.

$$\delta = -ka - \gamma + \frac{\pi}{2}$$

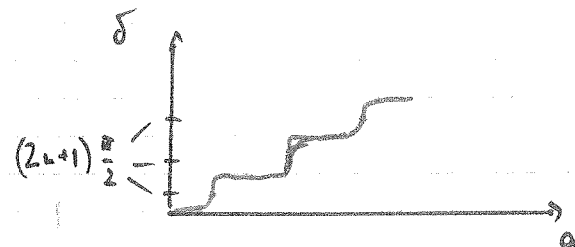
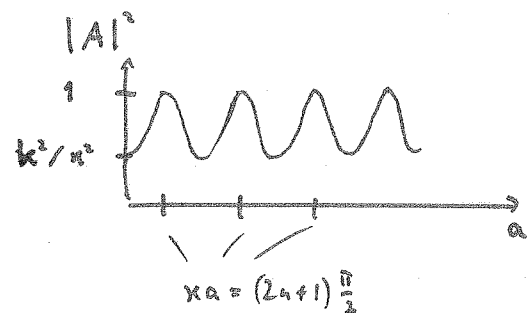
Resonanzen:

Aufenthaltswahrscheinlichkeit im Topf

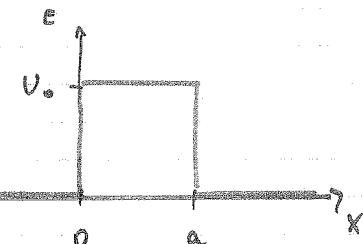
hat Max & Minima, die liegen

„spiegelbildlich“ zu gebundenen

Energien (Topf $xa = m\pi$)

4.4. Potentialbarrier: Tunnel effekt

$$\psi(x) = \begin{cases} e^{-ikx} + R e^{ikx}, & k = \sqrt{2mE}/\hbar, x > a \\ A e^{ix} + B e^{-ix}, & x = \sqrt{2m(V_0-E)}/\hbar, 0 < x < a \\ S e^{-ikx} & x < 0 \end{cases}$$



Ausdrück für $x=0$:

$$\left. \begin{array}{l} \psi: A + B = S \\ \psi': x(A - B) = -ikS \end{array} \right\} \quad \begin{array}{l} 2A = S \left(1 - \frac{ik}{\hbar} \right) \\ 2B = S \left(1 + \frac{ik}{\hbar} \right) \end{array}$$

Ausdrück für $x=a$:

$$\psi: A e^{ixa} + B e^{-ixa} = e^{-ika} + R e^{ika}$$

$$\psi': x(A e^{ixa} - B e^{-ixa}) = -ik(e^{-ika} - R e^{ika})$$

$$\sim 2A e^{ixa} = e^{-ika} \left(1 - \frac{ik}{\hbar} \right) + R e^{ika} \left(1 + \frac{ik}{\hbar} \right)$$

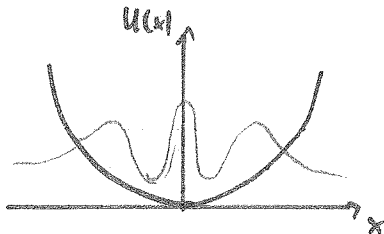
$$2B e^{-ixa} = e^{-ika} \left(1 + \frac{ik}{\hbar} \right) + R e^{ika} \left(1 - \frac{ik}{\hbar} \right)$$

R eliminiert!

$$\textcircled{O} \frac{S e^{ixa}}{x + ik} \neq S e^{-ixa} \frac{x + ik}{x - ik} = e^{-ika} \left(\frac{x - ik}{x + ik} - \frac{x + ik}{x - ik} \right)$$

4.5. Harmonischer Oszillator

$$U(x) = \frac{m\omega^2 x^2}{2}$$



$$\text{SGL: } \left(-\frac{\hbar^2}{2m} \frac{d^2}{dx^2} + \frac{m\omega^2 x^2}{2} \right) \psi_\epsilon(x) = E \psi_\epsilon(x)$$

Definieren:

$$y := \sqrt{\frac{m\omega}{\hbar}} x \quad ; \quad \varepsilon = \frac{E}{\hbar\omega} \quad ; \quad \psi_\epsilon(x) = \psi_\epsilon(y)$$

$$\approx \left(-\frac{\hbar^2}{2m} \frac{d^2}{dy^2} + y^2 \right) \psi_\epsilon(y) = 2\varepsilon \psi_\epsilon(y)$$

Diese DGL lässt sich mit Hilfe eines Operators \hat{a}, \hat{a}^\dagger bequem lösen.

$$\hat{a} = \frac{1}{\sqrt{2}} \left(y + \frac{d}{dy} \right) = \sqrt{\frac{m\omega}{2\hbar}} x + \frac{i}{\sqrt{2\hbar m\omega}} p$$

~~$$\hat{a}^\dagger = \frac{1}{\sqrt{2}} \left(y - \frac{d}{dy} \right) = \sqrt{\frac{m\omega}{2\hbar}} x - \frac{i}{\sqrt{2\hbar m\omega}} p$$~~

$$(dy \psi^* \hat{a}^\dagger) = (dy (\hat{a}^\dagger \psi)^*) \psi$$

$$\begin{aligned} \hat{a} \hat{a}^\dagger &= \frac{1}{2} \left(y \pm \frac{d}{dy} \right) \left(y \mp \frac{d}{dy} \right) = \frac{1}{2} \left(y^2 \pm \frac{dy}{dy} \pm y \frac{d}{dy} \mp y \frac{d}{dy} - \frac{d^2}{dy^2} \right) \\ &= \frac{1}{2} \left(y^2 - \frac{d^2}{dy^2} \pm 1 \right) \end{aligned}$$

$$\approx [\hat{a}, \hat{a}^\dagger] = 1 \quad ; \quad [\hat{a}, \hat{a}^\dagger]_+ = \hat{a} \hat{a}^\dagger + \hat{a}^\dagger \hat{a} = y^2 - \frac{d^2}{dy^2}$$

SGL lässt sich schreiben als: $(\hat{a} \hat{a}^\dagger + \hat{a}^\dagger \hat{a}) \psi_\epsilon = 2\varepsilon \psi_\epsilon$

$$\approx \hat{a}^\dagger \hat{a} \psi_\epsilon = (\varepsilon - \frac{1}{2}) \psi_\epsilon$$

Neue Energieniveaus (von $\hat{a}^\dagger \hat{a} = (\hat{a} \hat{a}^\dagger)^\dagger$) $v = \varepsilon - \frac{1}{2}$

Rekursive Konstruktion von Eigenzuständen:

$$\hat{a}^+ \hat{a}^- \psi_v = v \psi_v \quad | \hat{a}^+ \text{ bzw. } \hat{a}^-$$

$$\sim \hat{a}^+ \underbrace{\hat{a}^+ \hat{a}^-}_{\hat{a}^2 + 1} \psi_v = \sqrt{v} \hat{a}^+ \psi_v \quad \text{bzw. } \underbrace{\hat{a}^+ \hat{a}^+ \hat{a}^-}_{\hat{a}^2 + 1} \psi_v = \sqrt{v} \hat{a}^- \psi_v$$

$$\sim \hat{a}^+ \hat{a}^- (\hat{a}^+ \psi_v) = (v+1) (\hat{a}^+ \psi_v) \quad \text{Falls } \psi_v \text{ EF zu Eigenwert } v, \\ \hat{a}^+ \hat{a}^- (\hat{a}^- \psi_v) = (v-1) (\hat{a}^- \psi_v) \quad \text{dann } \left\{ \begin{array}{l} \hat{a}^+ \psi_v \\ \hat{a}^- \psi_v \end{array} \right\} \text{ EF zu EV } \left\{ \begin{array}{l} v+1 \\ v-1 \end{array} \right\}.$$

Da Folge der EW nach unten beschränkt sein muss, existiert ein ψ_v mit $\hat{a}^+ \psi_v = 0 \quad \sim \hat{a}^+ \hat{a}^- \psi_v = 0 \quad \sim v=0$ ist EW.

$$\boxed{E_v = (v + \frac{1}{2}) \hbar \omega} \quad v=0, 1, 2, \dots$$

Energiepektrum des harm. Oszillators.

Jetzt Wellenfunktionen:

$$\text{Grundzustand: } (\frac{d}{dy} + \gamma) \psi_0 = 0, \quad \frac{d\psi_0}{dy} = -\gamma \psi_0$$

$$d \ln \psi_0 = d(-\frac{\gamma^2}{2})$$

$$\sim \psi_0 = C_0 e^{-\gamma^2/2} \quad \text{WF des Grundzustandes}$$

○ Angeg. Zustände:

$$\psi_v \sim \hat{a}^+ \psi_{v-1} \sim (\hat{a}^+)^v \psi_0$$

$$\sim \psi_v = C_v \left(\gamma - \frac{d}{dy} \right)^v e^{-\gamma^2/2}$$

$$\sim H_v(\gamma) e^{-\gamma^2/2}$$

$\xrightarrow{?}$
Hermittisches Polynom vom Grad v

$$H_0 = 1, \quad H_1 = -2 + 4y^2, \quad \dots$$

$$H_2 = 2y, \quad H_3 = -12y + 8y^3,$$

Mit Verfaktoren:

$$\psi_v(x) = \left(\frac{m\omega}{\hbar} \right)^{1/4} \frac{1}{(\pi \hbar^2 \omega / m)^{1/2}} H_v \left(\sqrt{\frac{m\omega}{\hbar}} x \right) e^{-m\omega x^2 / 2\hbar}$$

In Grundzustand gilt (explizit ausrechnen!):

$$\langle T \rangle = \frac{1}{2\omega} \langle p^2 \rangle = \frac{\hbar\omega}{4}$$

$$\langle v \rangle = \frac{mv^2}{2} \langle x^2 \rangle = \frac{\hbar\omega}{4}$$

$$\sim \langle p \rangle \langle x^2 \rangle = \frac{4}{\omega^2} \left(\frac{\hbar\omega}{4} \right)^2 = \frac{\hbar^2}{4}$$

$$\langle p \rangle = \langle x \rangle = 0$$

$$\sim \delta p^2 = \langle p^2 \rangle$$

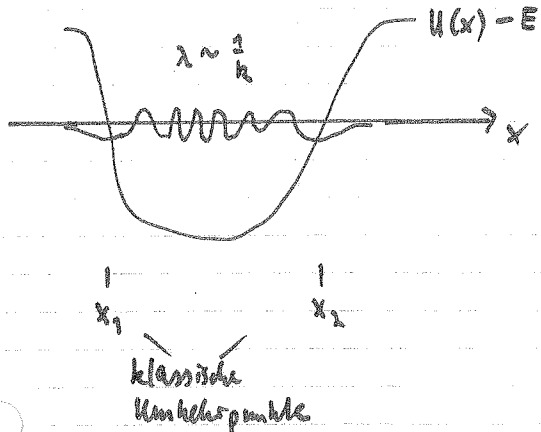
$$\delta x^2 = \langle x^2 \rangle$$

$$\underline{\underline{\Delta p = \delta x = \frac{\hbar}{2}}}$$

~ Grundzustand ist Zustand maximaler Bestimmtheit!

5. Korrespondenzprinzip und quasiklassische Näherung

5.1. WKB-Methode für 1d-Bewegungen (Ventil, Kranen, Brillen)



Idee:

Potential variiert langsam auf Skala der Wellenlänge.

$$\left| \frac{1}{\hbar} \cdot \frac{dU}{dx} \right| \ll |E-U|$$

Dann ist es sinnvoll, „lokalen Impuls“ zu definieren: $p(x) = \pm \sqrt{2m(E-U(x))}$

Die WKB-Bedingung lautet dann:

$$\left| \frac{\frac{t}{\sqrt{2m(E-U(x))}} \frac{d}{dx}(E-U)}{\sim \frac{E-U}{\Delta x}} \right| \ll |E-U|$$

$\Delta x \sim x_2 - x_1$

$$\sim \frac{t}{|\hbar| \Delta x} \ll 1$$

Falls bed. erfüllt, dann SOL:

$$\left[\frac{d^2}{dx^2} + \left(\frac{p(x)}{\hbar} \right)^2 \right] \psi(x) = 0$$

Ansatz: $\psi(x) = e^{i/\hbar \sigma(x)}$

$$\sim \frac{d^2}{dx^2} \psi(x) = \frac{d}{dx} \left(\frac{i}{\hbar} \sigma' e^{i/\hbar \sigma(x)} \right) = \left(\frac{i}{\hbar} \sigma'' - \frac{\sigma'^2}{\hbar^2} \right) e^{i/\hbar \sigma(x)}$$

$$\text{SOL } \sim \left(\frac{i}{\hbar} \sigma'' - \frac{\sigma'^2}{\hbar^2} + \frac{p(x)^2}{\hbar^2} \right) e^{i/\hbar \sigma(x)} = 0$$

$$\left(\frac{d\sigma}{dx}\right)^2 = p^2 + i\hbar \frac{d^2\sigma}{dx^2}$$

Versuch: ($t \rightarrow 0$) $\frac{d\sigma}{dx} = \pm p$, denn

$$\frac{\hbar \frac{d\sigma}{dx}}{p^2} \approx \pm \frac{dp}{dx} \frac{1}{p^2} = \frac{i\hbar \frac{dU}{dx}}{\sqrt{2m(E-U)}} \frac{1}{2m(E-U)} \ll 1 \text{ (WKB)}$$

Also ist Einheit nach t vernünftig.

$$\frac{d\sigma}{dx} = \pm \sqrt{p^2 + i\hbar \frac{d^2\sigma}{dx^2}} \approx \pm p \pm \frac{i\hbar}{p} \frac{d^2\sigma}{dx^2} \approx \pm p + \frac{i\hbar}{2p} \frac{dp}{dx}$$

Integrieren:

$$\sigma(x) = \pm \int_{x_0}^x dx' p(x') + i\hbar \ln \sqrt{p/p_0} \quad \begin{cases} p_0 = p(x_0) \\ p = p(x) \end{cases}$$

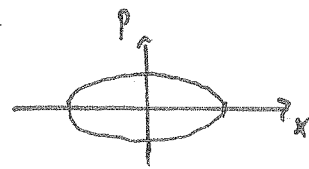
$$\sim \int_{x_0}^x \sqrt{\frac{p_0}{p(x')}} e^{\pm i\hbar \int_{x_0}^{x'} dx' p(x')} \quad p(x) = \sqrt{2m(E-U(x))}$$

Also: ψ ist ebene Welle mit langsam veränderlicher Impuls.

Die obige Gleichung ist auch gültig außerhalb der klassischen Maximalpunkte x_1, x_2, \dots ; dort ist p imaginär.

5.2. Bohr - Sommerfeld - Quantisierung

Periodische Bewegung in 1d,
WK B erfüllt.



Idee: Phasenänderung der WF über (x_1, p_1) nach (nugfähr)
Vielfache von π sein.

$$(n+1)\pi = \frac{1}{\hbar} \int_{x_1}^{x_2} dx' p(x') \quad (\text{WK B-Phase}; \\ \kappa \ll 1 \text{ Korrektur})$$

$$= \frac{1}{2\pi} \oint dp \quad \text{d}x p$$

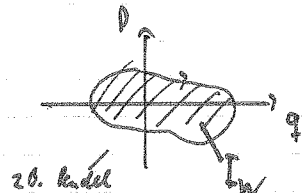
~

$$\oint p dx \approx n \hbar$$

- Wirkung quantisiert in Einheiten von \hbar .
- Gilt für große n (WK B!)
- Gilt für alle Paare kanonisch konj. Variablen.

5.3. Bohrsches Kernespondenzprinzip

Periodische Bewegung in begrenztem Gebiet (w.o.)



$$n\hbar = \oint pdq = I_n(E_n)$$

$$H(p,q) = E_n$$

$$1 = p(E_n) \quad \frac{dI}{dE} = \oint \frac{dp}{dE} dq = \oint \frac{dq}{dt} = \oint \frac{dq}{\frac{dt}{dq}} = \oint dt = T$$

↑ klass. periode der
klass. Bewegung

$$2 \quad 2\pi \hbar \frac{dn}{dE} \approx T = \frac{2\pi}{\omega_{kl}}$$

$$3 \quad t \omega_{kl} = \frac{dE}{dn} = \frac{E_m - E_n}{m - n}$$

$$4 \quad (m-n) t \omega_{kl} = E_m - E_n$$

(Spektroskopische Übergänge
 $\hbar \omega_{qm} = E_m - E_n$)

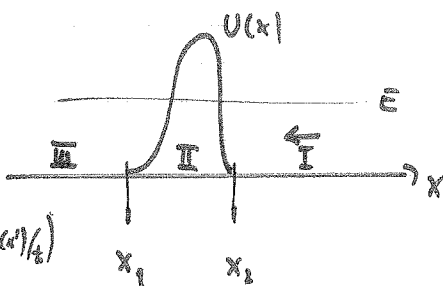
5 Abgestufte Quanten late ganzzahlige Vielfache von ω_{kl} (\approx Oberschalen)
(bei hohem m, n , da Ableitung quantitativisch)

Bei harmonischen Oszillatoren nur benachbarte Übergänge möglich.

5.4. Gamow - Faktor der Tunnelwahrscheinlichkeit

Potential - Barriere

$$\psi_E(x) = \begin{cases} e^{-ikx} + R e^{ikx} & x < x_1 \\ R \exp\left(\int_{x_1}^x dx' p(x')/k\right) + T \exp\left(-\int_{x_1}^x dx' p(x')/k\right) & x_1 < x < x_2 \\ T e^{-ikx} & x > x_2 \end{cases}$$



$$p = \sqrt{2m(U(x) - E)} \quad . \quad \text{WKB} \hat{=} \text{Barrier mit geringer } k=0 \text{-Wellenlänge}$$

○ Anschließend x_1 : $\psi_E(x_1) = \alpha + \beta$

$\leftarrow x_2$: Nähern $\exp(-\int \dots) \ll \exp(+\int \dots)$

Hilf

$$G = \frac{1}{k} \int_{x_1}^{x_2} dx' p(x') \gg 1$$

Gamow - Faktor

siegt Tunnelwahrscheinlichkeit

$$T = |S|^2 = e^{-2G}$$

6. Zentralkraftproblem und Drehimpuls

Bisher : 1 Teilchen . Jetzt : 2 Teilchen .

6.1. Variablenierung durch Separationsmaut

Allgemeiner Operator $\hat{A}(q_1, q_2)$ für 2-Teilchen-System, $\hat{A}\psi = a\psi$.

- Falls \hat{A} die Form $\hat{A}(q_1, q_2) = \hat{A}_1(q_1) + \hat{A}_2(q_2)$ hat, dann kann die Abhangigkeit von q_1 und q_2 leicht separieren.

$$\text{Ansatz: } + (q_1, q_2) = \alpha(q_1) \vee (q_2)$$

$$\text{mit } \hat{A}_1 u = a_1 u, \quad \hat{A}_2 v = a_2 v \quad \text{Eigenschaft von } \hat{A}_1, \hat{A}_2.$$

$$\hat{A}\psi = (\hat{A}_1 + \hat{A}_2)uv = v\hat{A}_1 u + u\hat{A}_2 v = v a_1 u + u a_2 v$$

$\in a\psi$

$$Q = q_1 + q_2 \quad (\text{Hier können die EW-Probleme von } \hat{A}_1, \hat{A}_2 \text{ separat gelöst werden})$$

- * Falls \hat{A} die Form $\hat{A}(g_1, g_2) = A_0(g_1) + A_1(g_1)A_2(g_2)$ hat, dann Vorgehen analog.

$$\text{Ansatz: } \psi(q_1, q_2) = u(q_1) v(q_2) \quad ; \quad A_2 V_d = \psi V_F$$

$$\hat{A}^* y = (\hat{A}_0 + \hat{A}_1 \hat{A}_2^*) u v_* = v_* \hat{A}_0 u + \hat{A}_1 u \hat{A}_2^* v_* \\ = v_* (\hat{A}_0 + \alpha \hat{A}_1) u$$

Dies definiert ein neues, ex-abhängiges Eigenwertproblem für 1 Teilchen.

$$\text{Eigenfkt} \quad (\hat{A}_\phi + \alpha \hat{A}_\psi) u_\phi = \alpha_d u_\phi \quad ; \quad \psi = u_\phi v$$

$$\hat{A}^* \psi = v_0 (\hat{A}_0^* + q A_1) \psi_0 = q_0 \psi_0 v_0 = q_0 \psi$$

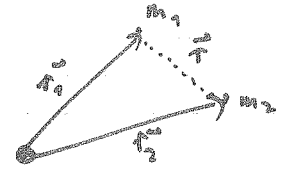
(Hin ist verhindert $\hat{A}_i \rightarrow$ EW-Prozess in 100m, dann folgt
 da $(\hat{A}_0 + \alpha \hat{A}_i) \rightarrow$ EW-Prozess.)

6.2. Zweiteilchenproblem und Zentralwelleldurchdringung

2 Teilchen mit Zweikörperkraft, keine äußere Kräfte

Klassisch:

$$H = \frac{p_1^2}{2m_1} + \frac{p_2^2}{2m_2} + u(|\vec{r}_1 - \vec{r}_2|)$$



Schwerpunkt: $M = m_1 + m_2$,

$$M\ddot{R} = m_1\ddot{r}_1 + m_2\ddot{r}_2$$

Relativ:

$$\begin{aligned} \dot{r} &= \vec{r}_2 - \vec{r}_1, & \rightarrow \vec{r}_1 &= \vec{R} - \frac{m_2}{M}\vec{r} \\ \mu^{-1} &= \frac{1}{m_1^{-1} + m_2^{-1}} & \vec{r}_2 &= \vec{R} + \frac{m_1}{M}\vec{r} \end{aligned}$$

$$\begin{aligned} \text{Kin. Energie: } \frac{p_1^2}{2m_1} + \frac{p_2^2}{2m_2} &= \frac{1}{2} \left[m_1 \left(\dot{\vec{R}} - \frac{m_2}{M} \dot{\vec{r}} \right)^2 + m_2 \left(\dot{\vec{R}} + \frac{m_1}{M} \dot{\vec{r}} \right)^2 \right] \\ &= \frac{1}{2} \left[M \dot{\vec{R}}^2 + \frac{m_1 m_2 + m_1^2 m_2}{M^2} \dot{\vec{r}}^2 \right] = \frac{1}{2} [M \dot{\vec{R}}^2 + \frac{m_1 m_2}{M} \dot{\vec{r}}^2] \\ &= \frac{\vec{p}^2}{2M} + \frac{\vec{r}^2}{2\mu} \end{aligned}$$

Übergang zu Operatoren: $\hat{\vec{p}} = \frac{i}{\hbar} \frac{\partial}{\partial \vec{r}}$, $\hat{\vec{r}} = \frac{i}{\hbar} \frac{\partial}{\partial \vec{p}}$

$$\hat{H} = \frac{\hat{\vec{p}}^2}{2M} + \frac{\hat{\vec{r}}^2}{2\mu} + u(r) = \underbrace{-\frac{\hbar^2}{2M} \frac{\partial^2}{\partial \vec{r}^2}}_{\hat{H}_1(\vec{r})} - \underbrace{\frac{\hbar^2}{2\mu} \frac{\partial^2}{\partial \vec{p}^2}}_{\hat{H}_2(\vec{p})} + u(r)$$

Ausdruck: $\psi = v(\vec{r}) u(\vec{r})$

$$\hat{H}_1 v = \epsilon_1 v, \quad v \sim e^{i \vec{k} \cdot \vec{r}}, \quad \epsilon_1 = \frac{\hbar^2 k^2}{2M} \quad \text{Feste Bewegung des Schwerpunktes}$$

Bleibt u betrachten:

$$\left(-\frac{\hbar^2}{2\mu} \frac{\partial^2}{\partial \vec{p}^2} + u(r) \right) u(\vec{r}) = E_2 u(\vec{r})$$

6.3. Separation des Zentralkraftproblems

Effektives Teilchenproblem:

$$\left(-\frac{\ell^2}{2r} \frac{\partial^2}{\partial r^2} + U(r) \right) + (\ell) = E \Psi(r)$$

Kugelkoordinaten: $(x, y, z) \rightarrow (r, \theta, \varphi)$

$$\begin{aligned} \text{Klassisch: } \vec{p} &= \hat{\mathbf{e}}_r (\hat{\mathbf{e}}_r \cdot \vec{p}) - \hat{\mathbf{e}}_r \times (\hat{\mathbf{e}}_r \times \vec{p}) & \hat{z}_r = \hat{z}/r \\ &= \hat{\mathbf{e}}_r \cdot \vec{p}_r - \hat{\mathbf{e}}_r \times \hat{\mathbf{l}}/r & \hat{\mathbf{l}} = \hat{r} \times \hat{\mathbf{p}} \end{aligned}$$

$$\begin{aligned} \vec{p}^2 &= (\vec{p} \cdot \hat{\mathbf{e}}_r) (\hat{\mathbf{e}}_r \cdot \vec{p}) - (\vec{p} \times \hat{\mathbf{e}}_r) (\hat{\mathbf{e}}_r \times \vec{p}) \\ &= p_r^2 + \ell^2/r^2 \end{aligned}$$

$$\text{QM: } \frac{\partial}{\partial r} = \hat{\mathbf{e}}_r (\hat{\mathbf{e}}_r \cdot \frac{\partial}{\partial r}) - \hat{\mathbf{e}}_r \times (\hat{\mathbf{e}}_r \times \frac{\partial}{\partial r})$$

$$\hat{\mathbf{e}}_r \cdot \frac{\partial}{\partial r} = \frac{x}{r} \frac{\partial}{\partial x} + \frac{y}{r} \frac{\partial}{\partial y} + \frac{z}{r} \frac{\partial}{\partial z} = \frac{\partial x}{\partial r} \frac{\partial}{\partial x} + \frac{\partial y}{\partial r} \frac{\partial}{\partial y} + \frac{\partial z}{\partial r} \frac{\partial}{\partial z} = \frac{\partial}{\partial r}$$

$$\left(\frac{\partial}{\partial r} \right)^2 = \underbrace{\left(\frac{\partial}{\partial r} \cdot \hat{\mathbf{e}}_r \right)}_{A} \underbrace{\left(\hat{\mathbf{e}}_r \cdot \frac{\partial}{\partial r} \right)}_{B} - \underbrace{\left(\frac{\partial}{\partial r} \times \hat{\mathbf{e}}_r \right)}_{A} \underbrace{\left(\hat{\mathbf{e}}_r \times \frac{\partial}{\partial r} \right)}_{B}$$

$$\begin{aligned} A: \quad \frac{\partial}{\partial r} \frac{\partial}{\partial r} &= \frac{\partial^2}{\partial r^2} \frac{1}{r} \frac{\partial}{\partial r} + \frac{1}{r} \left(\frac{\partial}{\partial r} \frac{1}{r} \right) \frac{\partial}{\partial r} + \hat{\mathbf{e}}_r \cdot \frac{\partial}{\partial r} \frac{\partial}{\partial r} \\ &= \frac{3}{r} \frac{\partial}{\partial r} - \frac{1}{r} \frac{\partial}{\partial r} + \frac{\partial^2}{\partial r^2} = \frac{1}{r} \frac{\partial^2}{\partial r^2} r = \left(\frac{1}{r} \frac{\partial}{\partial r} \right)^2 \end{aligned}$$

$$B: \quad \left(\frac{\partial}{\partial r} \times \hat{\mathbf{e}}_r \right)_z = \frac{\partial}{\partial x} y - \frac{\partial}{\partial y} x = y \frac{\partial}{\partial x} - x \frac{\partial}{\partial y} = -(\hat{r} \times \frac{\partial}{\partial r})_z$$

$$\begin{aligned} (\hat{r} \times \frac{\partial}{\partial r})_z &= x \frac{\partial}{\partial y} \hat{r} - y \frac{\partial}{\partial x} \hat{r} = -\frac{xy}{r^2} + \frac{x}{r} \frac{\partial}{\partial y} + \frac{yx}{r^2} - \frac{y}{r} \frac{\partial}{\partial x} \\ &= \frac{1}{r} (\hat{r} \times \frac{\partial}{\partial r})_z \end{aligned}$$

$$-\left(\frac{\partial}{\partial r} \times \frac{\vec{r}}{r}\right) \left(\frac{\vec{r}}{r} \times \frac{\partial}{\partial r}\right) = -\left(\frac{\vec{r}}{r} \times \frac{\partial^2}{\partial r^2}\right) \frac{1}{r} = \left(\frac{\vec{r}}{r} \times \frac{\partial^2}{\partial r^2}\right) = \frac{1}{r^2} \left(\frac{\vec{r}}{r} \times \frac{\partial^2}{\partial r^2}\right)^2$$

Also:

$$\hat{\vec{p}}^2 = \hat{p}_r^2 + \frac{\hat{\vec{L}}^2}{r^2} ; \quad \hat{p}_r = \pm \frac{1}{i} \frac{1}{r} \frac{\partial}{\partial r} r ; \quad \hat{\vec{L}} = \pm \frac{1}{i} \left(\vec{r} \times \frac{\partial}{\partial r} \right)$$

Damit ist SGL:

$$\left(\frac{\hat{p}_r^2}{2m} + \frac{\hat{\vec{L}}^2}{2mr^2} + u(r) \right) \psi(r) = E \psi(r)$$

○ Jetzt separationsweise, da nur $\hat{\vec{L}}$ von Winkel abhängt.

$$\psi(r) = R(r) Y(\theta, \varphi) ; \quad \hat{\vec{L}}^2 Y_\lambda = \ell^2 \lambda^2 Y_\lambda$$

$$\approx \left(-\frac{\hbar^2}{2m} \frac{1}{r} \frac{\partial^2}{\partial r^2} r + \frac{\hbar^2 \lambda^2}{2mr^2} + u(r) \right) R_\lambda(r) = E_\lambda R_\lambda(r)$$

$$\text{Gleich} \quad \approx R_\lambda(r) \equiv u_\lambda(r)$$

$$\approx \boxed{\left(-\frac{\hbar^2}{2m} \frac{\partial^2}{\partial r^2} + \frac{\hbar^2 \lambda^2}{2mr^2} + u(r) \right) u_\lambda(r) = E_\lambda u_\lambda(r)}$$

$$\psi(r) = \frac{1}{r} u_\lambda(r) Y_\lambda(\theta, \varphi) ; \quad \hat{\vec{L}}^2 Y_\lambda = \ell^2 \lambda^2 Y_\lambda$$

6.4. Der Drehimpuls und seine Eigenzustände

$$\hat{\vec{L}} = \hat{\vec{r}} \times \hat{\vec{p}} = \frac{i}{\hbar} (\vec{r} \times \frac{\partial}{\partial \vec{r}}), \text{ also } \hat{L}_x = \gamma \hat{p}_x - z \hat{p}_y, \dots$$

$$\sim [\hat{L}_x, \hat{x}] = 0; [\hat{L}_x, \hat{p}_x] = 0; [\hat{L}_y, \hat{y}] = 0; \dots$$

$$[\hat{L}_x, \hat{y}] = i \hbar \hat{z}, \dots$$

$$[\hat{L}_y, \hat{p}_x] = i \hbar \hat{p}_z, \dots$$

$$[\hat{L}_x, \hat{G}] = i \hbar \hat{L}_y, \dots$$

(zyklische Vertauschung der Indizes)

$$[\hat{L}_z, \hat{x}_0] = i \hbar \varepsilon_{ijk} \hat{x}_k$$

$$[\hat{L}_z, \hat{p}_0] = i \hbar \varepsilon_{ijk} \hat{p}_k$$

$$[\hat{L}_z, \hat{L}_i] = i \hbar \varepsilon_{ijk} \hat{L}_k$$

→ Verteilungskomponenten des Drehimpulses sind nicht vertauschbar!
 (= nicht gleichzeitig messbar)

$$\begin{aligned} [\hat{L}^2, \hat{L}_i] &= [\hat{L}_x^2 + \hat{L}_y^2 + \hat{L}_z^2, \hat{L}_i] \\ &= \hat{L}_x^2 \hat{L}_i - \hat{L}_i \hat{L}_x^2 + \hat{L}_y^2 \hat{L}_i - \hat{L}_i \hat{L}_y^2 \\ &= \hat{L}_x (\hat{L}_i \hat{L}_i - \hat{L}_i \hat{L}_x) - (\hat{L}_i \hat{L}_x - \hat{L}_x \hat{L}_i) \hat{L}_x + \hat{L}_y (\hat{L}_i \hat{L}_i - \hat{L}_i \hat{L}_y) \\ &\quad - (\hat{L}_i \hat{L}_y - \hat{L}_y \hat{L}_i) \hat{L}_y \\ &= \hat{L}_x (-i \hbar \hat{L}_y) - i \hbar \hat{L}_y \hat{L}_x + \hat{L}_y i \hbar \hat{L}_x + i \hbar \hat{L}_x \hat{L}_y \\ &= 0 \end{aligned}$$

$$[\hat{L}^2, \hat{G}] = [\hat{L}^2, \hat{L}_i] - [\hat{L}^2, \hat{L}_x] = 0$$

\hat{L}^2 und eine Drehsp.-Komponente sind gleichzeitig bestimbar,
 d.h. besitzen gemeinsames Eigenfkt.-System: $\hat{L}_z Y_m(\theta, \varphi) = \hbar m Y_m(\theta, \varphi)$
 $\hat{L}^2 Y_m(\theta, \varphi) = \hbar^2 l^2 Y_m(\theta, \varphi)$
 Man nennt Operatoren, deren Komp. aufeinander nicht vertauschen,
 den Betrag jedoch mit den Komponenten verbindet, drehimpuls-
artige Operatoren.

Kugelkoordinaten:

$$dx = \sin \theta \cos \varphi dr + r \cos \theta \cos \varphi d\theta + r \sin \theta \sin \varphi d\varphi$$

$$dy = \sin \theta \sin \varphi dr + r \cos \theta \sin \varphi d\theta + r \sin \theta \cos \varphi d\varphi$$

$$dz = \cos \theta dr + r \sin \theta d\theta$$

$$dr = \sin \theta \cos \varphi dx + \sin \theta \sin \varphi dy + \cos \theta dz$$

$$d\theta = \frac{1}{r} (\cos \theta \cos \varphi dx + \cos \theta \sin \varphi dy - \sin \theta dz)$$

$$d\varphi = \frac{1}{r \sin \theta} (-\sin \varphi dr + \cos \varphi dy)$$

$$\frac{\partial}{\partial x} = \sin \theta \cos \varphi \frac{\partial}{\partial r} + \frac{1}{r} \cos \theta \cos \varphi \frac{\partial}{\partial \theta} - \frac{\sin \varphi}{r \sin \theta} \frac{\partial}{\partial \varphi}$$

$$\frac{\partial}{\partial y} = \sin \theta \sin \varphi \frac{\partial}{\partial r} + \frac{1}{r} \cos \theta \sin \varphi \frac{\partial}{\partial \theta} + \frac{\cos \varphi}{r \sin \theta} \frac{\partial}{\partial \varphi}$$

$$\frac{\partial}{\partial z} = \cos \theta \frac{\partial}{\partial r} - \frac{\sin \theta}{r} \frac{\partial}{\partial \theta}$$

$$\hat{l}_z = x \hat{p}_y - y \hat{p}_x = \frac{1}{i} \left(+ \sin \theta \cos \varphi \frac{\partial}{\partial y} - + \sin \theta \sin \varphi \frac{\partial}{\partial x} \right) = \frac{1}{i} (\cos \varphi + \sin \varphi)$$

$$\curvearrowleft \quad \hat{l}_z = \frac{1}{i} \frac{\partial}{\partial \varphi}$$

EF von \hat{l}_z :

$$\frac{1}{i} \frac{\partial}{\partial \varphi} Y_{lm} = \tan Y_{lm} \rightsquigarrow Y_{lm}(\theta, \varphi) = e^{im\varphi} P_{lm}(\theta)$$

Wegen $Y_{lm}(\theta, \varphi) \neq Y_{lm}(\theta, \varphi \pm 2\pi)$ (Endlichkeit) folgt

$m = 0, \pm 1, \pm 2, \dots \rightsquigarrow \hat{l}_z$ hat Eigenwerte $(0, \pm 1, \pm 2, \dots) \cdot i$

Weiter: $\hat{l}^2 - \hat{l}_z^2 = \hat{l}_x^2 + \hat{l}_y^2 \geq 0$

$$\rightsquigarrow \lambda^2 - m^2 \geq 0, \quad \lambda^2 \geq m^2$$

Definieren neue Operatoren:

$$\hat{L}_- := \hat{L}_x - i\hat{L}_y, \quad \hat{L}_+ := \hat{L}_x + i\hat{L}_y \quad \Rightarrow \quad \hat{L}_+ = \hat{L}_-^*$$

$$[\hat{L}_z, \hat{L}_{\pm}] = i\hbar \hat{L}_y \pm \hbar \hat{L}_x = \pm \hbar \hat{L}_{\pm}$$

$$\hat{L}_{\pm} \hat{L}_{\mp} = \hat{L}^2 - \hat{L}_z^2 \pm \hbar \hat{L}_z$$

$$\hookrightarrow \hat{L}_z (\hat{L}_{\pm} Y_{lm}) = \hat{L}_{\pm} (\hat{L}_z \pm \hbar) Y_{lm} = \hbar (m \pm 1) (\hat{L}_{\pm} Y_{lm})$$

$$\hookrightarrow \underline{\hat{L}_{\pm} Y_{lm} \propto Y_{l,m \pm 1}} \quad \begin{matrix} \hat{L}_{\pm} \text{ erhält} \\ \text{ausdrückt } m \text{ um 1} \end{matrix}$$

(bei Anwendung auf Y_{lm})

Wegen $|m| < n$ folgt

$$\hat{L}_+ Y_{\lambda(\alpha)} = 0 \quad [\lambda] \text{ ist ganz Teil von } \alpha$$

$$\hat{L}_- Y_{\lambda(\alpha)} \neq 0.$$

Weiter: $\hat{L}_- \hat{L}_+ Y_{\lambda(\alpha)} = (\hat{L}_z^2 + \hat{L}_z^2 - \hbar \hat{L}_z) Y_{\lambda(\alpha)} = \hbar^2 (\lambda^2 - [\alpha]^2 - [\alpha]) Y_{\lambda(\alpha)}$

$$\hookrightarrow \lambda^2 = [\alpha] ([\alpha] + 1) \equiv \ell (\ell + 1) \quad \boxed{\ell \geq 0}$$

$$\underline{\ell = [\alpha] = 0, 1, 2, \dots}$$

Also: $\boxed{\hat{L}_z^2 Y_{lm}(0,\varphi) = \hbar^2 \ell (\ell + 1) Y_{lm}(0,\varphi) \quad \ell = 0, 1, 2, \dots}$

$$\hat{L}_z Y_{lm}(0,\varphi) = \pm m Y_{lm}(0,\varphi) \quad m = -\ell, \dots, +\ell \quad \begin{matrix} (2\ell+1) \\ \text{Werte} \end{matrix}$$

$$\boxed{Y_{lm}(0,\varphi) = e^{im\varphi} Y_{lm}(0)}$$

Ohne Reduzierung:

$$\hat{L}^2 = \frac{t^2}{\sin \theta} \frac{\partial}{\partial \theta} \sin \theta \frac{\partial}{\partial \theta} + \frac{t^2}{\sin^2 \theta} \frac{\partial^2}{\partial \varphi^2}$$

$$\hat{L}^2 Y_{lm}(\theta, \varphi) = \left(\frac{t^2}{\sin \theta} \frac{\partial}{\partial \theta} \sin \theta \frac{\partial}{\partial \theta} - \frac{t^2 m^2}{\sin^2 \theta} \right) Y_{lm}(\theta, \varphi)$$

$$P_{lm}(\theta) = (-1)^m i^l \sqrt{\frac{2em}{2} \frac{(l-m)!}{(l+m)!}} P_l^m(\cos \theta) \quad \text{für } m \geq 0$$

$$P_{l,-m}(\theta) = (-1)^m P_{l,m}(\theta) \quad \text{Legende-Poly.}$$

$$\int \sin \theta d\theta d\varphi Y_{lm}^* Y_{lm}(\theta, \varphi) = d_{ll} d_{mm} \quad \text{Normierung}$$

$$\text{Explicit: } Y_{00} = \frac{1}{\sqrt{4\pi}}$$

$$Y_{1,1} = \sqrt{\frac{3}{8\pi}} \sin \theta e^{i\varphi}; \quad Y_{1,0} = \sqrt{\frac{3}{4\pi}} \cos \theta; \quad Y_{1,-1} = \sqrt{\frac{3}{8\pi}} \sin \theta e^{-i\varphi}$$

6.5. Dreidimensionaler harmonischer Oszillator

$$\hat{H} = \frac{\hat{p}_x^2}{2m} + \frac{\hbar^2}{2} \omega_x^2 \hat{x}^2 \stackrel{\textcircled{A}}{=} \left(\frac{\hat{p}_x^2}{2m} + \frac{\hbar^2}{2} \omega_x^2 x^2 \right) + \left(\frac{\hat{p}_y^2}{2m} + \dots \right) + \left(\frac{\hat{p}_z^2}{2m} + \dots \right)$$

$$\stackrel{\textcircled{B}}{=} \frac{\hat{p}_x^2}{2m} + \frac{\hat{p}_y^2}{2m\omega^2} + \frac{\hbar^2}{2} \omega_z^2 z^2$$

$$\textcircled{A}: \psi(\vec{r}) = \psi_{v_x}(x) \psi_{v_y}(y) \psi_{v_z}(z)$$

$$E = E_x + E_y + E_z = \hbar \omega (v_x + v_y + v_z + \frac{3}{2})$$

$$\textcircled{B}: p \equiv \sqrt{\frac{m\omega}{\hbar}} r, \quad \varepsilon \equiv \frac{E}{\hbar \omega}; \quad \psi(r) = \frac{1}{\sqrt{\pi}} u(p) Y_{lm}(\theta, \varphi)$$

SCL: $\left(-\frac{d^2}{dp^2} + \frac{\ell(\ell+1)}{p^2} + p^2 \right) u(p) = 2\varepsilon u(p); \quad p \rightarrow 0: u \sim p^{\ell+1}$

Ausdr: $u(p) = Q(p) e^{-p^2/2}, \quad Q(p) = \sum_{v=1+\ell}^{\infty} c_v p^v$

$$\begin{aligned} u'' &= (Q'' - 2pQ' - Q \frac{d}{dp} p) e^{-p^2/2} \\ &= (Q'' - 2pQ' - Q(1-p^2)) e^{-p^2/2} \end{aligned}$$

Einfach: $-Q'' + 2pQ' + (1-p^2 + \frac{\ell(\ell+1)}{p^2} + p^2 - 2\varepsilon) Q = 0$

Koeffizienten: $\sum_{v=\ell+1}^{\infty} \left[-v(v-1) c_v p^{v-2} + 2vc_v p^v + (1-2\varepsilon) c_v p^v + \ell(\ell+1) c_v p^{v+2} \right] = 0$

$$\sim [(\nu+1)(\nu+1) - \ell(\ell+1)] c_{\ell+2} = (2\nu+1-2\varepsilon) c_{\ell+2}$$

Reihe nach p abbrechen. $2\nu+1-2\varepsilon = 0 \quad \text{für } \nu = \underbrace{\ell+1+2n}_{\text{start}} \quad (\text{Def } n)$

Dann $c_{\ell+3+2n} = 0$

$\sim 2\ell+3+4n = 2\ell \quad \sim$

$$\boxed{\varepsilon = 2n + \ell + \frac{3}{2}, \quad E = \hbar \omega (2n + \ell + \frac{1}{2})}$$

$n, \ell = 0, 1, 2, \dots$

ε	$\frac{3}{2}$	$\frac{5}{2}$	$\frac{7}{2}$	
$v_x v_y v_z$	000	100 010 001	200 110 101	020 011 002
$n \ell m$	000	01-1 010	100 02-1	020 021

7. Wasserstoffatom

7.1. Problemstellung: natürliche Einheiten

Zentralkraftproblem wie Kap 6, mit $U(r) = -\frac{e^2}{r}$, $e^2 = \frac{e^2}{4\pi\epsilon_0}$,
Relativkoord $\vec{r} = (r, \theta, \varphi)$ wie oben.

$$\psi(\vec{r}) = \frac{1}{r} u_{nl}(r) Y_m(\theta, \varphi), \quad l^2 Y_m = t^2 (\ell(\ell+1) Y_m)$$

$$l_z Y_m = t_m Y_m$$

$$\left(-\frac{\hbar^2}{2m} \frac{d^2}{dr^2} + \frac{\hbar^2 \ell(\ell+1)}{2mr^2} - \frac{e^2}{r} \right) u_{nlc}(r) = E_{nl} u_{nl}(r)$$

Atomare Einheiten: (a.u.)

$$m = 3.108 \cdot 10^{-31} \text{ kg}$$

$$e = -1.519 \cdot 10^{-19} (\text{Vsm})^{1/2} \quad (= \sqrt{4\pi\epsilon_0})$$

$$t = 1.054 \cdot 10^{-34} \text{ Js}^2$$

$$a_0 = \frac{t^2}{m e^2} = 0.529 \text{ \AA} \quad (\text{Bohr-Radius})$$

$$E_0 = \frac{e^2}{a_0} = \frac{me^4}{4\pi\epsilon_0} = 27.21 \text{ eV} = 4.36 \cdot 10^{-18} \text{ J} \quad (\text{Hartee})$$

$$v_0 = \frac{e^2}{t} = \alpha c = \frac{e}{137.04} = 2.188 \cdot 10^6 \text{ s}^{-1} \quad (\alpha = \text{Fermatius-Konstante})$$

$$t_0 = \frac{a_0}{v_0} = \frac{t^3}{m e^4} = 2.42 \cdot 10^{-17} \text{ s}$$

$$\mu_B = \frac{et}{2m} = 0.927 \cdot 10^{-23} \text{ A m}^2 \quad (\text{Belobiges Magneton})$$

All dies: \tilde{m} Massen in Einheiten von m : $\tilde{m} = M/m$
 Ladungen \tilde{e} : $\tilde{e} = Q/e$
 Längen \tilde{a}_0 : $\tilde{a}_0 = r/a_0$

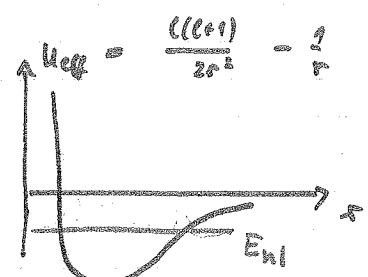
$$\tilde{m} = \tilde{e} \cdot \tilde{t} = \tilde{a}_0 = \tilde{E}_0 = \tilde{v}_0 = \tilde{t}_0 = \tilde{\mu}_B = 1$$

Wichtige Zahlen: $a_0 = 0.5 \text{ \AA}$, $E_0 = 2 \text{ Rydberg} = 27 \text{ eV}$, $c = 137 v_0$

(a.u.) $\left(-\frac{1}{2} \frac{d^2}{dr^2} + \frac{\ell(\ell+1)}{2r^2} - \frac{1}{r} \right) u_{nlc}(r) = E_{nl} u_{nl}(r)$

7.2. Lösung der radialen Gleichung durch Reihenansatz

Gebundene Zustände $E_{nl} < 0$



$$r \rightarrow 0: -\frac{d^2u}{dr^2} + \frac{l(l+1)}{r^2} u = 0 \quad \sim u \sim r^{l+1}$$

$$r \rightarrow \infty: -\frac{d^2u}{dr^2} = 2E_{nl} \quad \sim u \sim e^{-\sqrt{2|E_{nl}|}r}$$

Ausah:

$$u_{nl}(r) = e^{-\sqrt{2|E_{nl}|}r} \sum_{v=0}^{\infty} c_v r^v$$

$$u''_{nl} = \sum_{v=0}^{\infty} \left(-2E_{nl} - 2(v+1)\sqrt{2|E_{nl}|} \frac{1}{r} + (l+1+v)(l+v) \frac{1}{r^2} \right) \times e^{-\sqrt{2|E_{nl}|}r} c_v r^{l+1+v}$$

Einsetzen:

$$\sum_{v=0}^{\infty} \left((l+v)\sqrt{2|E_{nl}|} \frac{1}{r} - \frac{(l+1+v)(l+v)}{2} \frac{1}{r^2} + \frac{l(l+1)}{2} \frac{1}{r^2} - \frac{1}{r} \right) c_v r^{l+1+v} = 0$$

$$\sum_{v=0}^{\infty} r^{l+v} \left([(l+1+v)\sqrt{2|E_{nl}|} - 1] c_v - \frac{1}{2} \underbrace{[(l+2+v)(l+1+v) - l(l+1)]}_{(2v+2+l)(v+1)} c_{v+1} \right) = 0$$

Jeder Summand muß 0 sein.

$$\therefore c_{v+1} = c_v \quad 2$$

$$\frac{\sqrt{2|E_{nl}|} (l+1+v)}{(2v+2+l)(v+1)} = 1$$

$$\text{Für } v \rightarrow \infty \text{ hilft das } c_{v+1} \approx c_v \frac{2\sqrt{2|E_{nl}|}}{v} .$$

$$\text{Normierung: } \sum_v \frac{(2\sqrt{2|E_{nl}|})^v}{v!} = e^{2\sqrt{2|E_{nl}|}}$$

$$\therefore u_{nl} \sim e^{\sqrt{2|E_{nl}|}} \text{ nicht normierbar!}$$

Normierbarkeit erfordert Abbrechen der Potenzreihe!

Abschluß heißt: $\sqrt{2(E_{\text{hf}})} (l+1+g) = \frac{1}{2} + 1$

$$\approx E_{\text{hf}} = -\frac{1}{2(l+1)^2} = -\frac{1}{2n^2} \quad (\times \frac{\infty}{\infty})$$

$\uparrow 27.2 \text{ eV (Hartes)}$

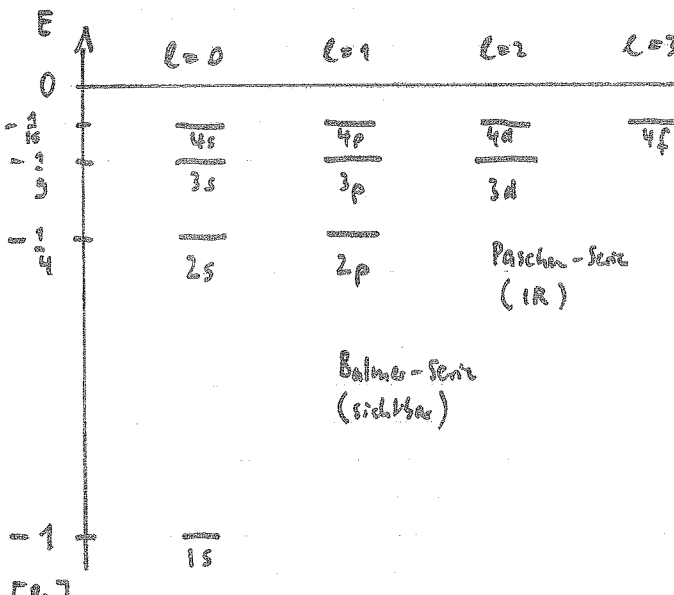
$= 2 \times 13.6 \text{ eV (Lyman)}$

Diese Gleichung definiert die Hauptquantenzahl n .

Die $\sum_l c_n r^l$ - Terme aus der radiale Gleichung ergeben

die Legende-Polynome; radiale Wf ist $R_n(r) = \frac{1}{r} u_n(r)$.

Energieschalen: $(n = 1, 2, 3, \dots ; l = 0, \dots, n-1 ; m = -l, \dots, l)$



$E = -\frac{Ry}{n^2}$	$Hartes$
$E = -\frac{13.6 \text{ eV}}{n^2}$	$Lyman$

Übergänge: Lyman-Serie
(UV bis sichtbar)

$$\Delta E = \frac{1}{2} - \frac{1}{2n^2}$$

m -Entartung: E unabh. von m \rightsquigarrow $\begin{array}{ll} l=0 & \text{nicht} \\ l=1 & \text{dreiach} \\ l=2 & \text{fünffach} \\ \vdots & \end{array}$ entartet
(folgt aus Kugelfun.)

l -Entartung: E unabh. von $g+l+1 \leq n$ abh. \rightsquigarrow zu jedem n gleicher l -Wert

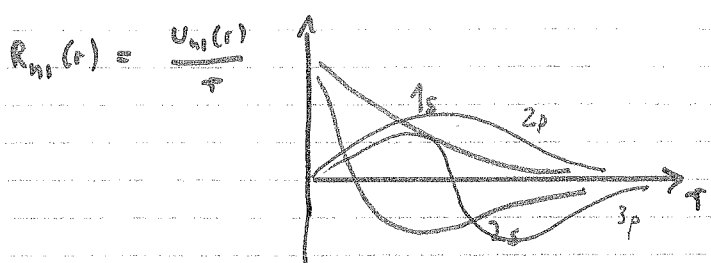
(speziell für 1_p -Ort.)

\rightsquigarrow totale Entartung ist $\sum_{l=0}^{n-1} (2l+1) = n^2$

Zweidimensionale Erhaltungsgröße (Kugel-Mom.):

$$\hat{L} = \frac{1}{i} (\hat{x} \times \hat{p}_x - \hat{y} \times \hat{p}_y) = \frac{e^2 \tau}{2\pi} ; [L, H] = 0$$

Wellenfkt.:



1s - Wellenfkt.:

$$u_{1s}(r) \approx e^{-\frac{r}{a_0}} + C_0$$

Normierung: $\int d^3r \left| \frac{u_{1s}}{r} \right|^2 \stackrel{!}{=} 1 = 4\pi C_0^2 \int dr r^2 e^{-2r/a_0}$

$$\psi_{1s} = \frac{1}{\sqrt{\pi}} e^{-r/a_0}$$

$$\langle \psi \rangle_{1s} = \int d^3r \psi_{1s}^* \psi_{1s} = 4 \int dr r^2 e^{-2r/a_0} = \frac{3}{2} (a_0)$$

$$\langle \psi^2 \rangle_{1s} = 1 = -\langle \psi \rangle_{1s}$$

$$\langle T \rangle_{1s} = E - \langle U \rangle_{1s} = \frac{1}{2} = \frac{m}{2} \langle v^2 \rangle_{1s}$$

$$\langle v^2 \rangle_{1s} = 1 (v_0^2)$$

Kernladungszahl \boxed{Z} $\sqrt{2|E_{1s}|} (e+1+\epsilon) \approx 2$

$$E_{nc} = \frac{Z^2}{2n^2}$$

$$\langle v^2 \rangle_{1s}^{1/2} = 2 \text{ für } Z = 137 :$$

$$\langle v^2 \rangle^{1/2} = c$$

\rightarrow n-rel. RM nicht gültig für
große Z

7.3. Optische Übergänge und Auswahlregeln

Atom \leftrightarrow El. mag. Feld

Ket, side Kap 8

Zustand $|n\ell m\rangle$, z.B.

$$|210\rangle \rightarrow |100\rangle \text{ mit Emission eines Photons}$$

Sanson Theorie erfordert Quantisierung des el. mag. Feldes \rightarrow Theo E (nötig für spontane & induzierte Emission)

„Hab.-q.m.“ Theorie behandelt Feld klassisch.

○ Speziell homogenes el. Feld (für sichtbares Licht $\lambda = 500\text{ nm}$ ist $\lambda \gg a \Rightarrow$ „fast“ homogen)

\rightarrow Feldbeitrag zum Hamilton-Op:

$$H_f = e \vec{E} \cdot \vec{\tau} \quad (\text{Dipolfeld}) \quad (\text{und } e^{\frac{i\vec{p}\vec{r}}{\hbar}} \approx 1 + \frac{i\vec{p}\vec{r}}{\hbar} + \dots)$$

$\delta p_i \propto$

Wir werden später sehen, daß Übergangsrate gegeben wird durch Dipolmomente

$$\left| \int d^3r \psi_{final}^*(r) H_f \psi_{initial}(r) \right|^2$$

○ Hier sind also Dipolmetrische Elemente relevant:

$$\left| \int d^3r \psi_f^* \cdot \psi_i \right|^2$$

Aus den Eigenschaften der Kugelflächen folgt, dass es nur von Null verschiedene Beiträge gibt, wenn sich ψ_f und ψ_i unterscheiden durch

$$\Delta l = \pm 1$$

$$\Delta m = 0, \pm 1$$

Dipol-

Auswahlregeln.

8. Quantentheorie im Hilbert-Raum

8.1. Hilbert-Raum (linearer euklidischer Raum)

quantenmech. Zustand $\psi(x)$ mit $\int dx |\psi(x)|^2 < \infty$

$$\langle \phi | \psi \rangle = \int dx \phi^*(x) \psi(x)$$

[\mathcal{H} ... komplexer linearer Vektorraum]

- $|x\rangle, |y\rangle \in \mathcal{H}, \langle x| + \beta |y\rangle \in \mathcal{H} (\alpha, \beta \in \mathbb{C})$

- \mathcal{H} ist Raum mit Skalarprodukt $\langle x|y \rangle$

$$\langle x|x \rangle \geq 0 ; \quad \langle x|x \rangle = 0 \iff |x\rangle = 0$$

$$\langle x|(|y\rangle + |z\rangle) \rangle = \langle x|y \rangle + \langle x|z \rangle$$

$$\langle x|(\alpha y) = \alpha \langle x|y \rangle$$

$$\langle x|y \rangle = \langle y|x \rangle^*$$

- \mathcal{H} ist normierter Raum

$$\|x\| = \sqrt{\langle x|x \rangle}$$

$$|x\rangle, |y\rangle \text{ orthogonal} \iff \langle x|y \rangle = 0$$

$$\text{Orthonormalsystem } \{|x_i\rangle\} : \langle x_i|x_j \rangle = \delta_{ij}$$

- Pythagoreischer Theorem

$$\|x\|^2 = \sum_{i=1}^n |\langle x|x_i \rangle|^2 + \left\| |x\rangle - \sum_{i=1}^n |x_i\rangle \langle x_i|x \rangle \right\|^2 \\ = 0 \quad \text{falls } \{|x_i\rangle\} \text{ vollständig}$$

Beweis:

$$|x\rangle = \underbrace{\sum_{i=1}^n |x_i\rangle \langle x_i|x \rangle}_{|y\rangle} + \underbrace{(|x\rangle - \sum_{i=1}^n |x_i\rangle \langle x_i|x \rangle)}_{|z\rangle}$$

$$\langle x|x \rangle = \langle y|y \rangle + \langle z|z \rangle \quad (\text{wegen } \langle y|z \rangle = 0)$$

$$\langle y|y \rangle = \sum_i \underbrace{\langle x_i|x \rangle^*}_{\delta_{ij}} \underbrace{\langle x_i|x_j \rangle}_{\langle x_j|x \rangle} = \sum_i |\langle x_i|x \rangle|^2$$

• Folge 1: Besselsche Ungleichung

$$\|x\|^2 \geq \sum_i |\langle x | x_i \rangle|^2 \quad (= \text{falls } \{x_i\} \text{ vollständig})$$

• Folge 2: Schwarzsche Ungleichung

$$|\langle x | y \rangle| \leq \|x\| \|y\|$$

Beweis: Beweis mit $\langle x_i | y \rangle = \frac{\langle y | x_i \rangle}{\|x_i\|}$

$$\Rightarrow \|x\|^2 \geq \left| \langle x | y \rangle / \|y\| \right|^2 = \frac{|\langle x | y \rangle|^2}{\|y\|^2}$$

• Folge 3: Dreiecksungleichung

$$\|x+y\|^2 \leq (\|x\| + \|y\|)^2$$

Beweis: $\|x+y\|^2 = \langle x | x \rangle + \underbrace{\langle y | y \rangle + \langle y | x \rangle + \langle x | y \rangle}_{2 \operatorname{Re} \langle x | y \rangle}$

$$\leq \langle x | x \rangle + 2 |\langle x | y \rangle| + \langle y | y \rangle$$

$$\leq \|x\|^2 + 2 \|x\| \|y\| + \|y\|^2$$

• \mathcal{X} ist vollständiger Raum

$$\lim_{n,m \rightarrow \infty} \|x_n - x_m\| = 0 \quad \text{Cauchy-Folge}$$

mit $\lim_{n \rightarrow \infty} \langle x_n | \rangle \in \mathcal{X}$

• Orthonormalsystem $\{x_i\}$ ist vollständig, wenn für jeden $|x\rangle \in \mathcal{X}$ gilt

$$|x\rangle = \sum_i |x_i\rangle \langle x_i | x \rangle \quad \text{d.h.} \quad \sum_i |x_i\rangle \langle x_i | = 1$$

• Lineare Operatoren

$$\hat{A}(\alpha |x\rangle + \beta |y\rangle) = \alpha \hat{A}|x\rangle + \beta \hat{A}|y\rangle$$

$$\langle x | \hat{A}y \rangle = \langle \hat{A}^*x | y \rangle \quad \text{Hilfsoperator}$$

$$\hat{A}|a\rangle = |a\rangle \quad \text{Eigenwert} \quad \hat{A}|v\rangle = \alpha |v\rangle \quad \text{Eigenvektor}$$

$$\hat{u}^\dagger \hat{u} = \hat{u} \hat{u}^\dagger = 1$$

Unitärer Operator

$$\langle \hat{u}x | \hat{u}y \rangle = \langle x | \hat{u}^\dagger \hat{u}y \rangle = \langle x | y \rangle$$

- Dualer Raum

Bisher: $|x\rangle$ Vektor aus \mathcal{X} .

$\langle l|$ nur über Skalarprodukt definiert: $\langle x|y\rangle$

Man kann die $\langle l|$ als Vektoren eines dualen Raums auffassen.

Jedem $|x\rangle$ ist ein $\langle x|$ zugeordnet.

[In einer Basisdarstellung können die Ketts als Spaltenvektoren und die Bras, als Zeilenvektoren aufgefasst werden, $|x\rangle = \begin{pmatrix} x_1 \\ \vdots \\ x_n \end{pmatrix}$, $\langle x| = (x_1^*, \dots, x_n^*)$.]

Aus den Rechenregeln für das Skalarprodukt folgt: $|ax\rangle = a|x\rangle$
 $\langle ax| = \langle x|a^*$.

- Matrixdarstellung eines Operators

\hat{A} ist definiert durch Wirkung auf Vektor.

Mit vollständiger Basis $\{|x_i\rangle\}$:

$$\hat{A}|x\rangle = \sum_{ii'} |x_i\rangle \underbrace{\langle x_i| \hat{A} |x_{i'}\rangle}_{\text{Projektor auf } |x_i\rangle} \langle x_{i'}|x\rangle$$

$|x_i\rangle \langle x_i| = P_i$: Projektor auf $|x_i\rangle$

$$= \sum_{ii'} |x_i\rangle A_{ii'} \langle x_{i'}|x\rangle$$

$$\hat{A} = \sum_{ii'} |x_i\rangle A_{ii'} \langle x_{i'}| ; \quad A_{ii'} = \langle x_i| \hat{A} |x_{i'}\rangle$$

- Spur eines Operators:

$$\text{Tr } \hat{A} = \sum_i \langle x_i | \hat{A} | x_i \rangle = \sum_i A_{ii}$$

$\{|x_i\rangle\}$ vollst. Ord. normalbasis

[$\text{Tr } \hat{A}$ ist invariant unter Basiswf.]

8.2. Quantenmechanischer Zustand als normierter Hilbert-Vektor

Hilbert-Vektor

- QM Zustand $|\psi\rangle$ mit $\langle\psi|\psi\rangle = 1$
- Observable \hat{A} mit $\hat{A} = \hat{A}^*$
- Messung von \hat{A} : Transformation von $|\psi\rangle$ zu $|\psi'\rangle$ mit $A|\psi'\rangle = a|\psi'\rangle$
Dabei: $p_a(\psi) = |\langle\psi|\psi'\rangle|^2$ ist Wahrscheinlichkeit, EW a zu messen
- Aus $\hat{A} = \hat{A}^*$: $\langle a|\psi'\rangle = \delta_{aa'} \quad \sum |\psi\rangle \langle\psi| = 1$
- $\circ \hat{A} = 1 \hat{A} 1 = \sum_{a,a'} |\psi\rangle \underbrace{\langle\psi|A|\psi'\rangle}_{\delta_{aa'}} |\psi'\rangle = \sum |\psi\rangle a \langle\psi|$ Operator diagonalistisch
- $\circ \langle A \rangle_\psi = \sum_a p_a(\psi) a = \sum |\langle\psi|\psi'\rangle|^2 a = \sum \langle\psi|\psi'\rangle a \langle\psi|\psi'\rangle = \langle\psi|A|\psi\rangle$

Die Darstellung der QM im Hilbert-Raum ist nicht eindeutig, sondern nur bestimmt bis auf globale (im ganzen Raum konstante) unitäre Transformationen. ("Eichinvariante")

$$\hat{U} \text{ unitär}, \hat{U}^* \hat{U} = \hat{U} \hat{U}^* = 1$$

$$\text{Traf.: } |\psi\rangle \rightarrow \hat{U} |\psi\rangle \quad \hat{A} \rightarrow \hat{U} \hat{A} \hat{U}^* \quad \nmid |\psi\rangle, \hat{A}$$

$$\hookrightarrow \langle \hat{U} \psi | \hat{U} \phi \rangle = \langle \psi | \hat{U}^* \hat{U} \phi \rangle = \langle \psi | \phi \rangle$$

$$\langle \hat{U} \psi | \hat{U} \hat{A} \hat{U}^* | \hat{U} \phi \rangle = \langle \psi | \hat{U}^* \hat{U} \hat{A} \hat{U}^* \hat{U} \phi \rangle = \langle \psi | A \phi \rangle,$$

8.3. Zeitablauf ; Bilder

Zustand $|+\psi(t)\rangle$ mit $\langle +|\psi(t)|+\psi(t)\rangle = 1 \quad \forall t$

Zeitentwicklungsoperator \hat{U} :

$$|+\psi(t)\rangle = \hat{U}(t-t') |+\psi(t')\rangle$$

Multipikativ: $\hat{U}(t-t'') = \hat{U}(t-t') \hat{U}(t'-t'')$

$$\text{denn: } |+\psi(t)\rangle = \hat{U}(t-t') |+\psi(t')\rangle = \hat{U}(t-t') \hat{U}(t'-t'') |+\psi(t'')\rangle \\ \vdots \hat{U}(t-t'') |+\psi(t'')\rangle \quad /$$

$$\hat{U}(\div t) = [\hat{U}(t)]^{-1}, \quad \hat{U}(t=0) = 1$$

~ Die $\hat{U}(t)$ bilden (euklidische) Lie-Gruppe.

Die $\hat{U}(t)$ sind unitär.

Von früher:

$$|\psi_E(t)\rangle = e^{-iE(t-t')/\hbar} |\psi_E(t')\rangle$$

Außerdem will wir: $e^{i\hat{A}}$ ist unitär, wenn \hat{A} hermitesch ist.

$$((e^{i\hat{A}})^+ = e^{-i\hat{A}^*} = e^{-i\hat{A}} = (e^{i\hat{A}})^{-1})$$

Also:

$$\begin{aligned} \hat{U}(t-t') &= \exp(-\frac{i}{\hbar}(t-t') \hat{H}) \\ it \frac{\partial}{\partial t} |\psi\rangle &= \hat{H} |\psi\rangle, \quad |\psi\rangle = |\psi(t)\rangle \end{aligned}$$

Schrödinger-Bild

Alternativ: Trafo des gesamten Raumes mit $\hat{U}(-t)$

~ Hilber-Vektor zeitunabh., dafür Operat. zeitabh.

$$\hat{A}(t) = \hat{U}^*(t-t') \hat{A}(t') \hat{U}(t-t')$$

$$it \frac{\partial}{\partial t} \hat{A} = [\hat{H}, \hat{A}], \quad |\psi\rangle \text{ zeitunabh.} \quad \text{Bild}$$

Offensichtlich: $\langle A \rangle(t) = \langle \psi | \hat{U}^*(t) \hat{A} \hat{U}(t) | \psi \rangle$ unabh. vom Bild

Später: Wechselwirkungsbild, siehe Störungstheorie ($H = H_0 + H_1$, H_1 vell. treuen)

8.4. Darstellungen (Koordinatenwahl)

Entwickeln von WF und Op. nach (diskreten) Eigenzuständen (von H):

$$\hat{H} |n\rangle = E_n |n\rangle$$

$$|\psi\rangle = \sum_n |n\rangle \langle n|\psi\rangle = \sum_n |n\rangle c_n$$

$$\hat{A} = \sum_{m,n} |m\rangle \langle m| \hat{A} |n\rangle \langle n| = \sum_{m,n} |m\rangle A_{m,n} \langle n|$$

„Heisenberg - Darstellung“

Entwickeln nach Orteigenenständen:

$$\hat{z}^* | \hat{z} \rangle = | \hat{z} \rangle, \quad \langle \hat{z}^* | \hat{z}' \rangle = \delta(\hat{z} - \hat{z}'),$$

$$= \{d\hat{z}'' \delta(\hat{z} - \hat{z}'') + \delta(\hat{z}' - \hat{z}'')\}$$

$$\{d\hat{z}^*, | \hat{z} \rangle \langle \hat{z} | = 1\}$$

$$|\psi\rangle = \int d^3r |r\rangle \underbrace{\langle r| \psi\rangle}_{\psi(r)}, \quad \psi(r) = \langle r| \psi\rangle$$

$$(\hat{A}\psi)(\vec{r}) = \langle \vec{r} | A \psi \rangle = \int d^3r_1 d^3r_2 \langle \vec{r} | \vec{r}_1 \rangle \langle \vec{r}_1 | A | \vec{r}_2 \rangle \langle \vec{r}_2 | \psi \rangle$$

$$= \int d^3r_2 \underbrace{\langle \vec{r} | A | \vec{r}_2 \rangle}_{\text{Matrixel von } \hat{A}} \psi(\vec{r}_2)$$

Schrödinger - Darstellung

$$\text{z.B. Impulseoperator} \quad \langle \hat{F} | \hat{p}_i^{\dagger} | \psi_i \rangle = \int_{-\infty}^{t_i} \delta(\tau - \tau_i) \frac{\partial}{\partial \tau}$$

$$\begin{aligned} (\hat{P} \psi)(t) &= (d^2/dt^2) \langle \hat{x} | \hat{\psi}(t) \rangle + \langle \hat{x} | \\ &= \frac{1}{m} \frac{d^2}{dt^2} \psi(t) \quad // \end{aligned}$$

8.5. Unschärferelation

2 Observable \hat{A}, \hat{B} mit

$$[\hat{A}, \hat{B}] = i\hat{c}$$

km: \hat{A}, \hat{B} hermitisch $\sim \hat{c}$ hermitisch, denn:

$$-i\hat{c}^+ = (\hat{A}\hat{B} - \hat{B}\hat{A})^+ = \hat{B}^+\hat{A}^+ - \hat{A}^+\hat{B}^+ = -[\hat{A}, \hat{B}] //$$

Quarkfluktuationen von \hat{A} und \hat{B} in sel. Zustand $|v\rangle$:

$$\langle \Delta A \rangle^2 = \underbrace{\langle (\hat{A} - \langle \hat{A} \rangle)^2 \rangle}_{\text{hermitisch}} = \underbrace{\langle (\hat{A} - \langle \hat{A} \rangle)_{+u} | (\hat{A} - \langle \hat{A} \rangle)_{+u} \rangle}_{u} = \langle u|u \rangle$$

$$\langle \Delta B \rangle^2 = \langle (\hat{B} - \langle \hat{B} \rangle)^2 \rangle = \langle v|v \rangle$$

$$\langle \Delta A \rangle^2 \langle \Delta B \rangle^2 = \langle u|u \rangle \langle v|v \rangle \geq |\langle u|v \rangle|^2 \geq (\text{Im } \langle u|v \rangle)^2$$

Schwierige H.s.!

$$= \left(\text{Im} \langle (\hat{A} - \langle \hat{A} \rangle)_{+u} | (\hat{B} - \langle \hat{B} \rangle)_{+v} \rangle \right)^2$$

$$= \left(\text{Im} \langle \langle \hat{A}\hat{B} \rangle - 2\langle \hat{A} \rangle \langle \hat{B} \rangle + \langle \hat{A} \rangle \langle \hat{B} \rangle^* \rangle \right)^2$$

\text{Im}(1=0)

$$= \left(\text{Im} \langle \hat{A}\hat{B} \rangle \right)^2$$

$$\langle \hat{A}\hat{B} \rangle = \langle +|\hat{A}\hat{B}|+ \rangle = \langle \hat{B}\hat{A}|+ \rangle = \langle +|\hat{B}\hat{A}|+ \rangle^* = \langle \hat{B}\hat{A} \rangle^*$$

$$\begin{aligned} \text{Im} \langle \hat{A}\hat{B} \rangle &= \frac{1}{2i} (\langle \hat{A}\hat{B} \rangle - \langle \hat{A}\hat{B} \rangle^*) = \frac{1}{2i} (\langle \hat{A}\hat{B} \rangle - \langle \hat{B}\hat{A} \rangle) \\ &= \frac{1}{2i} \langle [\hat{A}, \hat{B}] \rangle = \frac{1}{2} \langle \hat{c} \rangle \end{aligned}$$

Zusammen:

$$\Delta A \cdot \Delta B \geq \frac{1}{2} |\langle \hat{c} \rangle|$$

8.6. Konstruktion von Eigenzuständen

Hermitester Operator: $\hat{A} = \hat{A}^*$, $\hat{A}|a\rangle = a|a\rangle$

Betrachte Operatoren mit $[\hat{A}, \hat{C}_\pm] = \pm \hat{C}_\pm$, $\hat{C}_+ = \hat{C}_-^\dagger$

$$\sim \hat{A}(\hat{C}_-|a\rangle) = \hat{C}_-(\hat{A}-1)|a\rangle = (a-1)\hat{C}_-|a\rangle$$

d.h. $\hat{C}_-|a\rangle$ ist Eigenvektor mit EW $(a-1)$.

$$\hat{A}(\hat{C}_+|a\rangle) = \hat{C}_+(\hat{A}+1)|a\rangle = (a+1)\hat{C}_+|a\rangle$$

$\sim \hat{C}_+$ Erzeugungsoperator, \hat{C}_- Vernichtungsoperator

Aus einem EV $|a\rangle$ können Familien von EV in EV $a \pm n$ konstruiert werden:

$$|a \pm n\rangle = \frac{\hat{C}_\pm^n |a\rangle}{\sqrt{\langle \hat{C}_\mp^n a | \hat{C}_\pm^n a \rangle}} = \frac{\hat{C}_\pm^n |a\rangle}{\sqrt{\langle a | \hat{C}_\mp^\dagger \hat{C}_\pm^n |a\rangle}}$$

Wenn EW-Spektrum von \hat{A} nach unten beschränkt ist, dann existiert $|0\rangle$ mit $\hat{C}_-|0\rangle = 0$. $|0\rangle$ ist dann der „Vakuum“-Zustand.

Bsp: Falls $[\hat{A}, \hat{C}_\pm] = \pm \hat{C}_\pm$,

dann ergibt nur EV mit EW $|a \pm n \cdot c\rangle$.

9. Symmetrien in der QM

9.1. Symmetrietransformationen

Symmetrietransformationen sind in der QM im allgemeinen durch
lineare Operatoren darstellbar.

Beispiele diskreter Symmetrien

$$\text{Rauminvolution: } \hat{I} \psi(\vec{r}) = \psi(-\vec{r})$$

$$\hat{I} (\alpha \psi_1(\vec{r}) + \beta \psi_2(\vec{r})) = \alpha \psi_1(-\vec{r}) + \beta \psi_2(-\vec{r}) = \alpha I \psi_1(\vec{r}) + \beta I \psi_2(\vec{r})$$

$$\begin{aligned} \text{Spiegelung an der } y=z\text{-Ebene: } \hat{I}_x \psi(x, y, z) &= \psi(-x, y, z) \\ \hat{I} &= \hat{I}_x \hat{I}_y \hat{I}_z \end{aligned}$$

$$180^\circ\text{-Drehung um } y\text{-Achse: } \hat{D}_y \psi(x, y, z) = \psi(-x, y, -z)$$

Eigenschaften von \hat{I} :

$$\hat{I} \hat{I} = 1, \quad \hat{I} = \hat{I}^{-1}$$

$$\begin{aligned} \int d^3r (\hat{I} + \phi(r))^* \psi(\vec{r}) &= \int d^3r \phi^*(\vec{r}) \hat{I} \psi(\vec{r}) = \int d^3r \phi^*(\vec{r}) + (-\vec{r}) \\ &= \int d^3r \phi^*(-\vec{r}) + (\vec{r}) = \int d^3r (\hat{I} \phi(r)^* \psi(\vec{r})) \end{aligned}$$

$$\boxed{\hat{I}^* = \hat{I} = \hat{I}^{-1}} \quad \hat{I} \text{ ist unitär}$$

Zeitinversion:

$$\psi(t) = e^{-i/\hbar t \hat{H}} \psi(0)$$

$$\begin{aligned} \hat{T}\psi(t) &= \tilde{\psi}(t) \quad \text{Modifikationen: } \langle \hat{p} \rangle \rightarrow -\langle \hat{p} \rangle \text{ etc.} \\ &= e^{i/\hbar t \hat{H}} \tilde{\psi}(0) = e^{i/\hbar t \hat{H}} \hat{T}\psi(0) \end{aligned}$$

(ausdrücklich: Zeitumkehr & def. bed. unverändert!)

Aus $\hat{T}e^{-i/\hbar t \hat{H}} = e^{+i/\hbar t \hat{H}} \hat{T}$

folgt $-\hat{T}i\hat{H} = i\hat{H}\hat{T}$

Falls \hat{T} linear: $-\hat{T}\hat{H} = \hat{H}\hat{T}$

$$\sim \hat{H}\hat{T}\psi_E = -\hat{T}\hat{H}\psi_E = -E\hat{T}\psi_E$$

D.h. wenn \hat{T} linear wäre, dann würde \hat{T} bei Zeitumkehr auch $E \rightarrow -E$ folgen.

Wir verstehen die Zeitumkehr als $t \rightarrow -t$, $\hat{p} \rightarrow -\hat{p}$, $E \rightarrow E$

$$\begin{aligned} \hat{T}\hat{H} &= \hat{H}\hat{T} & \hat{T} \text{ ist Antilinearer Operator} \\ -\hat{T}i &= i\hat{T} \end{aligned}$$

$$\hat{T}(\alpha\psi_1 + \beta\psi_2) = \alpha^* \hat{T}\psi_1 + \beta^* \hat{T}\psi_2 \quad \text{Antilinear}$$

Weiter: \hat{T} kann gradiert werden als

$$\boxed{\hat{T} = \hat{U}\hat{K}, \hat{U}^\dagger = \hat{U}^{-1}} \quad \text{antihilfär}$$

mit \hat{K} : $\hat{K}\psi(r) = \psi^*(r)$, $\hat{K}|q\rangle = \langle +1$

$$\hat{K}\hat{A}\hat{K} = \hat{A}^+$$

\hat{K} : Kramers-Operator

Beispiele kontinuierlicher Symmetrien:

$$\begin{aligned} \text{Translation } u = \vec{a}: \hat{V}_{\vec{a}}\psi(r) &= \psi(r+\vec{a}) = \sum_n \frac{1}{n!} (\vec{a} \cdot \frac{\partial}{\partial r})^n \psi(r) \\ &= e^{i/\hbar \vec{a} \cdot \hat{p}} \psi(r) = e^{i/\hbar \vec{a} \cdot \vec{p}} \psi(r) \end{aligned}$$

$$\hat{V}_{\vec{a}} = e^{i/\hbar \vec{a} \cdot \hat{p}}$$

$$\hat{V}_a^+ = \hat{V}_{-a}^{-1} = \hat{V}_{-a} \text{ unitär}$$

9.2. Symmetriegruppe eines Quantensystems

Symmetrioperatoren \hat{S}

Hamilton-Op. invariant unter \hat{S} : $\hat{S}^\dagger \hat{H} \hat{S} = \hat{H} \hat{S}^\dagger \hat{S}$, $[\hat{H}, \hat{S}] = 0$

Eigenwerte: $[\hat{H}, \hat{u}] = 0$

$$\hat{H} \hat{S} = \hat{S} \hat{H} \Leftrightarrow [\hat{H}, \hat{S}^{-1}] = 0$$

$$[\hat{H}, \hat{s}_1] = 0, [\hat{H}, \hat{s}_2] = 0 \rightarrow \hat{H} \hat{s}_1 \hat{s}_2 = \hat{s}_1 \hat{H} \hat{s}_2 = \hat{s}_2 \hat{s}_1 \hat{H}$$

$$\Leftrightarrow [\hat{H}, \hat{s}_1 \hat{s}_2] = 0$$

~ Menge $\{\hat{S}_a\}$ der Symmetrietransf. bilden eine Gruppe.

WIGNER-Theorie:

Symmetrien müssen in der QM durch unitäre oder antiunitäre Operatoren beschrieben werden.

$$\hat{U} = e^{i \hat{A}}, \quad \hat{U}^\dagger$$

9.3. Irreduzible Darstellungen und Entartungsräume

Sei $\hat{H} |n_i\rangle = E_n |n_i\rangle$.

i numeriert lin. unabh. Zustände zur Energie E_n ; $i=1, \dots, M$ (M -fache Entartung)

Sei $\{\hat{s}_p\}$ die Symmetriegruppe von \hat{H} ,

$$[\hat{H}, \hat{s}_p] = 0 \quad \forall p$$

$$\sim \hat{H} \hat{s}_p |n_i\rangle = \hat{s}_p \hat{H} |n_i\rangle = E_n \hat{s}_p |n_i\rangle$$

$$\begin{aligned} \textcircled{1} \sim \hat{s}_p |n_i\rangle &= EF zu E_n = \sum_{j=1}^M |n_j\rangle s_{ji}^{(p)} \\ s_{ji}^{(p)} &= \langle n_j | \hat{s}_p | n_i \rangle \end{aligned}$$

zu jedem \hat{s}_p
gehört $M \times M$ -Matrix
 $s_{ji}^{(p)}$

$$\hat{s}_p \hat{s}_q = \hat{s}_r$$

$$\begin{aligned} \sum_{j=1}^M |n_j\rangle s_{ji}^{(q)} &= \hat{s}_r |n_i\rangle = \hat{s}_p \hat{s}_q |n_i\rangle = \hat{s}_p \sum_{k=1}^M |n_k\rangle s_{ki}^{(q)} \\ &= \sum_{k=1}^M \sum_{j=1}^M |n_j\rangle s_{jk}^{(q)} s_{ki}^{(q)} \end{aligned}$$

$$\textcircled{2} \sim s_{ji}^{(q)} = \sum_{k=1}^M s_{jk}^{(q)} s_{ki}^{(q)} \quad \text{für } \hat{s}_r = \hat{s}_p \hat{s}_q$$

Matrizen $\{s_{ij}^{(p)}\}$ bilden M -dimensionale Darstellung der Gruppe $\{\hat{s}_p\}$ im von den $|n_i\rangle$ aufgespannten Darstellungsräum.

J2G.

Sei eine M -dimensionale Darstellung der Gruppe $\{\hat{s}_p\}$ durch komplexe Matrizen $\{\underline{s}^{(p)}\}$ gegeben, und sei \underline{U} eine unitäre Matrix ($\underline{U}^{-1} = \underline{U}^+$)

Betrachte Transformation: $\tilde{|n_i\rangle} = \sum_{k=1}^M |n_k\rangle u_{ki}$, $\tilde{\underline{s}}^{(p)} = \underline{U}^+ \underline{s}^{(p)} \underline{U}$

Offensichtlich bilden die $\{\tilde{\underline{s}}^{(p)}\}$ wieder eine M -dimensionale Darstellung von $\{\hat{s}_p\}$, die unitär äquivalent ist zu $\{\underline{s}^{(p)}\}$.

Spuren der Darstellungsmatrizen liefern Charakter der Darstellung, sie sind invariant unter unitärer Trafo.

$$\sum_{i=1}^m \tilde{s}_{ii} = \sum_{ijk} u_{ij}^\dagger s_{jk} u_{ki} = \sum_{jk} s_{jk} \sum_{i=1}^m u_{ij}^\dagger u_{ki} = \sum_j s_{jj}$$

Die Symmetriegruppe unterteilt Raum in invariante Unterräume z.B:

Eigenvektoren zu einem EW spannen Γ invariante Unterräume $\text{unter } \delta_p$ auf.

Diese Unterräume müssen nicht notwendig die kleinstmöglichen (vgl. Dimension) sein.

Minimale invariante Unterräume definieren irreduzible Darstellungen der Symmetriegruppe.

Ein Eigenwert, der zu einer M -dimensionalen irreduziblen Darstellung der Symmetriegruppe von Γ gehört, gehört auch zu

einem m -fach entarteten Energieniveau.

Symmetriegruppe. Motiviert Energiedegeneratur!

9.4. Diskrete Translationsymmetrie und Bloch-Theorem

Bewegung eines Teilchen im periodischen Potenzial (e^- in Kristall):

$$\hat{H} = -\frac{\hbar^2}{2m}\nabla^2 + U(r), \quad U(r) = U(r+\vec{R})$$

$$\vec{R} = \sum_{i=1}^3 n_i \vec{a}_i, \quad n_i \in \mathbb{Z}$$



Translationsoperator

$$\hat{V}_{\vec{R}} = e^{i\frac{\hbar}{\hbar} \vec{R} \cdot \hat{p}} \quad \text{für jeden Gittervektor } \vec{R}$$

$$\hat{V}_{\vec{R}_1} \hat{V}_{\vec{R}_2} = e^{i\frac{\hbar}{\hbar} (\vec{R}_1 + \vec{R}_2) \cdot \hat{p}}, \quad [\hat{V}_{\vec{R}_1}, \hat{V}_{\vec{R}_2}] = 0$$

~ $\{\hat{V}_{\vec{R}}\}$ bilden abelsche (kommutative) Gruppe.

Solche Gruppen besitzen 1d-Darstellungen, d.h. jellen $\hat{V}_{\vec{R}}$ und 1×1 -Matrix \equiv Zahl $\epsilon \in \mathbb{C}$ zugeordnet.

$$\hat{V}_{\vec{R}} |\vec{k}\rangle = e^{i\vec{R} \cdot \vec{k}} |\vec{k}\rangle \quad (\text{EW von } \hat{p} \text{ ist } \vec{k}; |\vec{k}\rangle \text{ ist Injiz. von oben})$$

$$\langle \vec{r} | \hat{V}_{\vec{R}} | \vec{k}\rangle = e^{i\vec{R} \cdot \vec{k}}$$

$\psi_{\vec{k}}(r + \vec{R}) = \psi_{\vec{k}}(r) e^{i\vec{R} \cdot \vec{k}}$

$(\text{wegen } \psi_{\vec{k}}(r + \vec{R}) = \langle \vec{r} | \hat{V}_{\vec{R}} | \vec{k}\rangle)$

Bloch-Theorem

Seien \vec{k} und \vec{k}' zwei Darstellungen.

Wann gilt $e^{i\vec{k} \cdot \vec{R}} = e^{i\vec{k}' \cdot \vec{R}}$ für Gittervektoren \vec{R} ? (Dann wären Darstellungen äquivalent.)

$$\sim \vec{R} \cdot (\vec{k} - \vec{k}') = 2\pi n, \quad n \in \mathbb{Z}$$

Alle Lösungen \vec{G} der Gleichung $\vec{R} \cdot \vec{G} = 2\pi n$ bilden wieder ein Gitter!

$$\sim \vec{G} = \sum_{i=1}^3 m_i \vec{b}_i, \quad m_i \in \mathbb{Z}, \quad \vec{b}_i \cdot \vec{a}_k = d_{ik} \cdot 2\pi$$

Die Vektoren \vec{b}_i stehen jeweils senkrecht auf den \vec{a}_k und bilden reziprokes Gitter.

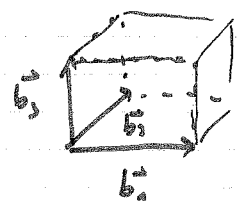
Damit lautet Äquivalenzbedingung für \vec{k} und \vec{k}' :

$$\vec{k} - \vec{k}' = \vec{G} \quad (\text{Bragg-Bedingung})$$

Also sind \vec{k} und \vec{k}' , die sich nur

um $\vec{G} = \sum n_i \vec{g}_i$ unterscheiden, physikalisch äquivalent.

→ \vec{k} ist Quasiimpuls (kein Impuls)



(1. Brillouin-Zone)

Materialialelektronenzustände in einem Festkörper sind Überlagerungen von \vec{k} -Vektoren, die sich um Bragg-Vektoren unterscheiden.

(Anmerkung: Für ein \vec{k} können verschiedene Energien existieren → Energieblöcke)

9.5. Kugelsymmetrie und Drehimpulszustände

$$\cdot \hat{H} = -\frac{\hbar^2}{2m} \nabla_{\vec{r}}^2 + U(r)$$

• Drehung um Winkel $\vec{\varphi}$ ($\vec{\varphi}$ -Richtung ist Achse):

$$\psi(\vec{r}) \xrightarrow[\text{Drehmatrix}]{} \hat{D}_{\vec{\varphi}} \psi(r) \xrightarrow[\text{Drehoperator}]{} e^{i\vec{\varphi} \cdot \vec{\ell}} \psi(r) \xrightarrow[\text{Entwickeln}]{} \psi(r)$$

$$\text{Kugelsymmetrie: } [\hat{H}, \hat{D}_{\vec{\varphi}}] = 0 \quad \forall \vec{\varphi}$$

Gruppe $\{\hat{D}_{\vec{\varphi}}\}$ ist 3parametrische Lie-Gruppe (stetig nach Param. diffbar), nämlich die Gruppe der orthogonalen Trafo mit $\det | | = +1$. Dies sind die speziellen orthogonalen Trafo; Gruppe ist $SO(3)$.

Multiplikationseigenschaften:

$$\hat{D}_{\vec{\theta}_1} \hat{D}_{\vec{\theta}_2} = \hat{D}_{\vec{\theta}_3} \quad (\text{z.B. ausdrückbar durch Eulerische Winkel})$$

Infinitesimale Drehungen:

$$D_{d\vec{\theta}} = e^{i\vec{\theta} \cdot \hat{\vec{d}}} = 1 + \frac{i}{\hbar} d\vec{\theta} \cdot \hat{\vec{e}} \quad \begin{matrix} \text{Infinitesimale Erzeuger} \\ \text{der Drehgruppe} \end{matrix}$$

$SO(3)$ hat drei (infinitesimale) Erzeuger $\hat{e}_x, \hat{e}_y, \hat{e}_z$.

$$[\hat{e}_i, \hat{e}_k] = i\hbar \text{ eine } \hat{e}_j$$



Wir wissen:

$$\hat{e}_z |l, m\rangle = t_n |l, m\rangle$$

$$\hat{e}_y |l, m\rangle = \frac{i}{2} (\hat{e}_+ - \hat{e}_-) |l, m\rangle = \frac{i}{2} (|l, m+1\rangle c_m^{(+)} - |l, m-1\rangle c_m^{(-)})$$

$$\hat{e}_x |l, m\rangle = \frac{i}{2} (\hat{e}_+ + \hat{e}_-) |l, m\rangle = \frac{i}{2} (|l, m+1\rangle c_m^{(+)} + |l, m-1\rangle c_m^{(-)})$$

Alle Drehungen, d.h. Überlagerungen von \hat{e}_i , ergeben
Überlagerungen von $|l, -e\rangle, \dots, |l, +e\rangle$.

$$\hat{D}_{\vec{\theta}} |l, m\rangle = \sum_{m'=l}^l |l, m'\rangle d_{m'm}^{(e)}(\vec{\theta})$$

\uparrow $(2e+1)$ -dimensionale Irreduzible

Darstellung der $SO(3)$

\curvearrowright Alle zu $\vec{\theta}$ dekorativen $(2e+1)$ -fache Erzeuger existieren.

10. Spin und Addition von Drehimpulsen

10.1. $SU(2)$

Spin = innerer Drehimpuls, kein klassisches Analogon

Drehimpulsaufgabe

$$[\hat{s}_i, \hat{s}_k] = i\epsilon_{ijk} \hat{s}_l$$

ist auch mit halbzahlen m realisierbar.

(EW-Spektrum von \hat{s}_z beschränkt auf $\pm s$, Differenz 2s unvollständig)

ganzzahlig sein $\rightsquigarrow s = 0, \frac{1}{2}, 1, \frac{3}{2}, \dots . \hat{s}^2 = s(s+1)$

In... folgender... Spin $\frac{1}{2}$:

$$m = \pm \frac{1}{2} \rightsquigarrow |1\rangle, |-\rangle , \langle 1|1\rangle = \langle -|- \rangle = 1, \langle 1|-\rangle = 0$$

$$\hat{s}_x = \frac{\hbar}{2} (|1\rangle\langle 1| + |-\rangle\langle -|)$$

$$\begin{aligned} \hat{s}^2 &= \hat{s}_x^2 + \hat{s}_y^2 + \hat{s}_z^2 \\ &= \frac{\hbar^2}{4} \cdot 1 \cdot 3 = \frac{3}{4} \hbar^2 \end{aligned}$$

$$\hat{s}_y = i\frac{\hbar}{2} (|1\rangle\langle -| - |-\rangle\langle 1|)$$

$$s_z |1\rangle = \pm \frac{\hbar}{2} |1\rangle$$

$$\hat{s}_z = \frac{\hbar}{2} (|1\rangle\langle 1| - |-\rangle\langle -|)$$

$$\langle 1 | \hat{s}_x | 1 \rangle = \frac{\hbar}{2} \begin{pmatrix} 0 & 1 \\ 1 & 0 \end{pmatrix} = \frac{\hbar}{2} \sigma_x$$

σ_i = Pauli-Spinmatrizen

$$\langle 1 | \hat{s}_y | 1 \rangle = \frac{\hbar}{2} \begin{pmatrix} 0 & -i \\ i & 0 \end{pmatrix} = \frac{\hbar}{2} \sigma_y$$

$$\langle 1 | \hat{s}_z | 1 \rangle = \frac{\hbar}{2} \begin{pmatrix} 1 & 0 \\ 0 & -1 \end{pmatrix} = \frac{\hbar}{2} \sigma_z$$

$$\sigma_i \sigma_j = i \epsilon_{ijk} \sigma_k$$

Drehoperator im Spacraum: (analog zu $\hat{D}_q = e^{i\hbar q \cdot \vec{\sigma}}$)

$$\hat{D}_q = e^{i\hbar q \cdot \vec{\sigma}}$$

$$\hat{D}_{2\pi,i} = e^{i\hbar 2\pi \hat{s}_i}, \quad \hat{D}_{2\pi,i} |1\rangle = |1\rangle e^{i\hbar 2\pi (\pm \frac{\hbar}{2})} = \underset{1}{\textcircled{S}} |1\rangle$$

Drehung um 2π gibt (-1)

Die s_i können folglich nicht die Erzeuger von $SO(3)$ sein!

Untersuchen des Drehoperators $\hat{D}_\varphi = e^{i\frac{\varphi}{2} \vec{q} \cdot \vec{\sigma}}$:

$$\langle \uparrow | \vec{q} \cdot \vec{\sigma} | \uparrow \rangle = \vec{q} \cdot \vec{\sigma} \frac{\pm}{2} = \frac{\pm}{2} \begin{pmatrix} q_x & q_x - iq_y \\ iq_x + iq_y & -q_z \end{pmatrix}$$

$$(\vec{q} \cdot \vec{\sigma})^2 = \begin{pmatrix} q_x & q_x - iq_y \\ iq_x + iq_y & -q_z \end{pmatrix}^2 = \vec{q}^2 \quad (\text{komplexe})$$

$$\langle \uparrow | e^{i\frac{\varphi}{2} \vec{q} \cdot \vec{\sigma}} | \uparrow \rangle = 1 + \frac{i}{2} \vec{q} \cdot \vec{\sigma} - \frac{1}{2!} \frac{1}{2^2} \vec{q}^2 - \frac{1}{3!} \frac{1}{2^3} \vec{q}^2 \vec{q} \cdot \vec{\sigma} + \dots$$

$$= \left(1 - \frac{i}{2!} \left(\frac{q}{2} \right)^2 + \frac{1}{4!} \left(\frac{q}{2} \right)^4 - + \dots \right)$$

$$+ \frac{i \vec{q} \cdot \vec{\sigma}}{q} \left(\frac{q}{2} - \frac{1}{3!} \left(\frac{q}{2} \right)^3 + \frac{1}{5!} \left(\frac{q}{2} \right)^5 - + \dots \right)$$

$$= \cos \frac{q}{2} \cdot 1 + \frac{i \vec{q} \cdot \vec{\sigma}}{q} \sin \frac{q}{2}$$

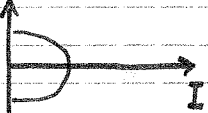
$$= \begin{pmatrix} \cos \frac{q}{2} + i \frac{q}{q} \sin \frac{q}{2} & \frac{iq_x + iq_y}{q} \sin \frac{q}{2} \\ \frac{iq_x - iq_y}{q} \sin \frac{q}{2} & \cos \frac{q}{2} - i \frac{q}{q} \sin \frac{q}{2} \end{pmatrix}$$

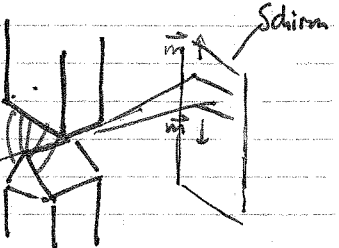
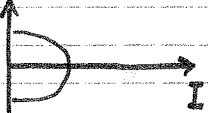
$$\det |e^{i\frac{\varphi}{2} \vec{q} \cdot \vec{\sigma}}| = +1 \quad \text{Gruppe } SU(2)$$

10.2. Stern-Gerlach-Experiment

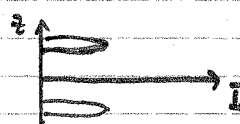
Spin im Magnetfeld: $\Delta E = -\vec{m} \cdot \vec{B}$ ($\vec{m} \sim \vec{\ell}$)

$$\vec{F} = -q \text{grad } \Delta E = q \text{grad } \vec{m} \cdot \vec{B}(r)$$

Klassische Erwartung:  \vec{B}



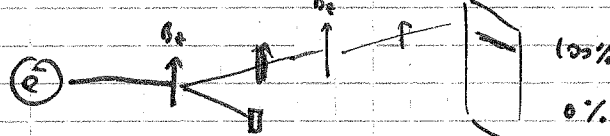
A.H. Ergebnis:



Falls $q.m.$ Drehimpuls ℓ gerade der Aufspaltung wäre \rightarrow ungerade Anzahl von Zuständen $-\ell, \dots, \ell$

Resultat: 2 Fächer $\curvearrowright s = \frac{1}{2}$

Folge von Stern-Gerlach-Versuchen



10.3. Kramers - Theorem

Teilchen mit spin lassen WF $\psi(\vec{r}, s) = \begin{pmatrix} \psi_+(\vec{r}) \\ \psi_-(\vec{r}) \end{pmatrix} \approx \text{sphar}$

$\int d^3r \psi_s^*(\vec{r}) \psi_+(\vec{r})$ ist Wahr. dichte für Teilchen mit $s=1$ -Spinprojektion 8.

Bei Zeit umkehr sollen alle Spin umkehren.

Vor willkt: $\hat{D}_{\text{Re}}, |e, m\rangle \propto |e, -m\rangle$

$$(\hat{D}_{\text{Re}})^2 = (-1)^{2e}$$

\uparrow e einheit von t, $\hat{D}_t = e^{i\omega t}$

$$\sim \hat{T}^2 = (-1)^{2e} \quad \hat{T} \in \text{Op. der Zeit umkehr}$$

Kramers - Theorem: Sei $\langle \hat{T}\phi | \hat{T}\psi \rangle = \downarrow_{\text{Taumitter}} \langle \phi | \psi^* \rangle$,
 $\hat{T}^2 = -1, [\hat{H}, \hat{T}] = 0$.

Dann sind alle EF von \hat{H} 2fach entartet.

Beweis: Falls $|\phi\rangle$ EF von \hat{H} , dann auch $\hat{T}|\phi\rangle$ EF von \hat{H} ,
da $[\hat{H}, \hat{T}] = 0$. $\hat{T}^2 = -1$

$$\begin{aligned} \text{Nun } \langle \phi | \hat{T}|\phi\rangle &= \langle \hat{T}\phi | \hat{T}|\phi\rangle^* = -\langle \hat{T}\phi | \phi\rangle^* \\ &= -\langle \phi | \hat{T}\phi \rangle \end{aligned}$$

$$\sim \langle \phi | \hat{T}\phi \rangle = 0, |\phi\rangle \perp \hat{T}|\phi\rangle$$

Eigen-
werte von \hat{H}
 \sim 2 orthogonale Rntl. r mit gleicher Energie. ✓

Bei $[\hat{H}, \hat{T}] = 0$ heißt kein äu. pass. Magnetfeld.

Schwache WW verletzt T.P.

C.P.T (hier) invariant überall.

10.4. Addition von Drehimpulsen

Zwei Drehimpulse \hat{l}_1, \hat{l}_2 (für \hat{l}_x, \hat{l}_y analog)

$$\hat{l}_1^2 = \frac{1}{2} (l_1 \times \frac{\partial}{\partial l_1}) \quad \Rightarrow [\hat{l}_1, \hat{l}_1] = 0, \quad [\hat{l}_1^2, \hat{l}_{1x}] = [\hat{l}_1, \hat{l}_{1x}] = 0$$

$$\hat{l}_2^2 = \frac{1}{2} (l_2 \times \frac{\partial}{\partial l_2})$$

$$\hat{l} = \hat{l}_1 + \hat{l}_2, \quad [\hat{l}_{ix}, \hat{l}_{iy}] = i \hbar \hat{l}_{iz} \quad \Rightarrow \quad [\hat{l}_x, \hat{l}_y] = i \hbar \hat{l}_z$$

$$\hat{l}^2 = \hat{l}_1^2 + \hat{l}_2^2 + (\hat{l}_1 \hat{l}_2 + \hat{l}_2 \hat{l}_1) \quad \sim [\hat{l}^2, \hat{l}_z] = 0$$

$$[\hat{l}_1, \hat{l}_2] = [\hat{l}_1^2, \hat{l}_2] = 0$$

○ 2 Sätze von 4 untereinander vertauschbaren Operatoren:

A) $\hat{l}_1^2, \hat{l}_{1x}, \hat{l}_2^2, \hat{l}_{2x}$

B) $\hat{l}^2, \hat{l}_x, \hat{l}_1^2, \hat{l}_2^2$

(dagegen nicht: $\hat{l}_1^2, \hat{l}_{1x}, \hat{l}_{2x}, \dots$)

Eigenzustände:

A) $|l_1, m_1, l_2, m_2\rangle$ mit $\langle \hat{l}_i^2 \rangle = \hbar^2 l_i(l_i+1)$, $\langle \hat{l}_{iz} \rangle = \pm \hbar$

B) $|l_m, l_x, l_z\rangle$ $\langle \hat{l}^2 \rangle = \hbar^2 l(l+1)$, $\langle \hat{l}_z \rangle = \pm \hbar$

Zustände zählen:

A) $-l_1 \leq m_1 \leq l_1, -l_2 \leq m_2 \leq l_2 : \quad (2l_1+1)(2l_2+1)$ Zustände $|l_1 m_1, l_2 m_2\rangle$

B) Für $l_1 > l_2$ ist $\underbrace{l_1 - l_2 \leq l \leq l_1 + l_2}_{\begin{array}{l} \text{antiparallel} \\ \text{parallel } (l_1, l_2) \end{array}} + \underbrace{-l \leq m \leq l}_{\text{parallel } (l_1, l_2)}$

$$\approx 2(l_1 - l_2) + 1 + 2(l_1 - l_2) + 3 + \dots + 2(l_1 + l_2) + 1$$

$$= \left\{ \frac{[2(l_1 - l_2) + 1]}{2} - \frac{[2(l_1 - l_2) + 1]}{2} + 1 \right\} \times \frac{[2(l_1 + l_2) + 1]}{2} + \frac{[2(l_1 - l_2) + 1]}{2}$$

Zahl der Summanden

mittlerer Wert.

$$= (2l_1 + 1)(2l_2 + 1) \text{ Zustände}$$

Entwicklung ④ \leftrightarrow ③:

$$\begin{aligned} |\ell_m \ell_1 \ell_2\rangle &= \sum_{m_1 m_2} |\ell_1 m_1 \ell_2 m_2\rangle \langle \ell_1 m_1 \ell_2 m_2 | \ell_m \ell_1 \ell_2\rangle \\ &= \sum_{m_1 m_2} |\ell_1 m_1 \ell_2 m_2\rangle C_{\ell_1 m_1 \ell_2 m_2}^{\ell_m} \end{aligned}$$

↑
Clebsch-Gordan-Koeffizienten

Konkret: $\ell_1 = \ell_2 = \frac{1}{2}$

$$|\ell_m m\rangle : |11\rangle, |1\downarrow\rangle, |1\downarrow\rangle, |1\uparrow\rangle$$

$$|\ell_m n\rangle : |00\rangle, |1,-1\rangle, |10\rangle, |11\rangle$$

Vegen $m = m_1 + m_2$ (aus $\ell^2 = \ell_1^2 + \ell_2^2$) ist $|1,-1\rangle = |1\downarrow\rangle$
 $|1,1\rangle = |11\rangle$

Mit $\hat{\ell}_+ = \hat{\ell}_1 + \hat{\ell}_2$ folgt $|10\rangle \sim \hat{\ell}_+ |1\downarrow\rangle \sim |10\rangle = \frac{1}{2}(|11\rangle + |1\downarrow\rangle)$
 $|00\rangle = \frac{1}{2}(|1\downarrow\rangle - |1\uparrow\rangle)$

Dazu:

$$\begin{aligned} \hat{\ell}^2 &= (\hat{\ell}_1 + \hat{\ell}_2)^2 = \hat{\ell}_1^2 + \hat{\ell}_2^2 + 2\hat{\ell}_{1z}\hat{\ell}_{2z} + 2(\hat{\ell}_1 \times \hat{\ell}_2^* + \hat{\ell}_2 \times \hat{\ell}_1^*) \\ &= \hat{\ell}_1^2 + \hat{\ell}_2^2 + 2\hat{\ell}_{1z}\hat{\ell}_{2z} + \hat{\ell}_+ \hat{\ell}_- + \hat{\ell}_- \hat{\ell}_+ \end{aligned}$$

$$\begin{aligned} \hat{\ell}_z &= \hat{\ell}_x \pm i\hat{\ell}_y, \quad \hat{\ell}_x = \frac{1}{2}(\hat{\ell}_+ + \hat{\ell}_-) \\ \hat{\ell}_y &= \frac{1}{2i}(\hat{\ell}_+ - \hat{\ell}_-) \end{aligned}$$

$$\hat{\ell}^2 |11\rangle = t^2 \left(\frac{3}{4} + \frac{3}{4} + 2 \cdot \frac{1}{2} \cdot \frac{1}{2} \right) |11\rangle + 0 + 0 = 2t^2 |11\rangle \quad (11\rangle \text{ analog})$$

$$\hat{\ell}^2 |1\downarrow\rangle = t^2 \left(\frac{3}{4} + \frac{3}{4} - 2 \cdot \frac{1}{2} \cdot \frac{1}{2} \right) |1\downarrow\rangle + t^2 |11\rangle$$

$$\hat{\ell}^2 |1\uparrow\rangle = t^2 \left(\frac{1}{4} + \frac{1}{4} - 2 \cdot \frac{1}{2} \cdot \frac{1}{2} \right) |1\uparrow\rangle + t^2 |11\rangle$$

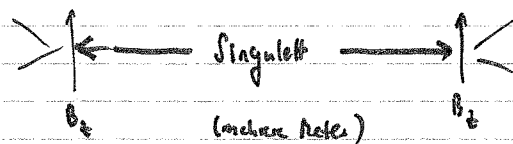
$$\sim \hat{\ell}^2 (|1\downarrow\rangle + |11\rangle) = 2t^2 (|1\downarrow\rangle + |11\rangle) \sim |10\rangle$$

$$\hat{\ell}^2 (|1\downarrow\rangle - |11\rangle) = 0 \quad \cancel{\sim |10\rangle}$$

$$\begin{aligned} \hat{\ell} \pm Y_m &= Y_{\ell, m \pm 1} t \sqrt{\ell(\ell+1) - h(m)} \\ \hat{\ell}_+ \hat{\ell}_- &= \hat{\ell}^2 - \hat{\ell}_+^2 \mp \hat{\ell}_-^2 \end{aligned}$$

10.5. Spinkorrelationen von Singulettzuständen

$$|100\rangle = \frac{1}{\sqrt{2}} (|110\rangle - |111\rangle)$$



Exp: aufeinander Positionierung

$$\text{Ergebnis: } 50\% |11\rangle_A \quad 50\% |11\rangle_B$$

$$50\% |00\rangle_A \quad 50\% |00\rangle_B$$

○ Vergleich einzelner Ereignisse:

$$|111\rangle, |111\rangle \approx$$

$$|11\rangle \quad 50\%$$

$$|11\rangle \quad 50\%$$

1. Interpretation: (Kopenhagen)

Messung bei A erzeugt aus $\frac{1}{\sqrt{2}} (|110\rangle - |111\rangle)$ einen der beiden Zustände.

(Vor Messung ist der Zustand ein Singulett).

$$\text{D.h. } |100\rangle \xrightarrow{\text{Messung}} |11\rangle \quad |11\rangle$$

"QM ist nichtlokal"

Diese Auswirkung der Messung A auf Teilchen B ist keine Informationsübertragung mit $v < c$, da erst der Austausch des Meßergebnise Klarheit bringt.

2. Dilemma (EPR)

Lokalit  prinzip. H  ren 2 Singulettzust  nde $|100\rangle, |100\rangle$ existieren, die zu $|110\rangle$ und $|111\rangle$ verfallen. Im "gebundenen" Zustand sind beide Zust  nde nicht miteinander \rightarrow "Verborgene Parameter".

Alle Experimente (\rightarrow Bell'sche Ung.).) deuten darauf hin, das Kopenhagen

11. Zeitunabhängige Störungstheorie

$$\hat{H} = \hat{H}_0 + \lambda \hat{H}_1$$

λ : formaler Entwicklungspараметer

Eigenwertproblem von \hat{H}_0 exakt lösbar:

$$\hat{H}_0 |n\rangle^{(0)} = E_n^{(0)} |n\rangle^{(0)}$$

$$\langle n|n\rangle^{(0)} = 1, \quad \sum_n |n\rangle^{(0)} \langle n| = 1$$

11. 1. Störung nicht entarteter Energieniveaus ($E_n^{(0)}$ nicht entzkl.)

Gesucht $\hat{H}|n\rangle = E_n |n\rangle$

Störungsreihe (Ansatz!)

$$E_n = E_n^{(0)} + \lambda E_n^{(1)} + \lambda^2 E_n^{(2)} + \dots \quad \left. \begin{array}{l} \text{Rayleigh-} \\ \text{Schrödinger-} \\ \text{Störungsreihe} \end{array} \right\}$$

$$|n\rangle = |n\rangle^{(0)} + \lambda |n\rangle^{(1)} + \lambda^2 |n\rangle^{(2)} + \dots$$

$$(\lambda \rightarrow 0 : E_n \rightarrow E_n^{(0)}, |n\rangle \rightarrow |n\rangle^{(0)} \text{ stetig})$$

Einschub in SGL:

$$(\hat{H}_0 + \lambda \hat{H}_1) (|n\rangle^{(0)} + \lambda |n\rangle^{(1)} + \lambda^2 |n\rangle^{(2)} + \dots) = (E_n^{(0)} + E_n^{(1)} + E_n^{(2)} + \dots) (|n\rangle^{(0)} + |n\rangle^{(1)} + |n\rangle^{(2)} + \dots)$$

Vergleicht beide Seiten Ordnung für Ordnung in λ :

$$\lambda^0: \quad \hat{H}_0 |n\rangle^{(0)} = E_n^{(0)} |n\rangle^{(0)}$$

$$\lambda^1: \quad \hat{H}_0 |n\rangle^{(1)} + \hat{H}_1 |n\rangle^{(0)} = E_n^{(1)} |n\rangle^{(1)} + E_n^{(0)} |n\rangle^{(0)} \quad (*) / \langle n|$$

$$\sim \langle n | \hat{H}_1 | n \rangle^{(0)} + \langle n | \hat{H}_1 | n \rangle^{(0)} = E_n^{(0)} \langle n | n \rangle^{(0)} + E_n^{(0)} \langle n | n \rangle^{(0)}$$

$$E_n^{(1)} = \langle n | \hat{H}_1 | n \rangle^{(0)}$$

Jetzt (*) mit $\langle n |$, mith:

$$\langle n | \hat{H}_0 | n \rangle^{(0)} + \langle n | \hat{H}_1 | n \rangle^{(0)} = E_n^{(0)} \langle n | n \rangle^{(0)} + E_n^{(0)} \langle n | n \rangle^{(0)}$$

$$\langle n | n \rangle^{(0)} = \frac{\langle n | \hat{H}_1 | n \rangle^{(0)}}{1 - \langle n | \hat{H}_0 | n \rangle^{(0)}}, \quad \langle n | n \rangle^{(0)} = 0 \text{ in 0. Ordn.}$$

$$\lambda^2 : \hat{H}_0 |n\rangle^{(0)} + \hat{H}_1 |n\rangle^{(1)} = E_n^{(0)} |n\rangle^{(2)} + E_n^{(1)} |n\rangle^{(1)} + E_n^{(1)} |n\rangle^{(0)}$$

$|n\rangle^{(0)}$

$$\sim E_n^{(1)} = \langle n | \hat{H}_1 | n \rangle^{(1)}$$

$$= \sum_m \frac{\langle n | \hat{H}_1 | m \rangle^{(0)} \langle m | \hat{H}_1 | n \rangle^{(0)}}{E_n^{(0)} - E_m^{(0)}}$$

Höheren Ordnungen analog.

Also:

$E_n^{(0)} = \langle n \hat{H}_0 n \rangle^{(0)}$ $ n\rangle^{(0)} = \sum_m \frac{ m\rangle^{(0)} \langle m \hat{H}_0 n \rangle^{(0)}}{E_n^{(0)} - E_m^{(0)}}$ $E_n^{(1)} = \sum_m \frac{ \langle n \hat{H}_1 m \rangle^{(0)} ^2}{E_n^{(0)} - E_m^{(0)}}$	<p>[Korrektur zur Normierung von $n\rangle^{(0)}$ erst ab λ^2]</p>
---	---

Bem.: Für Anwendbarkeit der Störungstheorie (d.h. Entwicklung in λ)
muß $E_n^{(2)} \ll E_n^{(1)} \ll E_n^{(0)}$, $|n\rangle^{(1)} \ll |n\rangle^{(0)}$
gelten.

Nötig ist $\left| \frac{\langle m | \hat{H}_1 | n \rangle^{(0)}}{E_n^{(0)} - E_m^{(0)}} \right| \ll 1$

Also: \hat{H}_1 „klein“,

Matrixel. „klein“,

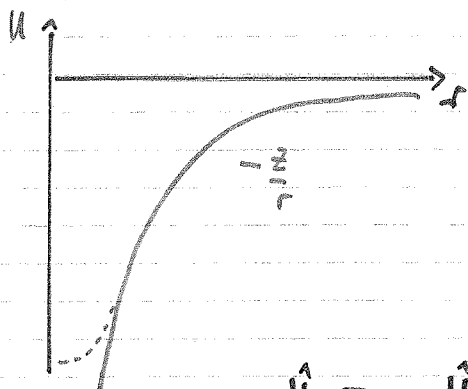
Energie diff. $E_n^{(0)} - E_m^{(0)}$ groß

Die letzte Bedingung ist bei Entartung ($E_n^{(0)} = E_m^{(0)}$)
offensichtlich verletzt!! (siehe gleich)

Wenn Bed. erfüllt, dann ist Konvergenz der Potenzreihe nicht
gesichert. (Viele Fälle: divergent. Aber: niedrige Ordg. oft.)

11.2. Bsp.: Abhängigkeit der Atomniveaus vom Klassradius

(Isotrop vermeidig)



$$\Delta U(r) = 4\pi g(r)$$

Kernladungsdichte

$$U_0(r) = -\frac{Z}{r} \quad (\Delta U_0(r) = 4\pi Z(r) Z)$$

$$\hat{H} = \hat{H}_0 + (U(r) + \frac{Z}{r}) ; \quad \hat{H}_0: E_{nl}^{(0)}$$

$$E_{nl}^{(0)} = R_{nl}(r) Y_{lm}(0,0)$$

$$R_n \xrightarrow{n=0} \alpha_n r^2$$

Störungskreis ist \hat{H}_0 :

$$E_{nl}^{(0)} = \langle nlm | U(r) + \frac{Z}{r} | nlm \rangle = \int r^2 dr \ R_{nl}^2(r) (U(r) + \frac{Z}{r})$$

Wert für Winkelzustand in H_0

kleine r
dominieren

Wesentliche Korrekturen nur für $l=0$.

$$4r^2 = \frac{2^2}{9\pi^2} r^2 = 6$$

$$E_{nl}^{(0)} = \alpha_n^{-2} \int dr r^2 (U(r) + \frac{Z}{r}) \frac{4\pi^2}{6}$$

$$2 \times p.l. = \frac{\alpha_n^{-2}}{6} \int dr r^4 \underbrace{\Delta (U(r) + \frac{Z}{r})}_{4\pi g(r)} = 4\pi Z(r)$$

$$\bar{r}^2 = \int dr r^4 \frac{g(r)}{2} \approx (3 \cdot 10^{-5} \text{ a.})^2 \quad [\bar{r}^2 \sim \text{Kernradius}]$$

$$\approx E_{nl}^{(0)} = \frac{2\pi}{3} \alpha_n^{-2} Z \bar{r}^2 \approx 2 \cdot 10^{-9} \text{ (H)}$$

$$10^{-5} \text{ (U, ...)}$$

11.3. Störung entarteter Eigenzustände

$$\hat{H}_0 |n, i\rangle^{(0)} = E_n^{(0)} |n, i\rangle^{(0)} \quad i = 1, \dots, N, N = \text{Entartungsgrad}$$

I. a. sind $\langle m | \hat{H}_1 | n \rangle^{(0)}$ divergent.
 $E_n^{(0)} = E_m^{(0)}$

Diese Divergenz kann durch geeignete Basiswahl verminder werden.

Falls nämlich \hat{H}_1 diagonal im Raum der entarteten Zustände ist, dann sind die $\langle m | \hat{H}_1 | n \rangle^{(0)}$ mit $E_n^{(0)} = E_m^{(0)}, m \neq n$ gleich Null.

Vorgehen also: \hat{H}_1 im entarteten Unterraum diagonalisieren

$$|n, i\rangle^{(0)} = \sum_m |n, m\rangle^{(0)} u_{ni} \quad (u_i^+ u_i^- = 1)$$

Störungsausdruck:

$$|n, i\rangle = |\overline{n, i}\rangle^{(0)} + \lambda |\overline{n, i}\rangle^{(1)} + \lambda^2 |\overline{n, i}\rangle^{(2)} + \dots$$

Wenn $\langle \overline{n, i} | \hat{H}_1 | \overline{n, i} \rangle = E_i^{(1)} \delta_{ii}$ (\hat{H}_1 diagonal), dann erhält $|\overline{n, i}\rangle^{(1)}$ keine Divergenz, und $|\overline{n, i}\rangle \xrightarrow{\lambda \rightarrow 0} |\overline{n, i}\rangle^{(0)}$.

Physikalischer Grund für Divergenz in "falscher" Basis:

Störung wird eine L.o.w.c. der für $\lambda = 0$ entarteten Zustände auswählen. Wenn wir für $\lambda = 0$ mit einer anderen L.o.w.c. stark, dann ist das Lösen $\lambda \rightarrow 0$ singulär.

Bsp. siehe Stark-Effekt.

11.4. Stark-Effekt

Atom (z.B. Wasserstoff) mit $1e^-$ im homogenen elektrischen Feld

$$\hat{H}_0 = \frac{\hat{p}^2}{2m} - \frac{e^2}{r}, \quad \hat{H}_1 = e \vec{E} \cdot \vec{r} \quad \vec{E} \parallel \vec{e}$$

$\vec{d} \sim \text{Dipolmoment}$

$$\hat{H}_0 : |100\rangle, \quad E_{10}^{(0)} = -\frac{1}{2n^2} \text{ (a.u.)}$$

(A) Störung, rechnung für Grundzustand ($1s$)

$$\langle \hat{p}^2 | 100 \rangle^{(0)} = \frac{1}{\frac{1}{4\pi}} e = \hbar^2$$

$$E_{10}^{(1)} = eE \langle 100 | \hat{p}^2 | 100 \rangle^{(0)} = 0$$

$$|100\rangle^{(1)} = eE \sum_{klm} \langle 1k1m | \frac{\hat{p}_{klm}^{(1)} + \hat{p}_{lkm}^{(1)}}{2} | 100 \rangle^{(0)} \quad E_{10}^{(1)} = E_{kl}^{(1)}$$

(Deformation
der WF
durch Feld)

$$\sim E_{10}^{(2)} = (ee)^2 \sum_{klm} \frac{|\langle klm | \hat{p}_{klm}^{(1)} | 100 \rangle^{(0)}|^2}{E_{10}^{(0)} - E_{kl}^{(0)}} < 0$$

Elektrisches Feld induziert Dipolmoment:

$$\langle \vec{d} \rangle = \langle -e \vec{r} \rangle i$$

$$\langle \vec{r} \rangle = \langle 100 | \hat{p} | 100 \rangle \text{ gesucht}$$

$$= \underbrace{\langle 100 | \hat{p} | 100 \rangle^{(0)}}_0 + \underbrace{\langle 100 | \hat{p} | 100 \rangle^{(1)}}_{(0)} + \underbrace{\langle 100 | \hat{p} | 100 \rangle^{(2)}}_{(1)} + \dots$$

$E_{10}^{(2)} / ee$

$$|\langle \vec{d} \rangle| = -2 E_{10}^{(2)} / e$$

$$E_{10}^{(2)} = -\frac{1}{2} \langle \vec{d} \rangle \cdot \vec{E} = -\frac{1}{2} \alpha e^2, \quad \langle \vec{d} \rangle = \alpha E$$

(klass. Elektrostatik)

elekt. Polarisierbar.

Bem Kugelsym. WF ohne Störung \Leftrightarrow kein löslich ausgerichtet

$\sim \Delta E \sim (\vec{E})^2$ folgt aus Symmetrie!

③ Störungstechnik für 1. angeregten Zustand $(2s, 2p)$

$$E_{21} = -\frac{1}{8}, \quad |2l_m\rangle = |20\rangle^{(0)}, |21_0\rangle^{(0)}, |21_1\rangle^{(0)}, |21_1\rangle^{(0)}$$

$$\langle \hat{r} | 2l_m \rangle \sim e^{-i\omega t}, \quad \text{z. unabh. von } q$$

$$\langle nlm | \hat{z} | nl'm' \rangle \sim J_{nm'l'm'}$$

$$\langle -\hat{r} | nlm \rangle^{(0)} = (-1)^e \langle \hat{r} | nl'm \rangle^{(0)}$$

Achtung: $\langle nlm | \hat{z} | nl'm \rangle^{(0)} = 0$ für $(l+l')$ gerade

$|-\hat{r}|$ ist
Orts-EF.

z^* kann nicht

Rauskopf werden!!! Jetzt entstehende Störungstheorie wie oben:

$$\langle 2l_m | \hat{H}_1 | 2l'_m \rangle^{(0)} = cE \begin{pmatrix} 0 & \langle 20_0 | + | 21_0 \rangle^{(0)} & 0 & 0 \\ \langle 21_0 | + | 20_0 \rangle^{(0)} & 0 & 0 & 0 \\ 0 & 0 & 0 & 0 \\ 0 & 0 & 0 & 0 \end{pmatrix}^{(0)}$$

$$= i 3eE \begin{pmatrix} 0 & 0 & 0 \\ -1 & 0 & 0 \\ 0 & 0 & 0 \end{pmatrix} \quad (\text{Konkrete Rechnung w. reiner LL})$$

Diagonalisieren:

$$\hat{H}_1 = 3eE \begin{pmatrix} 1 & 0 & 0 \\ 0 & 1 & 0 \\ 0 & 0 & 1 \end{pmatrix}, \quad |21\rangle^{(0)} = \frac{1}{\sqrt{2}} (|20\rangle^{(0)} + i|21_0\rangle^{(0)})$$

$$|\tilde{21}\rangle^{(0)} = \frac{1}{\sqrt{2}} (|20\rangle^{(0)} - i|21_0\rangle^{(0)})$$

$$|\tilde{22}\rangle^{(0)} = |21_1\rangle^{(0)}$$

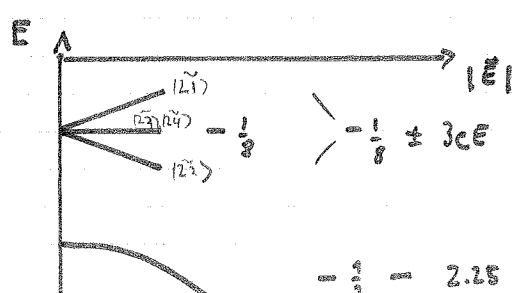
Von 4 Zuständen

$$|\tilde{24}\rangle^{(0)} = |21_1\rangle^{(0)}$$

gibt es nur 2, nur 2,
zweibleiben.

$$|\tilde{21}\rangle, |\tilde{21}\rangle: 0 \neq 8 = 0, 0$$

(Dipolmoment ohne Feld wg. Entartung
 \cong paraelektrisches Verhalten)



11.5. Spin-Bahn-Wechselwirkung und Feinstruktur

Idee: Spin (mag. Moment) des Elektrons wechselt mit effektivem Magnetfeld, was durch Bewegung des Elektrons im el. Feld des Kernes entsteht.

Erhält man aus voll relativistischer Reduktion + Entwickeln in $\frac{1}{c}$.

Hinweis: Nur Motivation der Struktur, Verfahren ohne Berücks. (LL oder Greiner)

Bewegte Ladung im MF: $\vec{F} = \frac{q}{c} \vec{v} \times \vec{B} = q \vec{E}_{\text{eff}}$, $\vec{E}_{\text{eff}} = \frac{\vec{v}}{c} \times \vec{B}$

Mag. Moment in MF: $\Delta E = -\vec{\mu} \cdot \vec{B}$

-II- el. Feld: $\Delta E = -\vec{\mu} \cdot \vec{B}_{\text{eff}}$, $\vec{B}_{\text{eff}} = -\frac{\vec{v}}{c} \times \vec{E}$ (Lorentz-Law. d. Maxwell-Gl.)

Nun: Mag. Moment des e^- : $\vec{\mu} \sim \vec{s}$ ($s \mu_B$)

Elektro. Feld im Atom: $\vec{E} = -\text{grad } U = -\vec{r}' \frac{1}{r} \frac{dU}{dr}$

$$\sim \hat{H}_{\text{se}} \sim \vec{\mu} \cdot \vec{B}_{\text{eff}} \sim \vec{s} \cdot \left(\frac{\vec{v} \times \vec{r}}{r^2} \right) \frac{1}{r} \frac{dU}{dr}$$

$$\boxed{\hat{H}_{\text{se}} = \frac{1}{2m^2c^2} \frac{1}{r} \frac{dU}{dr} \vec{s} \cdot \vec{t} = \frac{e^2}{2r} \frac{dU}{dr} \vec{s} \cdot \vec{t}}$$

(H-Atom)

$$\text{Gesamt drehimpuls } \vec{j} = \vec{l} + \vec{s}, \quad \vec{s} \cdot \vec{l} = \frac{1}{2} (\vec{s}^2 - \vec{l}^2 - \vec{s}^2)$$

$$(\hat{H} = \hat{H}_0 + \hat{H}_{\text{se}}) \quad [\vec{s} \cdot \vec{l}, \hat{E}_i] = i\hbar (-s_x l_y + s_y l_x)$$

$$[\vec{s} \cdot \vec{l}, s_z] = i\hbar (-s_y l_x + s_x l_y)$$

$$\alpha = \frac{e^2}{4\pi r c} \quad \text{Feinstruktur-Konstante}$$

Quantenzahlen

A $|l m_l s m_s\rangle$

(Hier wird \hat{H}_{se} nicht diagonal.
(kein gen. EF-System))

B $|j m_l \ell \epsilon\rangle$

$\hat{H} = \hat{H}_0 + \hat{H}_{\text{se}}$ vertauscht mit allen op.

$$\langle j m_l | \hat{H}_{\text{se}} | j' m'_l \ell' \epsilon' \rangle = \delta_{jj'} \delta_{mm'} \delta_{\ell\ell'} \delta_{\epsilon\epsilon'} \langle \frac{e^2}{4r} \frac{dU}{dr} \rangle_e (j(j+1) - \ell(\ell+1) - \frac{1}{4})$$

$$j = \ell \pm \frac{1}{2} \quad (j = \frac{1}{2} \text{ für } l=0) \quad \sim j(j+1) - \ell(\ell+1) - \frac{1}{4} = \langle \ell_{-}^2 \rangle_{-l-1} \leq \frac{1}{4}$$

$$\boxed{\underbrace{E_{\text{tot}}}_{j} = -\frac{1}{2n^2} + \langle \frac{e^2}{4r} \frac{dU}{dr} \rangle_{nl} \times \left\{ \begin{array}{l} \ell \\ -\ell-1 \end{array} \right\}}$$

Spin - Bahn - Antiparity (nach oben):

$$E_{h1 \pm \frac{1}{2}} = -\frac{1}{2n^2} + \frac{\hbar^2}{4m^2c^2} \left\langle \frac{e}{r} \frac{dU}{dr} \right\rangle_{nl} \times \begin{cases} l \\ -l-1 \end{cases}$$

Für H-Atom kann das EW explizit berechnet werden.

Das Resultat ist $\propto \underline{\alpha^4}$.

Für das relativistische H-Atom tritt noch eine weitere Korrektur des Ordg. α^4 auf, nämlich die Korrektur zu kontinuierlichen Energien:

$$E_{kn} = \sqrt{p^2 c^2 + m^2 c^4} - mc^2 = \frac{p^2}{2n} - \frac{p^4}{8m^3 c^2} + \dots$$

Korrekte qu. Behandlung (Dirac-Gl!) heißt als Summe dieser beiden Terme die Lorentzkr.-Korrektur:

$$\Delta E_{fs} = -\frac{mc^2}{2n^4} \alpha^4 \left(\frac{n}{j+\frac{1}{2}} - \frac{3}{4} \right) \quad j=1 \pm \frac{1}{2}$$

11.6. Hyperfeinstruktur (WW El. spin = Kernspin)

$$|\mu_B| = \frac{e}{m_e}, \quad |\gamma_{\text{K}}| = \frac{e}{M_C}$$

$$\left| \hat{H}_{hf} = \frac{16\pi}{3I} \gamma_S \gamma_K \left| \psi_{II}(z) \right|^2 \hat{\vec{I}} \cdot \hat{\vec{s}} \right|$$

Dekl. p. d. Kerns

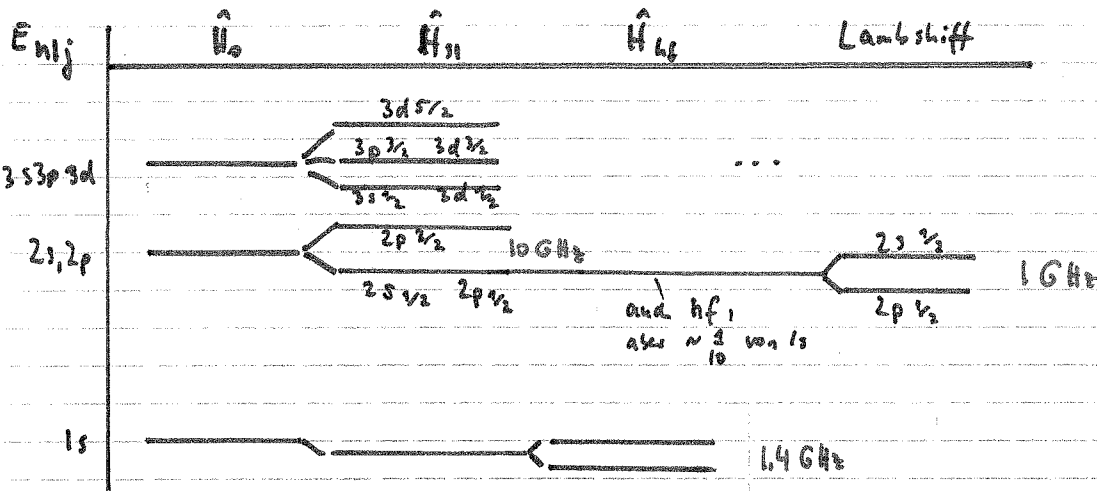
(ohne Berücks.)

Fermische Kontakte
WW,
nur $\neq 0$ für
 s -Niveaus bzw.
 $|\psi(0)|^2$.

$$\hat{\vec{I}} \cdot \hat{\vec{s}} = \frac{1}{2} (\hat{\vec{J}}^2 - \hat{\vec{I}}^2 - \hat{\vec{s}}^2)$$

$$\Delta E_{hf \pm} = \frac{8\pi}{3I} \gamma_S \gamma_K \left| \psi_{II}(0) \right|^2 \left\{ \begin{array}{ll} I \\ -I \end{array} \right\}$$

$$\frac{1}{4} (\epsilon_{1S+} - \epsilon_{1S-}) = 1420\ 405\ 751,8 \text{ Hz} \stackrel{?}{=} 21 \text{ cm}$$



Ber. für linear Stark-Effekt mit β Feld \Rightarrow Lambshift v.a. (212)
(... $E \gg 10^4 \text{ V/m}$)

11.7. Elektron im Magnetfeld

Klassische Hamiltonfkt $H = \frac{1}{2m} (\vec{p} - \frac{e}{c} \vec{A}(r))^2 + U(r)$, $\vec{B} = \nabla \times \vec{A}$

Q.M., mit Spin und Spindrehimpuls:

$$\hat{H} = -\frac{\epsilon^2}{2m} \frac{\partial^2}{\partial r^2} + \frac{ie\hbar}{2mc} \left(\frac{\partial}{\partial r} \cdot \vec{A} + \vec{A} \cdot \frac{\partial}{\partial r} \right) + \frac{e^2 \vec{A}^2}{2m c^2}$$

$$+ U(r) + \frac{1}{2m^2 c^2} \frac{1}{r^2} \frac{dU}{dr} \vec{\ell} \cdot \vec{s} + \mu_B \vec{B} \cdot \vec{s}$$

$$\mu_B = \frac{-e}{mc}$$

Homogenes MF: $\vec{B} = B \hat{e}_z$, $\vec{A} = \frac{1}{2} (\vec{B} \times \vec{r}) = \frac{1}{2} (e_y \hat{b}_x - e_x \hat{b}_y)$, $\text{div } \vec{A} = 0$

$$\sim \partial_r \vec{A} = \vec{A} \partial_r$$

$$\sim \frac{\partial}{\partial r} \cdot \vec{A} + \vec{A} \cdot \frac{\partial}{\partial r} = B \left(x \frac{\partial}{\partial y} - y \frac{\partial}{\partial x} \right) = B \frac{i}{4} \hat{e}_z$$

$$\sim \hat{H} = \hat{H}_0 + \hat{H}_1 + \hat{H}_2 + \hat{H}_3$$

$$\hat{H}_0 = -\frac{\epsilon^2}{2m} \frac{\partial^2}{\partial r^2} + U(r)$$

$$\hat{H}_1 = \frac{1}{2m^2 c^2} \frac{1}{r^2} \frac{dU}{dr} \vec{\ell} \cdot \vec{s}$$

$$\hat{H}_2 = -\frac{eB}{2mc} (\hat{\ell}_z + 2\hat{s}_z) = -\frac{eB}{2mc} (j_z + \hat{s}_z)$$

$$\hat{H}_3 = \frac{e^2 B^2}{8mc^2} (x^2 + y^2)$$

In folgenden Schritten vor schwache Felder $\langle \hat{H}_2 \rangle, \langle \hat{H}_3 \rangle \ll \langle \hat{H}_0 \rangle$.

Die Physik in starken MF ist wesentlich komplizierter und extrem interessant \rightarrow Quanten-Hall-Effekt. (Quantisierung Kreisbahnen der Elektronen \perp Feld etc.)

11.8. Zeeman-Effekt

Verschiebung der (Atom) Niveaus im homogenen B-Feld

(A) Schwaches Magnetfeld

$$\langle \hat{H}_2 \rangle \ll \langle \hat{H}_1 \rangle$$

$$(MF \ll \text{Spin-Bahn})$$

Ungestörte Niveaus sind die Termstruktur-aufgespaltene $|jm's\rangle$



$$j = l \pm \frac{1}{2}, -j \leq m_j \leq j$$

$$\langle jm's | j_z + s_z | jm'c's \rangle = \delta_{mm'} \delta_{cc'} \delta_{jj'} + \delta_{ss'} \langle jm's | s_z^2 | jm'c's \rangle$$

$$\text{Clebsch-Gordan: } |jm's\rangle = \sum_{m'ms} |l m_s s m_s\rangle c_{l m_s s m_s}^{jm}$$

$$\text{Konkret: } |l \pm \frac{1}{2} m_s\rangle = \pm |l, m = \frac{1}{2}, s, \pm \frac{1}{2}\rangle \sqrt{\frac{l \pm m + \frac{1}{2}}{2l+1}} \\ + |l, m = \frac{1}{2}, s, -\frac{1}{2}\rangle \sqrt{\frac{l \pm m + \frac{1}{2}}{2l+1}}$$

$$\text{Damit } \langle jm's | s_z | jm'c's \rangle \sim \delta_{mm'} \text{ und}$$

$$\langle jm's | j_z + s_z | jm'c's \rangle = \delta_{mm'} \delta_{cc'} (t_m \pm \frac{1}{2l+1}) \text{ für } j = l \pm \frac{1}{2}$$

↑
CG errechnen

$$E_{n ejm}^{(1)} = -mg\mu_B B, \quad g = 1 \pm \frac{1}{2l+1} \quad \text{für } j = l \pm \frac{1}{2}$$

$g \in \text{Landé-Faktor}$

Anomaler Zeeman-Effekt

B) Starkes Magnetfeld $\langle \hat{H}_z \rangle \gg \langle \hat{H}_x \rangle$

(MF \gg Spin-Bahn)

Magnetische Normen und $|l_{m_l} s_{m_s}\rangle$ (Spin-Bahn veradlässigt)

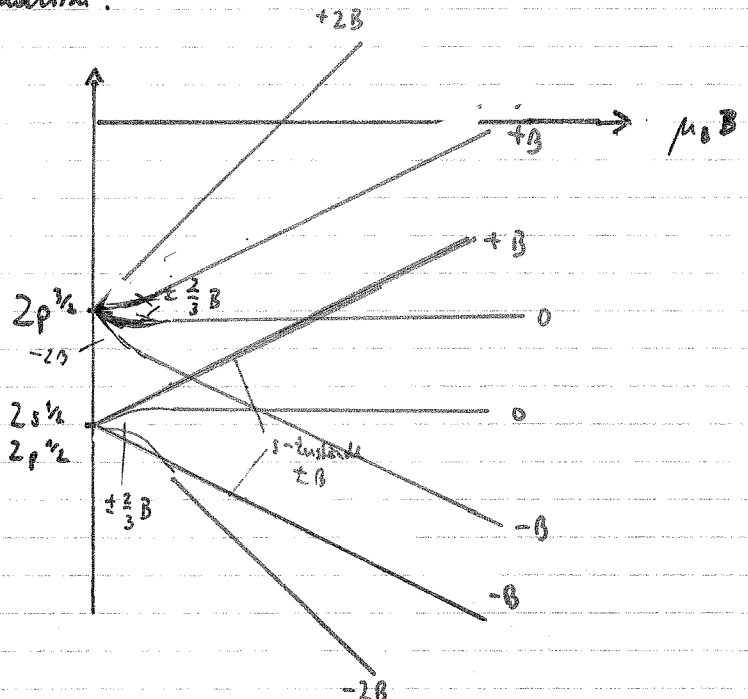
$$\langle l_{m_l} s_{m_s}, |l_z + 2s_z| l_{m'_l} s_{m'_s}\rangle = \delta_{m_l m'_l} \delta_{m_s m'_s} t(u_e + 2u_s)$$

$$E_{\text{N.M.}}^{(1)} = - (u_e + 2u_s) \mu_B B$$

$-l, \dots, l \quad \pm \frac{1}{2}$

Normaler Zeeman-Effekt (Paschen-Back-Effekt)

Schematische:



12. Ritzsches Variationsverfahren

12. 1. Extremalprinzip und Variation

Für jeden Hamiltonop \hat{H} mit Grundzustandsenergie $E_0 = \langle \psi_0 | \hat{H} | \psi_0 \rangle / \langle \psi_0 | \psi_0 \rangle$

gilt:

$$E_0 = \min_{|\psi\rangle} \frac{\langle \psi | \hat{H} | \psi \rangle}{\langle \psi | \psi \rangle}$$

Dazu: A) $|\psi\rangle = |\psi_0\rangle \rightsquigarrow \frac{\langle \psi | \hat{H} | \psi \rangle}{\langle \psi | \psi \rangle} = E_0 \quad \checkmark$

B)
$$\begin{aligned} \frac{\langle \psi | \hat{H} | \psi \rangle}{\langle \psi | \psi \rangle} &= \sum_v \frac{\langle \psi | \hat{H} | \psi_v \rangle \langle \psi_v | \psi \rangle}{\langle \psi | \psi \rangle} = \sum_v E_v \frac{|\langle \psi | \psi_v \rangle|^2}{\langle \psi | \psi \rangle} \\ &\stackrel{H|\psi_v\rangle = E_v|\psi_v\rangle}{=} E_0 \underbrace{\sum_v \frac{|\langle \psi | \psi_v \rangle|^2}{\langle \psi | \psi \rangle}}_1 + \underbrace{\sum_v (E_v - E_0)}_0 \frac{|\langle \psi | \psi_0 \rangle|^2}{\langle \psi | \psi \rangle} \\ &\geq E_0 \quad // \end{aligned}$$

Also: Extremalprinzip statt Schrödingergleichung

~ Parameterisierung Γ und Variation möglich

Ausdr. mit Parametern: $|\psi(\lambda_1, \dots, \lambda_n)\rangle$

$$\langle H \rangle(\lambda_1, \dots, \lambda_n) = \frac{\langle \psi(\lambda_1, \dots, \lambda_n) | \hat{H} | \psi(\lambda_1, \dots, \lambda_n) \rangle}{\langle \psi | \psi \rangle}$$

Variation für Minimumsuche: $\frac{\partial \langle H \rangle}{\partial \lambda_i} = 0$

Vgl. zu Störungsrechnung: • Nicht notwendig in der Nähe eines exakt lösbarer Problems

• $\min \langle H \rangle$ garantiert $\geq E_0$ \wedge Schranke

12.2. Beispiele

(A) x^4 - Potential

$$V(x) = \lambda x^4, \quad \hat{H} = \frac{p^2}{2m} + \lambda x^4$$

$$\text{Ansatz } \psi(r, a) = e^{-ax^2/2} \quad a: \text{Variationsparameter}$$

$$E(a) = \frac{\int dx e^{-ax^2/2} \left(-\frac{\hbar^2}{2m} \frac{d^2}{dx^2} + \lambda x^4 \right) e^{-ax^2/2}}{\int dx e^{-ax^2}} = \frac{\hbar a}{4m} + \frac{3\lambda}{4a^2}$$

$$\text{Minimieren: } a_0 = \left(\frac{6m\lambda}{\hbar^2} \right)^{1/3}$$

↑
kinetisch,
will kleines a
potentiell,
will großes a

$$\sim E(a_0) = \frac{3}{8} \left(\frac{6\hbar^4 \lambda}{m^2} \right)^{1/3} > E_0$$

(breite Gaußfunk.) (rechte
Gaußfunk.)

$e^{-a_0 x^2/2}$ ist "breite" Gaußsche WF für dieses Problem.

(B) H - Atom

$$V(r) = -\frac{e^2}{r}$$

$$\text{Falscher (!) Ansatz: } \psi(r, 0, \varphi; a) = e^{-ar^2}$$

$$E(a) = \frac{\int dr r^2 e^{-ar^2} \left(-\frac{\hbar^2}{2m} \frac{1}{r} \frac{d^2}{dr^2} r - \frac{e^2}{r} \right) e^{-ar^2}}{\int dr r^2 e^{-2ar^2}} = \frac{3\hbar^2 a}{2m} - \sqrt{\frac{e^2}{\pi}} 2e^2 \sqrt{a}$$

$$\text{Minimieren: } a_0 = \left(\frac{m e^2}{\hbar^2} \right)^{1/2} \frac{8}{9\pi}$$

$$E(a_0) = -\frac{m e^4}{2\hbar^2} \frac{8}{3\pi} = -0.85 \frac{eV}{2} [\text{a.u.}] = -0.85 \text{ Ryd} > E_0 = -1 \text{ Ryd}$$

12.3. He- Atom (in a.u.)

$$\hat{H} = -\frac{1}{2} \left(\frac{d^2}{dr_1^2} + \frac{d^2}{dr_2^2} \right) - \frac{2}{r_1} - \frac{2}{r_2} + \frac{1}{r_{12}}$$

Z Elektron mit Coulomb-WV und Abstand r_{12}
in Feld eines Kerns mit Ladung $Z=2$.

Ohne Ww wäre die Wellenföhl (der Elektroen; kein wird festgehalten).

$$\psi(\vec{r}_1, \vec{r}_2) = \psi_{100}(\vec{r}_1) \psi_{100}(\vec{r}_2)$$

$$\text{mit } \varphi_{100}(r) = \frac{z^{3/2}}{\sqrt{\pi}} e^{-z^2}.$$

Die Energie der UF $\psi = \frac{z^3}{\pi} e^{-z(r_1+r_2)}$ mit $z=2$
 liefert bei Ignorieren des WW (!):

$$E = 2 \cdot \left(-\frac{\frac{e^2}{2}}{r} \right) = -8 \text{ eV} = -108.8 \text{ eV}$$

Exp : $E_{\gamma} = 78.1 \text{ eV}$ ↗ WW wichtig !

(Achty: Das war keine Versetzung, da \tilde{H} nicht vollständig!)

Variety as result:

$$\psi(r_1, r_2; z) = \frac{z^3}{r_1 r_2} e^{-z(r_1 + r_2)}$$

mit λ als freiem Parameter (Abstirz !).

$$\text{Rechnung ergibt: } E(z) = -(4z - z^2 - \frac{5}{3}z) \quad [\text{a.v.}]$$

$$Mm: \quad z_0 = 2 - \frac{5}{16}$$

$$E(z) = -(2 - 5/16)^2 [e.v.] \approx -77.5 \text{ eV} \quad (!)$$

$$> E_0$$

12. Topologie und Berry-Phasen

12.1. Aharonov-Bohm-Effekt

Gefadeter Teilchen auf Ring,

Magnetfeld durch Ringmitte \rightarrow Fluss $\phi = \oint d\vec{r} \cdot \vec{B}$

$$\vec{B} = \vec{A}_0 \hat{\vec{z}}, \vec{A} = \vec{A}_{1/2\pi} \hat{e}_\phi + \frac{1}{2} \frac{\partial \chi(\phi)}{\partial \phi} \hat{e}_\phi$$

$$\oint d\vec{r} \cdot \vec{A}$$



Bewegung effektiv ein-dimensional.

Auf Ring

$$\chi(\phi) = \phi(\phi + 2\pi)$$

Ohne Feld:

$$\hat{H} = -\frac{\hbar^2}{2mR^2} \frac{\partial^2}{\partial \phi^2}$$

$$\hat{p} = \frac{\hbar}{R} \frac{\partial}{\partial \phi}$$

Mit Feld:

$$\hat{H} = \frac{1}{2mR^2} \left(\frac{\hbar^2}{\partial \phi^2} - e\hbar A_\phi \right)^2$$

($\vec{p} \rightarrow \vec{p} - e\vec{A}$)

$$\text{Lösung: } \psi_n = C e^{in\phi} e^{-iE\chi(\phi)/\hbar}$$

$$E_n = \frac{1}{2mR^2} \left(\hbar n - \frac{e\phi_0}{2\pi} \right)^2 = \frac{\hbar^2}{2mR^2} \left(n + \frac{\phi_0}{\Phi_0} \right)^2$$

$$\Phi_0 = \frac{\hbar}{|e|} \text{ Flussquant}$$

Energien diskret; hängen nur von Fluss Φ ab.

Energien hängen von $\vec{A}(b)$ ab, obwohl Teilchen nicht im Magnetfeld ist.

Energiespektrum ist periodisch in \vec{A}/Φ_0 .

Einfachheit: Lokal kann \vec{A} wegtanomiert werden $\frac{\partial \chi(\phi)}{\partial \phi} = -\frac{\Phi}{2\pi}$.

$$H = \frac{1}{2m} \left(\frac{\hbar}{i} \frac{\partial}{\partial \phi} - e\vec{A} \right)^2 \rightarrow H = -\frac{\hbar^2}{2m} \frac{\partial^2}{\partial \phi^2}$$

Daher Phase in WF:

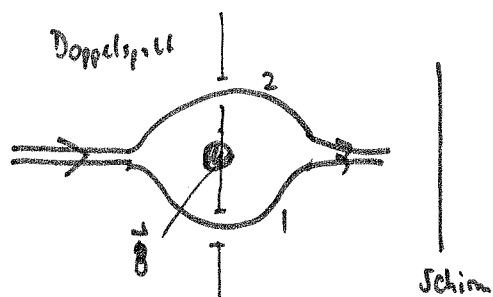
$$\psi(r) = \exp \left(-\frac{ie}{\hbar} \int_r^r dr' \vec{A}(r') \right) \psi_0(r) \quad \downarrow \text{Matrix!}$$

25.6.

Achtung: $\oint d\vec{r} \cdot \vec{A} = \Phi$ ist dimensionslos $\rightarrow \vec{A}$ lässt sich nur lokal wegtanomieren!

Bisher : Eigenwerte all in Aharonov-Bohm- Geometrie

Jetzt : Interferenz experiment



$$\Phi = 0: \quad \psi_{10} = |\psi| e^{i \alpha_1(\vec{r})}$$

$$\psi_{20} = |\psi| e^{i \alpha_2(\vec{r})}$$

$$|\psi_1 + \psi_2|^2 = 2|\psi|^2 (1 + \cos \Delta\phi)$$

$$\circ \quad \Phi \neq 0: \quad \psi_1 = e^{-i \frac{e}{\hbar} \int_1^{\vec{r}} d\vec{r}' \cdot \vec{A}(\vec{r}')} \cdot \psi_{10}, \quad \Phi = \int_1^{\vec{r}} d\vec{r} \cdot \vec{A}(\vec{r})$$

$$\psi_2 = e^{-i \frac{e}{\hbar} \int_2^{\vec{r}} d\vec{r}' \cdot \vec{A}(\vec{r}')} \cdot \psi_{20}, \quad - \int_2^{\vec{r}} d\vec{r} \cdot \vec{A}(\vec{r})$$

$$\sim |\psi_1 + \psi_2|^2 = 2|\psi|^2 \left[1 + \cos \left(\Delta\phi - 2\pi \frac{\Phi}{\Phi_0} \right) \right]$$

Interferenzbild verschobt sich mit Φ !

QT1-Bewegung wird nicht allein durch lokale Bilder \vec{B}, \vec{E} bestimmt!

\circ Man kann auch mehrfachen Umlauf um Punkt interessiert betrachten.



Phase hängt nur von der Anzahl der Umläufe ab, nicht von konkreter Weg!

(Topologie des Weges = Umlaufzähler ist relevant)

13.2. Adiabatischer Transport und Berry-Phasen

Betrachte Hamilton-Op mit Parameter \vec{R} .

Eigenfkt:

$$\hat{H}(\vec{R}) |\phi(\vec{r})\rangle = E(\vec{R}) |\phi(\vec{r})\rangle$$

(Wir behauptet ist $e^{i\alpha(\vec{r})} |\phi(\vec{r})\rangle$ und EF zum gleichen EW.)

Zehlt Transport im Parameterraum $\vec{R}(t)$.

z.B. 1d Potential topf der Länge L . Zehlt $L(t)$, d.h.

Topf expandiert mit Zeit.

Im folgenden speziell: Adiabatisches Transport, d.h. $\vec{R}(t)$ ändert sich langsam, so daß im Grundzustand befreitliches System im Grundzustand $|\phi_0(\vec{r})\rangle$ bleibt. (Dr WF folgt adiabatisch dem Grundzustand von $\hat{H}(\vec{R})$.)

Dann:

$$|\psi(t=0)\rangle = |\phi(\vec{r}(t=0))\rangle$$

$$|\psi(t)\rangle = e^{i\alpha(t)} |\phi(\vec{r}(t))\rangle$$

Im folgenden: Phase $\alpha(t)$ bestimmen. dynamische Phase

Versuch: $|\psi(t)\rangle \stackrel{?}{=} \exp\left(-\frac{i}{\hbar} \int_0^t dt' E(t')\right) |\phi(\vec{r}(0))\rangle$

Falls \hat{H} zeitabh., dann ist das sicher herzuleiten. Sonst nicht!!!

Ausah: $|\psi(t)\rangle = e^{i\gamma^{(t)}} \exp\left(-\frac{i}{\hbar} \int_0^t dt' E(t')\right) |\phi(\vec{r}(0))\rangle$

Einschr in SGL: $(i\hbar \partial_t - H(t)) |\psi(t)\rangle = 0$; und $\langle \phi(\vec{r}(t)) |$

$$\dot{\gamma}^{(t)} = i \langle \phi(\vec{r}(t)) | \frac{d}{dt} |\phi(\vec{r}(t))\rangle$$

OB = ist diese Phase $\gamma(t)$ physikalisch (beobachtbar)?

WF nur bis auf Phasen definiert. z.B. (Eid) trifft:

$$|\phi'(t)\rangle = e^{i\chi(t)} |\phi(t)\rangle$$

$$\sim i \langle \phi'(t) | \frac{d}{dt} |\phi(t)\rangle = i \langle \phi(t) | \frac{d}{dt} |\phi(t)\rangle - \frac{d\chi(t)}{dt}$$

Kann man also $\gamma(t)$ komplett wegtransformieren?

Betrachte geschlossenen Weg im Parameterraum $\vec{R}(T) = \vec{R}(0)$. Daraus

$$\sim i \oint_C \langle \phi(t) | \frac{d}{dt} |\phi(t)\rangle dt = i \oint_C \langle \phi(t) | \frac{d}{dt} |\phi(t)\rangle dt - (\chi(T) - \chi(0))$$

Da WF bei $R(t+\tau) = R(t+\tau)$ eindeutig sein muss, muss

$\chi(T) = \chi(0) = 2\pi n$ gelten. \sim Phase γ , die bei einem geschlossenen Verlauf im Parameterraum entsteht, ist unabhängig von χ (Basiswahl) und kann nicht wegtransformiert werden.

$$\begin{aligned} \gamma(C) &= \int_C d\vec{r} \gamma = \int_0^T dt \int \vec{j}(t) \\ &= i \int_0^T dt \langle \phi(t) | \frac{d}{dt} |\phi(t)\rangle = i \int \vec{A} \cdot \vec{B} \langle \phi(\vec{r}) | \frac{d}{d\vec{r}} |\phi(\vec{r})\rangle \\ &\quad |\phi(\vec{r}(t))\rangle \end{aligned}$$

Die Berry-Phase $\gamma(C)$ hängt nur vom Weg C im Parameterraum, nicht vom konkreten Zeitablauf (t ist weggelassen).

\rightarrow Geometrische Phase (M.V. Berry, 1984)

$$\text{Kurzschreibweise } \gamma(C) = \oint_C d\vec{r} \vec{A}(\vec{r}), \quad \vec{A} := i \langle \phi(\vec{r}) | \frac{d}{d\vec{r}} |\phi(\vec{r})\rangle$$

\vec{A} = geometrisches „Vektorpotential“

$\vec{B} = \text{rot } \vec{A}$ zugehöriges geometrisches „Magnetfeld“, $\gamma = \iint_C d\vec{r} \vec{B}$

\vec{A} nicht lichtinvariant, \vec{B} lichtinvariant

Flux $\iint_C \vec{B} \cdot \vec{\delta} = \oint_C \vec{A}$ lichtinvariant!

Beispiel: System mit 2 Zuständen

$$\hat{H} = \vec{k} \cdot \vec{\sigma} = \begin{pmatrix} t & x+iy \\ x-iy & -t \end{pmatrix}$$

$$E_{1,2} = \pm R$$

Jekt Berry = „Magnet field“ ausrednen. Thürk ist allgemein:

$$\tilde{B}_n = i \operatorname{rot} \langle \phi_n(\vec{r}) | \frac{d}{dr} \phi_n(r) \rangle = i \left\langle \frac{d\phi_n}{dr} \right| \times \frac{d\phi_n}{dr} \downarrow^{306,}$$

$$= i \sum_m \left\langle \frac{d\phi_n}{dr} | \phi_m \right\rangle \times \left\langle \phi_m | \frac{d\phi_n}{dr} \right\rangle \quad \begin{pmatrix} \text{beide } m=n \text{ ist Null,} \\ \text{da } |\phi_n\rangle \text{ normal.} \end{pmatrix}$$

$$\langle \phi_m | \frac{d\phi_n}{dx} \rangle = \frac{1}{E_n - E_m} \left[\langle \phi_m | \frac{dH\phi_n}{dx} \rangle - \langle H\phi_m | \frac{d\phi_n}{dx} \rangle \right]$$

$$= \frac{1}{E_n - E_m} \langle \phi_m | \frac{d}{dx} H - H \frac{d}{dx} | \phi_n \rangle = \frac{\langle \phi_m | \frac{dH}{dx} | \phi_n \rangle}{E_n - E_m}$$

$$\tilde{B}_n = i \sum_{m \neq n} \frac{\langle \phi_n | \frac{dH}{dx} | \phi_m \rangle \times \langle \phi_m | \frac{dH}{dx} | \phi_n \rangle}{(E_n - E_m)^2}$$

Nun speziell für $\hat{H} = 2 \cdot \hat{\sigma}_z$:

Expect for $\vec{R} \parallel \hat{z}$ (ϕdA): $|\psi_1\rangle = |\uparrow\rangle$

$$B_1^+ = i \frac{\langle 1 | \sigma_x | 1 \rangle \langle 1 | \sigma_y | 1 \rangle - \langle 1 | \sigma_y | 1 \rangle \langle 1 | \sigma_x | 1 \rangle}{4\epsilon^2}$$

$$= i \frac{\cancel{\langle 1 | \sigma_x \sigma_y - \sigma_y \sigma_x | 1 \rangle}}{4\epsilon^2} = \frac{1}{2\epsilon^2}$$

$$B_{1,2}^{\pm t} = \pm \frac{1}{2z^2} \left(\alpha \lg \frac{R_1}{R_2} + \frac{R_1^t}{2R_2^t} \right)$$

Dies „Magnetfeld“ hat Monopolform! dir ist es am Uebergang.

Jetzt Berry-Phase:

$$\begin{aligned}\gamma_{1,2}(C) &= \iint_C d\vec{r} \cdot \vec{\theta} = \int_{\partial C} g \quad \text{Monopolstärke} = \mp \frac{1}{2} \\ &= \mp \frac{1}{2} \Omega_2(C)\end{aligned}$$


Berry-Phase bestimmt durch Raumwinkel Ω_2 der von Kurve C begrenzten Kreisfläche.

Raumwinkel mod 4π \sim Berry-Phase mod 2π .

Allg.: Falls $\hat{n}(i)$ keine Startpunkt im \vec{k} -Raum hat, dann $\gamma(C)=0$.

Wie kann Berry-Phase gemessen werden?

Interferenzexperiment kann Phasendifferenzen nachweisen.

Langsame Parameteränderung nötig.

Exp. Tomita / Chiao 1986

Gekrümmtes Glasfaserkabel.
dünnes \downarrow Photon
 \downarrow Spin folgt lokaler Richtung des Kabels
1 Node \downarrow wegen $s \parallel k$.

(Photon $s=1$, aber $s \perp k$ bleiben wg Transversalität d. Feldes)

Parameter \vec{R} ist \vec{k} .

Lichtstrahl auf Zylinder geworfen.



$$\gamma(C) = \pm \Omega_2(C) \quad (s=1)$$



Berry-Phase praktisch wichtig für

- Molekülspalten (Atom-Ort ist Parameter)
- Chem. Reaktionen

Klassischer Vektor parallel transport:

Gekrümmtes Raum, z.B. Kugeloberfläche

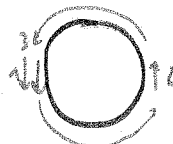
Transport eines Vektors entlang Kugeloberfläche

(entlang Geodäten sticken \Rightarrow Großecke, wobei Vektor Lage zur Geodäte nicht ändert)

Bei geschlossenen Weg hängt Winkel ab von Weg!



$$\Omega_2 = \pi$$



$$\Omega_2 = 2\pi$$

$$\text{Allg } \gamma(c) = \Omega(c)$$

$(\Omega$ ist Winkelwinkel des Weges von
Zentrum der Kugel aus gesehen.)

Vektorparalleltransport ist klassisches Analogon zur Berry-Phase!

(Berry-Phase entfällt \Leftrightarrow nicht!)

14. Identische Teilchen

14.1. Ununterscheidbarkeit in der QT

Elementare Teilchen der gleichen Sorte sind klassisch nur durch das Markieren der Bahkurve $\tilde{r}_i(t)$ unterscheidbar.

In einem q.m. Zustand ergibt das Verändern zweier identischer Teilchen keinen neuen Zustand.

Oder: WW-Prozeß



nach WW 1 & 2 nicht mehr voneinander unterscheidbar

14.2. Bose- und Fermiteilchen

Vertauschung \rightarrow kein neuer Zustand (gesamt N Teilchen)

$$|\phi(x_1, \dots, x_k, x_e, \dots, x_N)|^2 = |\phi(x_1, \dots, x_k, x_e, \dots, x_N)|^2$$

$$\hat{P}_{kl} \phi(x_1, \dots, x_k, x_e, \dots, x_N) = \hat{P}_{kl} \phi(x_1, \dots, x_k, x_e, \dots, x_N) = e^{ik\alpha} \phi(\dots x_k x_e \dots)$$

Operator, der k und l vertauscht

Zweimal vertauschen: $\hat{P}_{kk}^2 = 1 \quad \sim e^{i2k\alpha} = 1, \quad e^{i2k\alpha} = \pm 1$

(Achtung: Dies gilt in 3d, aber nicht in 1d, 2d \rightsquigarrow Anyons)

Quantum field theory: Spin-Statistik-Theorem $s=n \quad \sim e^{i2k\alpha} = +1$
 $s=n+\frac{1}{2} \quad \sim e^{i2k\alpha} = -1$

Bosonen	$\phi(\dots, x_k \dots x_e \dots) = + \phi(\dots x_e \dots x_k \dots)$
---------	--

Fermionen	$\phi(\dots, x_k \dots x_e \dots) = - \phi(\dots x_e \dots x_k \dots)$

Dabei ist x die Zusammenfassung aller Variablen (Ort, Spm., ...)

Bosonen: Pion, Kaon ($s=0$), Photon ($s=1$), Graviton ($s=2$)

Fermionen: Neutrino ($s=\frac{1}{2}$), Elektron, Myon ($s=\frac{1}{2}$), Quarks ($s=\frac{1}{2}$), Nukleonen ($s=\frac{1}{2}$), Λ -Hyperon ($s=\frac{3}{2}$)

Pauli-Prinzip für Fermionen:

$$\boxed{x_k = x_i} \quad \phi(\dots, x \dots x \dots) = -\phi(\dots x \dots x \dots) \quad \leadsto \phi = 0$$

27.06
↓

14.3. Wellenfkt für Wechselwirkungsfreie Teilchen

$$\hat{H} = \sum_{i=1}^N \hat{h}(x_i)$$

Vollständiges System von Einzelpartikelzuständen $\{\psi_\alpha(x)\}$

Unterscheidbare Teilchen $\phi(x_1, x_2) = \psi_\alpha(x_1) \cdot \psi_\beta(x_2)$

($N=2$)

Ungleichwertige Teilchen $\phi(x_1, x_2) = C (\psi_\alpha(x_1) \psi_\beta(x_2) \pm \psi_\alpha(x_2) \psi_\beta(x_1))$

Falls $\alpha = \beta$ (zwei Teilchen in gleichem Einzelpartikelzustand)

$$\phi(x_1, x_2) = \begin{cases} \psi_\alpha(x_1) \psi_\alpha(x_2) & \text{Bosonen} \\ 0 & \text{Fermionen} \end{cases}$$

Pauli:

Zehn N Teilchen. Unterscheidbar: $\phi = \psi_{\alpha_1}(x_1) \dots \psi_{\alpha_N}(x_N)$

Bosonen:

$$\phi = C \sum_{\text{(Permutation)}} \psi_{\alpha_1}(x_{p_1}) \dots \psi_{\alpha_N}(x_{p_N})$$

Fermionen $\phi = C \sum_p (-1)^p \psi_{\alpha_1}(x_{p_1}) \dots \psi_{\alpha_N}(x_{p_N})$

$$C = \frac{1}{N!}$$

Antisymm. WF für Fermionen läßt sich schreiben als:

$$\psi = C \begin{vmatrix} \psi_{\alpha_1}(x_1) & \psi_{\alpha_2}(x_1) & \dots & \psi_{\alpha_N}(x_1) \\ \vdots & & & \\ \psi_{\alpha_1}(x_N) & \dots & & \psi_{\alpha_N}(x_N) \end{vmatrix} \quad \leftarrow \begin{array}{l} 1 \text{ Zeile } \stackrel{?}{=} \\ 1 \text{ Teilchen} \end{array}$$

↑
1 Spalte
1 Teilch. ψ_α

SLETTER - Determinante

Eigenschaften des Determinante garantieren Antisymmetrie bzgl. beliebiger Vertauschung zweier Teilchen.

Pauli-Prinzip: $\alpha_i = \alpha_n \rightsquigarrow \psi = 0$

Kurzschreibweise $\psi = |\alpha_1 \dots \alpha_N\rangle$ enthält schon Sym. Antisym. der WF

$$|\alpha_1 \dots \alpha_k \alpha_l \dots \alpha_N\rangle = \pm |\alpha_1 \dots \alpha_l \alpha_k \dots \alpha_N\rangle$$

Die x_i enthalten Ort $\underline{\pm}$ Spin.

Explizit für Fermionen mit Spin $\frac{1}{2}$, mit $\hat{H} = \hat{h}_r(\vec{r}) + \hat{h}_s(s)$

1 Teilchen $\psi(x) = \psi(\vec{r}, s) = \varphi(\vec{r}) \chi(s)$

Spin-Eigenzustände in S_z -Basis: $\chi(s) = |T, +\rangle$.

2 Teilchen $\psi(\alpha_1, x_1) = \varphi(r_1, r_2) \chi(s_1, s_2)$

Spin-Eigenzustände: Singulett $\chi = (T_L - iT)/\sqrt{2}$

Triplette $\chi = \begin{cases} \uparrow\uparrow \\ \downarrow\downarrow \\ (T_L + iT)/\sqrt{6} \end{cases}$

Für ununterscheidbare Spin- $\frac{1}{2}$ -Teilchen fordern Antisymmetrie oder Gesamt-WF.

\rightsquigarrow Singulett: $\psi(x_1, x_2) = \frac{1}{2} (\varphi_\alpha(r_1) \varphi_\beta(r_2) + \varphi_\beta(r_1) \varphi_\alpha(r_2)) (T_L - iT)$

Triplette: $\psi(x_1, x_2) = \frac{1}{\sqrt{2}} (\varphi_\alpha(r_1) \varphi_\beta(r_2) - \varphi_\beta(r_1) \varphi_\alpha(r_2)) \begin{cases} \uparrow\uparrow \\ \downarrow\downarrow \\ (T_L + iT)/\sqrt{6} \end{cases}$

\rightsquigarrow Singulett hat symmetrisches Ortsbeitrag des WF!

14.4. Besetzungszahlen und Fock-Raum

Einzelchen Zustände $\{\psi_\alpha\}$ können n_α -fach besetzt werden:

Besetzungszahlen $n_\alpha = 0, 1$ Fermionen
 $n_\alpha = 0, 1, 2, \dots$ Bosonen

$$\text{Gesamt-WF } \phi = |\alpha_1 \dots \alpha_N\rangle \rightarrow |n_1 n_2 \dots\rangle = |n_\alpha\rangle$$

Angabe der Besetzungszahlen (für Fkt. ψ_α)

charakterisiert Zustand vollständig!

Teilchenzahl $N = \sum_\alpha n_\alpha$

Vorleschenkonvention für Fermionen:

$$|\alpha_1 \dots \alpha_N\rangle = |n_\alpha\rangle \quad \text{für } \alpha_1 < \alpha_2 < \dots < \alpha_N,$$

d.h. Zustände nach steigender Quantenzahl sortiert

Allgemeiner Zustand des Gesamtsystems:

$$\phi = \sum_{\{n_\alpha\}} \phi_{\{n_\alpha\}} |n_\alpha\rangle$$

$$\{n_\alpha\} = \{n_{\alpha_1}, \dots\} \text{ mit } \sum n_\alpha = N$$

Fock-Raum: Raum der WF $|n_\alpha\rangle$,

Teilchenzahl nicht fixiert, d.h. Überlagerung von Zust. mit versch. N

Übergang eines Ele.-Teilchen-Systems $\psi_\alpha \rightarrow \psi_\beta$ heißt also:

Vermittle ein Teilchen in α ($n_\alpha : 1 \rightarrow 0$), entziele ein Ti. in β ($\psi_\beta : 0 \rightarrow 1$).

14.5. Erzeugungs- und Vernichtungsoperatoren für Fermionen

Zustand $|\alpha_1 \dots \alpha_N\rangle$

Hinzufügen eines Teilchens im Zustand $\alpha \rightarrow$ Erzeugungsoperator a_α^\dagger

$$a_\alpha^\dagger |\alpha_1 \dots \alpha_N\rangle = \begin{cases} |\alpha \alpha_1 \dots \alpha_N\rangle & \alpha \neq \alpha_i; \forall i \\ 0 & \exists i: \alpha = \alpha_i \end{cases}$$

$$\begin{aligned} a_\beta^\dagger a_\alpha^\dagger |\alpha_1 \dots \alpha_N\rangle &= |\beta \alpha_1 \dots \alpha_N\rangle = - |\alpha \beta \alpha_1 \dots \alpha_N\rangle \\ &= - a_\alpha^\dagger a_\beta^\dagger |\alpha_1 \dots \alpha_N\rangle \end{aligned}$$

○ $\Rightarrow [a_\alpha^\dagger, a_\beta^\dagger]_+ = 0$ Antikommutator ($a_h^{+2} = 0$)

$$|\alpha_1 \dots \alpha_N\rangle = a_{\alpha_1}^\dagger \dots a_{\alpha_N}^\dagger |0\rangle, |0\rangle \text{ Vakuum mit } N=0 \text{ Teilchen}$$

Matrixelemente:

$$\langle \alpha_N \dots \alpha_1 | a_\alpha^\dagger | \alpha_1 \dots \alpha_N \rangle = 1, \text{ alle anderen Matr. mit } a_\alpha^\dagger |\alpha_1 \dots \alpha_N\rangle \text{ sind Null.}$$

Adjungierter Operator:

$$\langle \alpha_N \dots \alpha_1 | a_\alpha | \alpha_1 \dots \alpha_N \rangle = 1, \text{ alle anderen Null.}$$

○ $a_\alpha | \alpha_1 \dots \alpha_N \rangle = |\alpha_1 \dots \alpha_N \rangle \quad a_\alpha \text{ Vernichtungsoperator}$

allg $a_\alpha | \alpha_1 \dots \alpha_k \alpha \alpha_{k+1} \dots \alpha_N \rangle = (-1)^k |\alpha_1 \dots \alpha_N \rangle$

$$a_\alpha | \alpha_1 \dots \alpha_N \rangle = 0, \text{ da } \alpha \text{ nicht vorhanden in } |\alpha_1 \dots \alpha_N \rangle$$

$[a_\alpha, a_\beta]_+ = 0$

Teilchen kann nicht zweimal vernichtet werden: $a_\alpha^2 = 0$.

Besetzungszahl formalismus:

$$|\alpha_1 \dots \alpha_N\rangle = |n_1 \dots \rangle \quad \alpha_1 < \alpha_2 < \dots < \alpha_N$$

$$\alpha_d^+ |\alpha_1 \dots \alpha_N\rangle = |\alpha_{\alpha_1} \dots \alpha_N\rangle = (-1)^k |\alpha_1 \dots \alpha_k \alpha_{k+1} \dots \alpha_N\rangle$$

\uparrow
"richtige Stelle"

$$\alpha_d^+ |n_1 \dots n_d=0 \dots \rangle = |n_1 \dots n_d=1 \dots \rangle \quad (-1)^k \quad (k = \sum_i n_i)$$

$$\alpha_d^+ | \dots n_d=1 \dots \rangle = 0$$

$$\alpha_d^+ | \dots n_d=0 \dots \rangle = 0$$

$$\alpha_d^+ | \dots n_d=1 \dots \rangle = (-1)^k | \dots n_d=0 \dots \rangle$$

$$\alpha_d^+ \alpha_d^+ | \dots n_d=0 \dots \rangle = 0$$

$$\alpha_d^+ \alpha_d^+ | \dots n_d=1 \dots \rangle = | \dots n_d=1 \dots \rangle$$

$$\boxed{\alpha_d^+ \in \text{Besetzungszahloperator}} \quad \alpha_d^+ \alpha_d^+ | \dots n_d \dots \rangle = n_d | \dots n_d \dots \rangle$$

Fermionen: 0, 1

$$(\alpha_d^+ + \alpha_\alpha^+ \alpha_\alpha) | \dots n_d=1 \dots \rangle = | \dots n_d=1 \dots \rangle$$

$$(\alpha_d^+ \alpha_\alpha^+ + \alpha_\alpha^+ \alpha_\alpha) | \dots n_d=0 \dots \rangle = | \dots n_d=0 \dots \rangle$$

7.4
↓

≈

$$\boxed{[\alpha_\alpha^+, \alpha_\beta^+]_+ = 1}$$

aufstellen

(durchlängen)

$$[\alpha_\alpha^+, \alpha_\beta^+]_+ = 0 \quad \alpha \neq \beta$$

Insgesamt

$$\boxed{[\alpha_\alpha^+, \alpha_\beta^+]_+ = \delta_{\alpha\beta}}$$

$$[\alpha_\alpha^+, \alpha_\beta^+]_+ = [\alpha_\beta^+, \alpha_\alpha^+]_+ = 0$$

(definiert alle Eigenschaften)
der Energie & Verteilung

14.7. Darstellung von Operatoren

Ein Teilchenoperator:

$$\hat{A} |\psi_\alpha\rangle = \sum_\beta A_{\beta\alpha} |\psi_\beta\rangle$$

$$\langle \psi_\gamma | \hat{A} | \psi_\alpha \rangle = \sum_\beta A_{\beta\alpha} \underbrace{\langle \psi_\gamma | \psi_\beta \rangle}_{\delta_{\gamma\beta}} = A_{\gamma\alpha} \quad (\text{Matrixelemente von } \hat{A})$$

In Fock-Raum-Notation:

$$\hat{A} |\alpha\rangle = \sum_\beta A_{\beta\alpha} |\beta\rangle = \sum_\beta A_{\beta\alpha} a_\beta^+ a_\alpha |0\rangle$$

\hat{A} wirkt auf Viertteilenzustand:

$$\sum_{i=1}^N \hat{A}(i) |\alpha_1 \dots \alpha_N\rangle = \sum_i \sum_\beta A_{\beta i} |\alpha_1 \dots \cancel{\alpha_i} \dots \alpha_N\rangle$$

$$\hat{A} \text{ auf jedem Teilchen} = \sum_i \sum_\beta A_{\beta i} a_\beta^+ a_{\alpha_i} |\alpha_1 \dots \alpha_N\rangle$$

evtl. Vereinfachung kann verschwinden

$$= \sum_\beta A_{\beta\alpha} a_\beta^+ a_\alpha |\alpha_1 \dots \alpha_N\rangle$$

$$\sim \boxed{\sum_i \hat{A}(i) = \sum_{\alpha\beta} A_{\beta\alpha} a_\beta^+ a_\alpha}$$

14.6. Transformation von Erzeugungs- und Verzerrungsoperatoren

Bisher: Basiszustände ψ_α beliebig

$$\text{Trafo } \psi_\alpha \rightarrow \psi_\beta : \quad |\psi_\beta\rangle = \sum_\alpha a_{\beta\alpha} |\psi_\alpha\rangle = \sum_\alpha |\psi_\alpha\rangle \langle \psi_\alpha | \psi_\beta \rangle$$

$$\langle \psi_\beta | \psi_\beta \rangle = \sum_\alpha \langle \psi_\beta | \psi_\alpha \rangle a_{\beta\alpha} = a_{\beta\beta}$$

Trafo der Op:

$$b_\beta^+ = \sum_\alpha a_{\beta\alpha} a_\alpha^+$$

$$b_\beta^- = \sum_\alpha a_{\beta\alpha}^* a_\alpha \quad a_{\beta\alpha}^* = \langle \psi_\beta | \psi_\alpha \rangle$$

Kommutatoren: $[b_\delta^+, b_\gamma^+]_+ = \sum_{\alpha\beta} a_{\delta\alpha} a_{\gamma\beta} [a_\alpha^+, a_\beta^+]_+ = 0$

$$[b_\delta^-, b_\gamma^+]_+ = \dots = 0$$

$$[b_\delta^-, b_\gamma^+]_+ = \sum_{\alpha\beta} a_{\delta\alpha}^* a_{\gamma\beta} [\underbrace{a_\alpha^+, a_\beta^+}]_+ = \sum_\alpha a_{\delta\alpha}^* a_{\delta\alpha}$$

$$= \sum_\alpha \underbrace{\langle \psi_\delta | \psi_\alpha \rangle}_{\perp} \underbrace{\langle \psi_\gamma | \psi_\beta \rangle}_\parallel \delta_{\alpha\beta} = \delta_{\delta\gamma} //$$

Speziell Orthogonalstellung: $\beta \rightarrow \vec{R}$, $b_\beta^+ \rightarrow \hat{\psi}^+(\vec{r})$

Eigenfunktion $\psi_\beta \rightarrow \delta(\vec{r} - \vec{R})$

$$a_{\beta\alpha} \rightarrow \int d^3r \psi_\alpha^*(\vec{r}) \delta(\vec{r} - \vec{R}) = \psi_\alpha^*(\vec{R})$$

Trafo: $\hat{\psi}^+(\vec{r}) = \sum_\alpha \psi_\alpha^*(\vec{r}) a_\alpha^+ ; \quad a_\alpha^+ = \int d^3R \hat{\psi}^+(\vec{r}) \psi_\alpha(\vec{R})$

$$\hat{\psi}^-(\vec{r}) = \sum_\alpha \psi_\alpha(\vec{r}) a_\alpha^- ; \quad a_\alpha^- = \int d^3R \hat{\psi}^-(\vec{r}) \psi_\alpha^*(\vec{R})$$

$$[\hat{\psi}^+, \hat{\psi}^+]_+ = [\hat{\psi}, \hat{\psi}]_+ = 0 ; \quad [\hat{\psi}(\vec{r}), \hat{\psi}^-(\vec{r}')]_+ = \delta(\vec{r} - \vec{r}')$$

Nämlich: $[\hat{\psi}(\vec{r}), \hat{\psi}^-(\vec{r}')]_+ = \sum_\alpha \psi_\alpha(\vec{r}) \psi_\alpha^*(\vec{r}') [\underbrace{a_\alpha^+, a_\alpha^+}]_+ = \sum_\alpha \psi_\alpha(\vec{r}) \psi_\alpha^*(\vec{r}')$

$$= \sum_\alpha \langle \vec{r}' | \alpha \rangle \langle \alpha | \vec{r} \rangle = \delta(\vec{r} - \vec{r}')$$

vollst. orth. norm. System

Dichte: $\hat{n}_\alpha = a_\alpha^+ a_\alpha^- \rightarrow \hat{n}(\vec{r}) = \hat{\psi}^+(\vec{r}) \hat{\psi}^-(\vec{r})$

$$\hat{N} = \int d^3r \hat{\psi}^+(\vec{r}) \hat{\psi}^-(\vec{r})$$

Zweiteilchenoperator:

$$\hat{V}(1,2) \psi_\alpha(1) \psi_\beta(2) = \sum_{\gamma\delta} V_{\gamma\delta,1,2} \psi_\gamma(1) \psi_\delta(2)$$

$$\hat{V}_{\gamma\delta,1,2} = \langle \gamma\delta | \hat{V}(1,2) \rangle = \int d^3r_1 d^3r_2 \psi_\gamma^*(1) \psi_\delta^*(2) V(1,2) \psi_\alpha(1) \psi_\beta(2)$$

\uparrow Symmetrie nicht! Mein!

(Matrixelement von V)

\hat{V} wirkt auf Vierteilchenzustand:

$$\frac{1}{2} \sum_{i \neq k} \hat{V}(i,k) |\alpha_1 \dots \alpha_N\rangle = \frac{1}{2} \sum_{i \neq k} \sum_{\gamma\delta} V_{\gamma\delta,i,k} |\alpha_1 \dots \cancel{\alpha_i} \dots \cancel{\alpha_k} \dots \alpha_N\rangle$$

\uparrow

Doppelzählung von Paaren verhindern

$$= \frac{1}{2} \sum_{i \neq k} \sum_{\gamma\delta} V_{\gamma\delta,i,k} a_\gamma^\dagger a_\delta^\dagger a_{\alpha_k}^\dagger a_{\alpha_i} |\alpha_1 \dots \alpha_N\rangle$$

Reihenfolge wichtig: erst vermischen, dann in umgekehrter Reihenfolge erzeugen!

Reihenfolge! Falsch wäre

$$\begin{aligned} a_\delta^\dagger a_{\alpha_k} a_\gamma^\dagger a_{\alpha_i} &= - a_\delta^\dagger a_\gamma^\dagger a_{\alpha_k} a_{\alpha_i} + a_\delta^\dagger a_{\alpha_i} \delta_{\alpha_k \gamma} \\ &= a_\gamma^\dagger a_\delta^\dagger a_{\alpha_k} a_{\alpha_i} + \text{---} \end{aligned}$$

\uparrow richtig \uparrow Zusatsterm

$$\begin{aligned} \text{zb: } a_\gamma^\dagger a_{\alpha_1} a_\delta^\dagger a_{\alpha_2} |\alpha_1 \alpha_2\rangle &= a_\gamma^\dagger a_\delta^\dagger a_{\alpha_2} a_{\alpha_1} |\alpha_2 \alpha_1\rangle + \delta_{\alpha_2 \gamma} a_\delta^\dagger a_{\alpha_1} |\alpha_1 \alpha_2\rangle \\ &= (1 - \delta_{\alpha_2 \gamma}) |\gamma\delta\rangle \quad (\alpha_2 kann nicht zweimal eingesetzt werden) \end{aligned}$$

Damit:

$$\frac{1}{2} \sum_{i \neq k} \hat{V}(i,k) = \frac{1}{2} \sum_{\alpha\beta\gamma\delta} V_{\gamma\delta,\alpha\beta} a_\gamma^\dagger a_\delta^\dagger a_\beta a_\alpha$$

$$V_{\gamma\delta,\alpha\beta} = \int d^3r_1 d^3r_2 \psi_\gamma^*(1) \psi_\delta^*(2) V(1,2) \psi_\alpha(1) \psi_\beta(2)$$

Hamilton-Op:

$$\hat{H} = \sum_i \hat{H}_0(i) + \frac{1}{2} \sum_{i \neq k} \hat{V}(i, k)$$

$$= \sum_{\alpha p} \hat{H}_{\alpha p}^0 a_p^\dagger a_\alpha + \frac{1}{2} \sum_{\alpha p \gamma \delta} V_{\gamma \delta, \alpha p} a_\gamma^\dagger a_\delta^\dagger a_p a_\alpha \quad (*)$$

Speziell: Sei $\{\psi_\alpha\}$ eine Basis am EF von \hat{H}_0 .

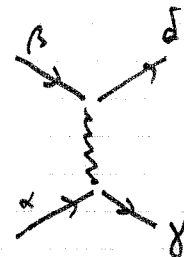
$$\hat{H}_0 \psi_\alpha = \epsilon_\alpha \psi_\alpha, \quad \hat{H}_{\alpha p}^0 = \delta_{ap} \epsilon_\alpha$$

$$\approx \hat{H} = \sum_\alpha \epsilon_\alpha n_\alpha + \frac{1}{2} \sum_{\alpha p \gamma \delta} V_{\gamma \delta, \alpha p} a_\gamma^\dagger a_\delta^\dagger a_p a_\alpha$$

$$SGL: -\frac{\hbar}{i} \frac{\partial \phi}{\partial t} = \hat{H} \phi$$

Entkoppelterm: nur Phase drückt

Zeitkettenterm



Obige Rezipro. ausschreiben:

$$\hat{H} = \sum_{\alpha p} a_p^\dagger \int d^3r \psi_p^*(r) \hat{H}_0 \underbrace{\psi_\alpha(r)}_{a_\alpha} a_\alpha$$

$$+ \frac{1}{2} \sum_{\alpha p \gamma \delta} a_\gamma^\dagger a_\delta^\dagger \int d^3r_1 d^3r_2 \psi_\gamma^*(r_1) \psi_\delta^*(r_2) V(1,2) \psi_\beta(r_2) \psi_\alpha(r_1) a_p a_\delta$$

Mit $\hat{\psi}^+(i) = \sum_\alpha \psi_\alpha(i) a_\alpha^\dagger$ etc. ist Übergang zur Ortdarstellung möglich:

$$\boxed{\hat{H} = \int d^3r \hat{\psi}^+(i) \hat{H}_0 \hat{\psi}(i) + \frac{1}{2} \int d^3r_1 d^3r_2 \hat{\psi}^+(1) \hat{\psi}^+(2) V(1,2) \hat{\psi}(2) \hat{\psi}(1) \hat{a}_p a_\delta}$$

Worauf will \hat{H}_0 ? auf $\hat{\psi}^+$?

(*)

(*) und (*) werden üblicherweise als 2. Quantisierung bezeichnet.

(\hat{H} sieht aus wie Erwartungswert.)

Diese Berechnung ist aber vorföhrend — entscheidend ist nur Basiswahl.

14. 8. Austauschenergie und Hartree-Fock-Näherung (Fermionen)

Vielteilchensystem ohne WW : $|\psi\rangle = |\alpha_1 \dots \alpha_N\rangle$ (Exaktes Grundzustand hat diese Form!)

-II- mit WW: $|\psi\rangle = \text{--II--}$ kann nur Näherung sein!

(In einem Wechselwirkenden System ist Vielkörperzustand i.e. nicht ein Produkt von Einkörperzuständen!)

Wenn man $|\psi\rangle = |\alpha_1 \dots \alpha_N\rangle$ als Näherungs-
Ansatze für die Vielkörper-WF benutzt, dann \leadsto Hartree-Fock-Näherung.

Vorher: $\hat{n}(\vec{r}) = \hat{\psi}^+(\vec{r}) \hat{\psi}(\vec{r})$ (Einzelchen-Dichte)

$$\hat{n}_2(\vec{r}, \vec{r}') = \hat{\psi}^+(\vec{r}) \hat{\psi}^+(\vec{r}') \hat{\psi}(\vec{r}') \hat{\psi}(\vec{r}) \quad \text{Zweikörperdichte}$$

(Erinnerung: $\hat{H}_{WW\text{-Potenzial}} = \frac{1}{2} \int d^3r_1 d^3r_2 V(r_{12}) \hat{n}_2(\vec{r}_1, \vec{r}_2)$)

Achtung: $\langle \hat{n}_2(\vec{r}, \vec{r}') \rangle \neq \langle \hat{n}(\vec{r}) \hat{n}(\vec{r}') \rangle = \langle \hat{\psi}^+(\vec{r}) \hat{\psi}(\vec{r}) \rangle \langle \hat{\psi}^+(\vec{r}') \hat{\psi}(\vec{r}') \rangle$

Auch ohne Wechselwirkung (nur aus Pauli-Prinzip, bzw.

Antisymmetrie des WF, siehe gleich)

Zehl: Berechnung von $\langle \hat{H} \rangle$ mit Produkt-WF-Ansatz

$$\langle \hat{H} \rangle = \langle \psi | \hat{H} | \psi \rangle \quad (\text{Hartree-Fock})$$

$$\langle \hat{H}_0 \rangle = \sum_{\alpha\beta} \hat{H}_{\alpha\beta}^0 \langle \alpha_N \dots \alpha_1 | \alpha_\beta^\dagger \alpha_\beta | \alpha_1 \dots \alpha_N \rangle$$

$$\underset{\text{Diagonal}}{=} \sum_{\alpha i} H_{\alpha i \alpha i}^0 \langle \alpha_N \dots \alpha_1 | \hat{n}_{\alpha i}^\dagger | \alpha_1 \dots \alpha_N \rangle = \sum_{\alpha i} H_{\alpha i \alpha i}$$

Berech. Zustände

$$\langle v \rangle = \frac{1}{2} \sum_{\alpha \neq \beta} V_{\delta \delta, \beta \alpha} \langle \alpha_1 \dots \alpha_i | \alpha_j^+ \alpha_j^- \alpha_\beta \alpha_\delta | \alpha_1 \dots \alpha_N \rangle$$

2 Typen von Beiträgen: $\alpha = j = \alpha_i$, $\beta = \delta = \alpha_k$
 $(i \neq k)$

$\alpha = \delta = \alpha_i$, $\beta = j = \alpha_k$

Die zweite Variante liefert "-" vor $\alpha_j^+ \alpha_j^- \alpha_\beta \alpha_\delta = - \alpha_j^+ \alpha_j^- \alpha_\delta \alpha_\beta$ für $i \neq j$.

$$\langle v \rangle = \frac{1}{2} \sum_{\substack{i \neq k \\ (i \neq k, j \neq 0)}} (V_{\alpha_i \alpha_k, \alpha_j \alpha_\beta} - V_{\alpha_k \alpha_i, \alpha_j \alpha_\beta})$$

V-Matrixelemente einsetzen:

$$\langle v \rangle = \frac{1}{2} \int d^3 r d^3 r' V(\vec{r}, \vec{r}') \sum_{ik} \left(|\psi_{\alpha_i}(\vec{r})|^2 |\psi_{\alpha_k}(\vec{r}')|^2 - \psi_{\alpha_i}(\vec{r}) \psi_{\alpha_k}^*(\vec{r}') \psi_{\alpha_k}^*(\vec{r}) \psi_{\alpha_i}^*(\vec{r}') \right)$$

Interpretation:

$$\sum_i |\psi_{\alpha_i}(\vec{r})|^2 = n(\vec{r}) \quad \text{Einkettendichte}$$

$$\sum_i \psi_{\alpha_i}(\vec{r}) \psi_{\alpha_i}^*(\vec{r}') = n_x(\vec{r}, \vec{r}') \quad \text{Aus tauschdichte}$$

$$\langle v \rangle = \frac{1}{2} \int d^3 r d^3 r' V(\vec{r}, \vec{r}') n_x(\vec{r}, \vec{r}') \curvearrowleft \text{Zweikettendichte } n_2 = \langle n_i \rangle$$

$$n_2(\vec{r}, \vec{r}') = n(\vec{r}) n(\vec{r}') - |\psi_x(\vec{r}, \vec{r}')|^2$$

keine Korrelation

Aus tauschterm

$$\boxed{\langle v \rangle = V_F + V_X}$$

Basis

Fock

Maximaler Wert für $\langle v \rangle$

Discussion:

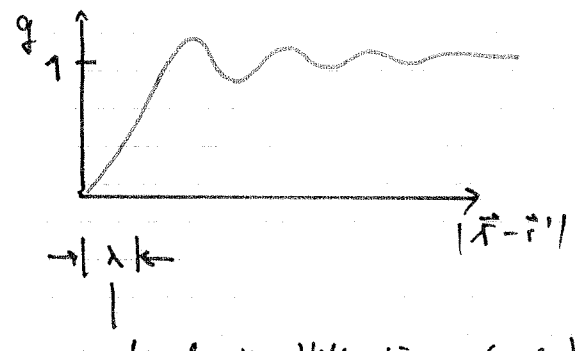
- $\psi_{\alpha_i}(\vec{r}) \psi_{\alpha_n}^*(\vec{r})$ liefert nur Beitrag, wenn die $\psi_{\alpha_i}, \psi_{\alpha_n}$ überlappen!
- Austauschterm gewährleistet Ausweichen der Teilchen infolge des Pauli-Prinzips, dann
 $n_2(\vec{r}, \vec{r}') \xrightarrow{\vec{r}' \rightarrow \vec{r}} 0$, „Austauschloch“ wenn j. 2. Teilchen

Spezial: homogenes Gas.

$$n(\vec{r}) = n = \text{const}$$

$$n_x(\vec{r}, \vec{r}') = n_x(\vec{r} - \vec{r}')$$

$$n_2(\vec{r}, \vec{r}') = n^2 g(\vec{r} - \vec{r}')$$



\sim de-Broglie-Wellenlänge (o.B.)

! Austauschloch ohne WW, nur Pauli-Prinzip!

Wenn noch (abstehende) WW dann: zusätzliches Ausweichen!

\rightsquigarrow „Korrelationen“ (Corona- Korrelationen)

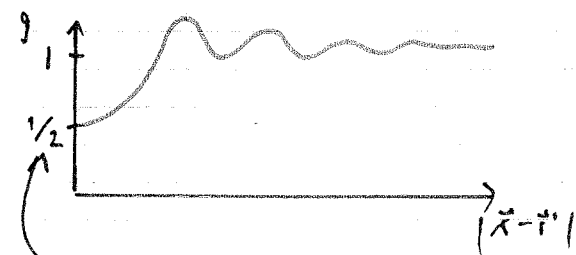
$V_x \rightarrow V_{xc}$ (exchange correlation)

Mit Spins: $\psi_x \rightarrow \chi(s) \psi(s)$

Austausch wirkt nur für gleiche Spins

(klar: $\alpha=\beta, \rho=\gamma$ sehr gleiche Orte & gleiche Spins voran)

In n_2 Summieren (Mitteln) über alle Spins $\rightsquigarrow g(\vec{r} - \vec{r}' \rightarrow 0) = \frac{1}{2}$.



Hartree - Fock - Näherung, praktische:

Bisher: Einteilchen - Fkt ψ_{2i} in $|f\rangle$ beliebig

Jetzt: Wahl des ψ_{2i} so, dass $\langle H \rangle \rightarrow \text{Min}$ (Ritz)
damit $\psi_{2i} \rightarrow \psi_i$ spezielle Einteilchen - Fkt

$$\langle \hat{H} \rangle = \sum_i H_{ii}^0 + \frac{1}{2} \sum_{ik} (V_{ik,ik} - V_{ki,ik}) \rightarrow \text{Min}$$

mit Nebenbed $\langle \psi_i | \psi_i \rangle = 1 \rightsquigarrow \text{Lagrange - Parameter:}$

$$\delta (\langle H \rangle - \sum_i \varepsilon_i \int d^3r |\psi_i|^2) = 0$$

Resultat der Variation:

$$H^0 \psi_i(\vec{r}) + \underbrace{\int d^3r V(\vec{r}, \vec{r}') \left(\sum_k |\psi_k(\vec{r}')|^2 \psi_i(\vec{r}) \right)}_{-\sum_k \psi_k^*(\vec{r}') \psi_i(\vec{r}') \psi_k(\vec{r})} = \varepsilon_i \psi_i$$

$$H^0 \psi_i(\vec{r}) + V_H \psi_i(\vec{r}) + \underbrace{\int d^3r' V_X(\vec{r}, \vec{r}') \psi_i(\vec{r}')}_{*} = \varepsilon_i \psi_i$$

Austausch -
(Integraloperator
(nichtlokal!))

Da V_H & V_X alle Zustände ψ_k enthalten, müssen Probleme durch Iteration gelöst werden:



SK)

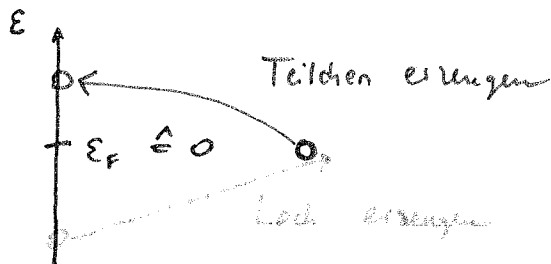
Sieht so aus, als ob Teilchen in

effektiven Feld (Potential) wohnden, was von den Teilchen selbst hervorgerufen wird

„Möllerpotential Näherung“ (3. Hartree - Fock)

„Reziproke der self-consistent Potentiel“

Wenn man Energien relativ zu ϵ_F misst, dann ist Lochenergie ($-\epsilon_a$) positiv. \rightsquigarrow Sowohl das Energie von Teilchen als auch von Löchern liegt über ϵ_F !



Operatoren:

$$\hat{A} \rightarrow a_\beta^+ A_{\beta\alpha} a_\alpha \rightarrow a_\beta^+ b_\alpha^+ \quad \text{falls } \epsilon_\beta > \epsilon_F \\ \epsilon_\alpha < \epsilon_F$$

$$\rightarrow b_\beta a_\alpha \quad \text{falls } \epsilon_\alpha > \epsilon_F \\ \epsilon_\beta < \epsilon_F$$

- Paarerzeugung bzw. Paarzerstörung in Dirac-Theorie
- Erzeugung / Vernichtung eines Teilchen-Loch-Paares in FK-Theorie; tatsächlich ist das Sprung eines Teilchens über Fermi-Energie!

14.9. Teilchen und Löcher

Löcherbild $\begin{cases} \text{Dirac - SI} \\ \text{Festkörperphysik} \end{cases}$

Bisher: Vakuum $|0\rangle \equiv$ keine Teilchen

Zzeit: Neuer Referenzpunkt ("Vakuum") $|0\rangle$, wo Zustände α mit $\epsilon_\alpha < \epsilon_F$ besetzt,
 $-||-$ $-||-$ $\epsilon_\alpha > \epsilon_F$ unbesetzt (ϵ_F : Fermi-Energie)

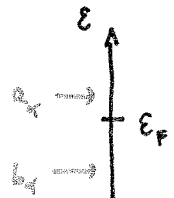
Ⓐ $\epsilon_\alpha > \epsilon_F$: $a_\alpha^\dagger |0\rangle \neq 0$; $a_\alpha |0\rangle = 0$

Ⓑ $\epsilon_\alpha < \epsilon_F$: $a_\alpha^\dagger |0\rangle = 0$; $a_\alpha |0\rangle \neq 0$

Uminterpretieren: $a_\alpha = b_\alpha^\dagger$ Erzeuger eines Loches

$a_\alpha^\dagger = b_\alpha$ Vernichter eines Loches

$b_\alpha^\dagger |0\rangle \neq 0$, $b_\alpha |0\rangle = 0$



$$[a_\alpha, a_\beta^\dagger]_+ = \delta_{\alpha\beta} \quad \rightarrow \quad [b_\alpha^\dagger, b_\beta]_+ = [b_\alpha, b_\beta^\dagger]_+ = \delta_{\alpha\beta}$$

$$[a_\alpha^\dagger, a_\beta^\dagger]_+ = 0 \quad \rightarrow \quad [b_\alpha, b_\beta]_+ = 0, \quad [b_\alpha^\dagger, b_\beta^\dagger]_+ = 0 \text{ analog}$$

Löcheroperatoren verhalten wie Teilchenop!

Anordnen $[a_\alpha, b_\beta] = [a_\alpha, b_\beta^\dagger] = 0 = \dots$ (verschiedene Zustände!)

Hamilton-Op.:

$$\hat{H}_0 = \sum \epsilon_\alpha \hat{n}_\alpha = \sum_{\epsilon_\alpha > \epsilon_F} \epsilon_\alpha a_\alpha^\dagger a_\alpha + \sum_{\epsilon_\alpha < \epsilon_F} \underbrace{\epsilon_\alpha b_\alpha^\dagger b_\alpha}_{1 - b_\alpha^\dagger b_\alpha} \quad \oplus$$

$$\hat{H}_0 = \sum_{\epsilon_\alpha < \epsilon_F} \epsilon_\alpha + \sum_{\epsilon_\alpha > \epsilon_F} \epsilon_\alpha a_\alpha^\dagger a_\alpha + \sum_{\epsilon_\alpha < \epsilon_F} (-\epsilon_\alpha) b_\alpha^\dagger b_\alpha$$

Elektronen \rightarrow Zustand ϵ_α
 Zustand ϵ_α
 Zustand ϵ_α
 Zustand ϵ_α

Löcher \rightarrow Zustand $-\epsilon_\alpha$
 Zustand $-\epsilon_\alpha$
 Zustand $-\epsilon_\alpha$
 Zustand $-\epsilon_\alpha$

14.10. Erzeugungs- und Vernichtungsoperatoren für Bosonen

Im wesentlichen analog zu Fermionen, aber

- Symmetrie statt Antisymmetrie des Gesamt-WF \rightsquigarrow keine VZ-Wechsel
- Beschreibungszahlen $n_\alpha = 0, 1, 2, \dots$ (statt nur $n_\alpha = 0, 1$)

Zunächst:

$$a_d^\dagger |d_1, \dots, d_N\rangle \propto |d_1, \dots, d_N\rangle$$

$$a_\beta^\dagger a_d^\dagger |a_1, \dots, a_N\rangle \propto |\beta a_1, \dots, a_N\rangle \quad > =$$

$$a_d^\dagger a_\beta^\dagger |d_1, \dots, d_N\rangle \propto |a_\beta d_1, \dots, d_N\rangle$$

$$a_d^\dagger a_\beta^\dagger = a_\beta^\dagger a_d^\dagger \rightsquigarrow [a_d^\dagger, a_\beta^\dagger] = 0 \quad \text{Vertauschungsl.}$$

$$\text{analog} \quad [a_\alpha, a_\beta] = 0 \quad \text{für Bosone}$$

Unten zeigen wir

$$[a_\alpha, a_\beta^\dagger] = \delta_{\alpha\beta}$$

Beschreibungszahl formalismus:

$$a_d^\dagger |n_{d_1}, n_{d_2}, \dots, n_d \dots\rangle \propto |n_{d_1}, n_{d_2}, \dots, n_d + 1 \dots\rangle$$

$$n_\alpha = 0, 1, 2, \dots$$

Die Proportionalitätsfaktoren sollen so gewählt sein, dass Formalismus dem der Fermionen möglichst ähnlich wird.

$$a^\dagger |n\rangle = c_{n+1} |n+1\rangle$$

$$a^\dagger |n-1\rangle = c_n |n\rangle$$

$$\rightsquigarrow \langle n | a^\dagger | n-1 \rangle = c_n \langle n | n \rangle = c_n$$

$$\langle n-1 | a | n \rangle = c_n^*$$

$$a |n\rangle = c_n^* |n-1\rangle \quad \rightsquigarrow a^\dagger a |n\rangle = a^\dagger c_n^* |n-1\rangle = |c_n|^2 |n\rangle$$

Forderung: $a^\dagger a$ soll Teildenzahl-Operator sein. $\rightsquigarrow c_n = \sqrt{n}$ reell

Damit:

$$\begin{array}{ll}
 a^+ |n\rangle = \sqrt{n} |n\rangle & \sim (a^+ - a^+) |n\rangle = |n\rangle \\
 a |n\rangle = \sqrt{n} |n-1\rangle & \sim [a_\alpha, a_\beta^+] = \delta_{\alpha\beta} \\
 a^+ a |n\rangle = \hat{n} |n\rangle = n |n\rangle & \\
 a a^+ |n\rangle = (n+1) |n\rangle & n_\alpha = a_\alpha^\dagger a_\alpha
 \end{array}$$

Ortsdarstellung:

$$\begin{array}{ll}
 \hat{\psi}^+(\vec{r}) = \sum_\alpha \psi_\alpha^*(\vec{r}) a_\alpha^+ & [\hat{\psi}, \hat{\psi}] = [\hat{\psi}^+, \hat{\psi}^+] = 0 \\
 \hat{\psi}(\vec{r}) = \sum_\alpha \psi_\alpha(\vec{r}) a_\alpha & [\hat{\psi}(\vec{r}), \hat{\psi}^*(\vec{r}')] = \delta(\vec{r} - \vec{r}')
 \end{array}$$

Systemzustand:

$$\begin{array}{ll}
 (a^+)^n |0\rangle = \sqrt{n!} |n\rangle & \sim |n\rangle = \frac{(a^+)^n}{\sqrt{n!}} |0\rangle \\
 |n_1, n_2, n_3, \dots\rangle = \prod_\alpha \frac{(a_\alpha^+)^{n_\alpha}}{\sqrt{n_\alpha!}} |0\rangle &
 \end{array}$$

Darstellung von Operatoren: analog zu Tensoren (siehe Beisp.)

Einkörper-Op $\sum_i \hat{A}(i) \rightarrow \sum_{\alpha\beta} a_\beta^+ A_{\beta\alpha} a_\alpha$

Zweikörper-Op $\frac{1}{2} \sum_{i\neq h} V(ih) \rightarrow \frac{1}{2} \sum_{\alpha\beta\gamma\delta} a_\gamma^+ a_\delta^+ V_{\alpha\beta,\gamma\delta} a_\beta a_\delta$

Übergangsamplitude:

$$\langle \dots n_{\beta+1} \dots n_\alpha - 1 \dots | a_\beta^+ A_{\beta\alpha} a_\alpha | \dots n_\alpha \dots n_\beta \dots \rangle = A_{\beta\alpha} \sqrt{n_{\beta+1}} \sqrt{n_\alpha}$$

 \sim Üb-Wahrscheinlichkeit durch Quadrat

$$P_{\alpha \rightarrow \beta} = |A_{\beta\alpha}|^2 (n_\beta + 1)^{-1}$$

↓
Bes. Zahl des Ausgangszustandes
(plausibel)

↓
Bes. Zahl des Endzustandes (!)
 $n_\beta = 0$ geringerer Üb.